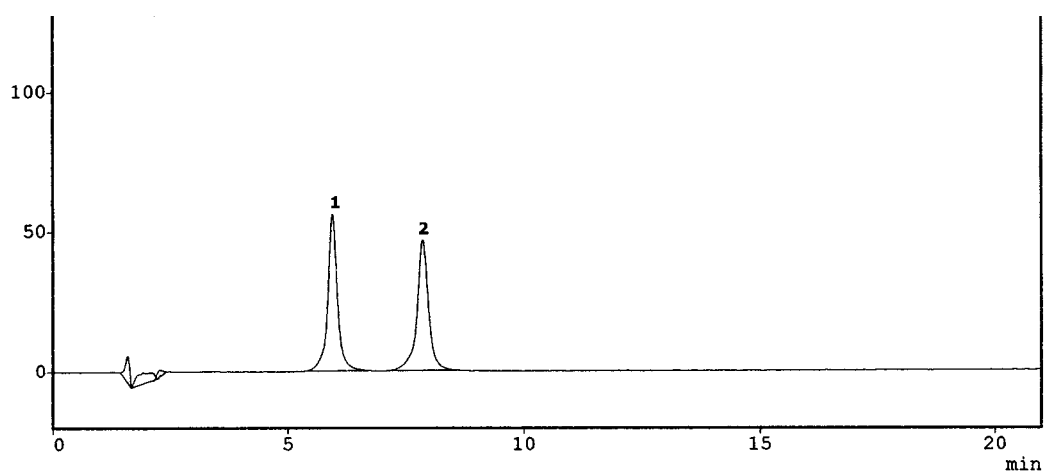


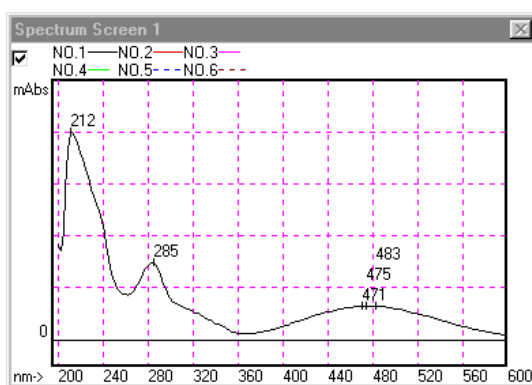
IX. ANEXOS

IX. ANEXOS.

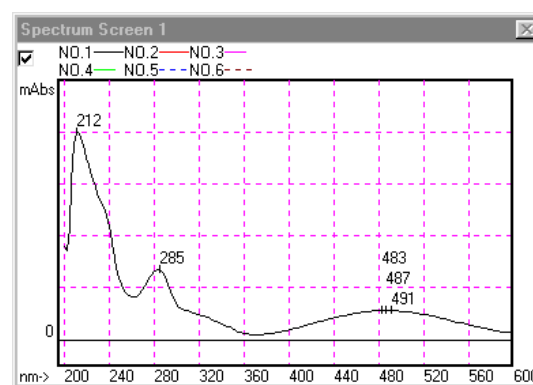
IX.1. EXPERIENCIA I.



Picos	Isómeros	Tiempo (min)	Área	Conc. (M)
1	d,l-racémico	5,9	802532	$2'00 \cdot 10^{-4}$
2	meso	7,8	802587	$1'58 \cdot 10^{-4}$
	Total	--	1605119	$3'58 \cdot 10^{-4}$

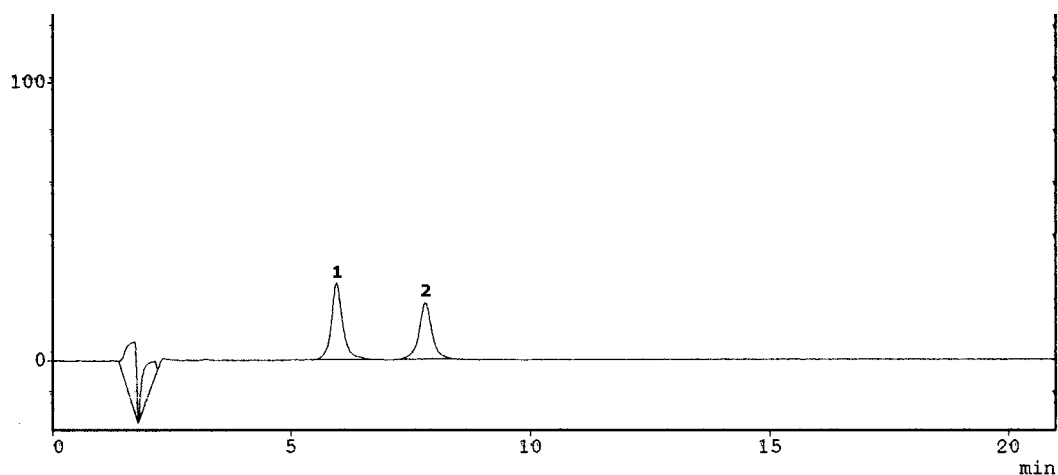


Pico 1



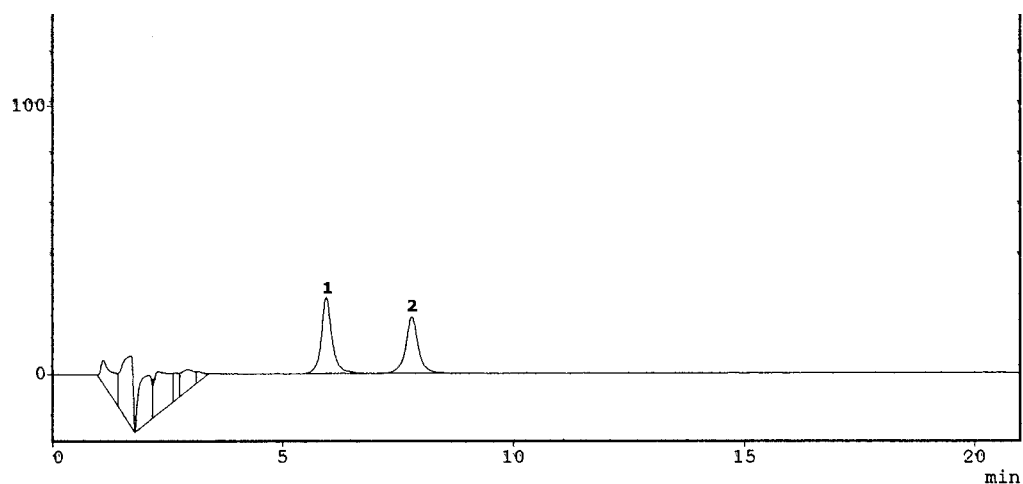
Pico 2

Fig.IX.1. Cromatograma HPLC y Espectros UV-Vis correspondientes al quelato FeEDDHA estándar a pH 6'0 ($3'58 \cdot 10^{-4}$ M). Pico 1: isómero d,l-racémico; Pico 2: isómero meso.



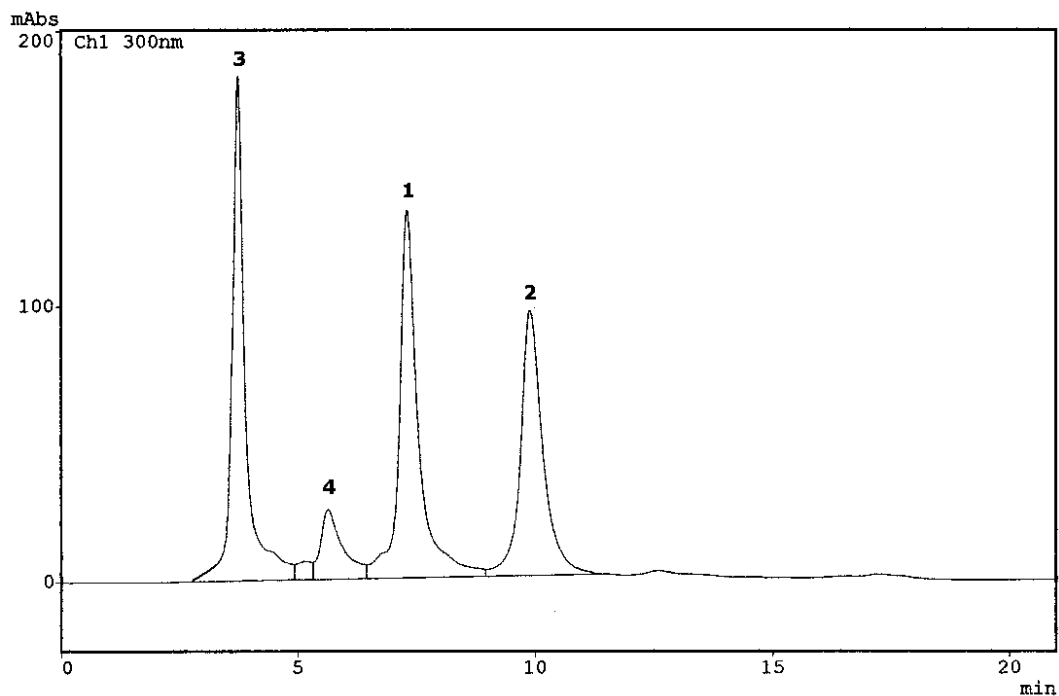
Picos	Isómeros	Tiempo (min)	Área	Conc. (M)
1	d,l-racémico	5'9	377846	$2'91 \cdot 10^{-5}$
2	meso	7'8	317797	$2'44 \cdot 10^{-5}$
	Total	--	695643	$5'35 \cdot 10^{-5}$

Fig.IX.2. Cromatograma HPLC correspondiente al quelato FeEDDHA estándar a pH 6'0 ($5'35 \cdot 10^{-5}M$). Pico 1: isómero d,l-racémico; Pico 2: isómero meso.



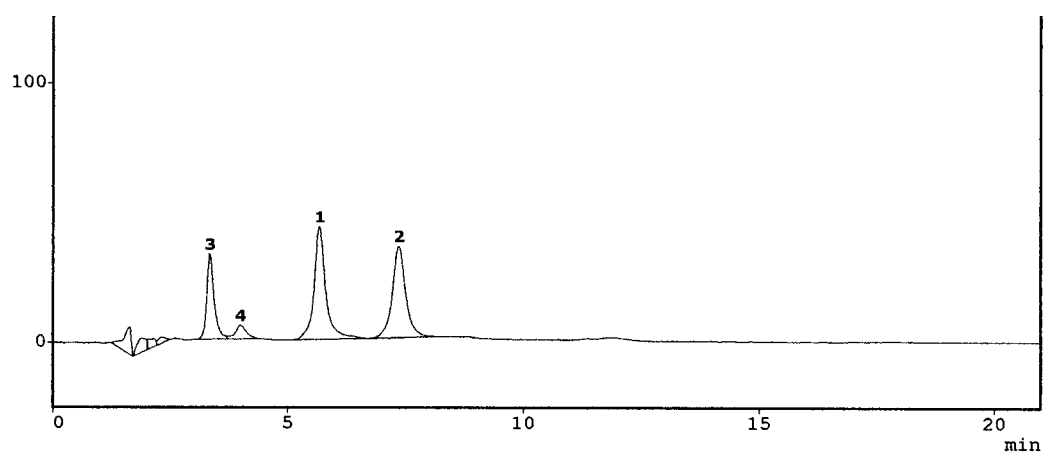
Picos	Isómeros	Tiempo (min)	Área	Conc. (M)
1	d,l-racémico	5'9	343507	$2'65 \cdot 10^{-5}$
2	meso	7'8	297734	$2'30 \cdot 10^{-5}$
	Total	--	641241	$4'95 \cdot 10^{-5}$

Fig.IX.3. Cromatograma HPLC correspondiente a la disolución nutritiva C a pH 6'0 (FeEDDHA estándar). Pico 1: isómero d,l-racémico; Pico 2: isómero meso



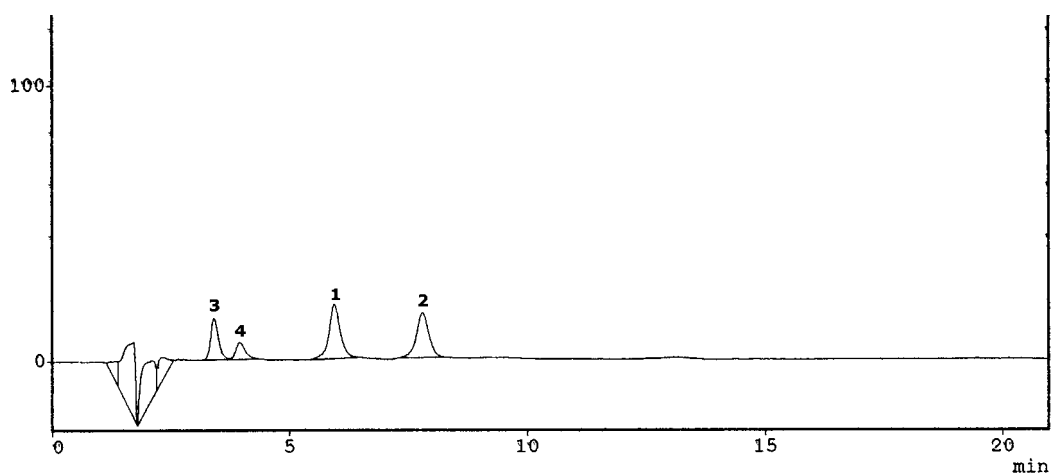
Picos	Isómeros	Tiempo (min)	Área	Conc. (M)
1	d,l-racémico	7'2	3738524	$9'73 \cdot 10^{-4}$
2	meso	9'8	3142492	$8'17 \cdot 10^{-4}$
	Total	--	6881016	$1'79 \cdot 10^{-3}$
3	--	3'7	3581318	--
4	--	5'1	827049	--

Fig.IX.4. Cromatograma HPLC correspondiente al quelato FeEDDHA comercial a pH 6'0 ($1'79 \cdot 10^{-3}M$). Pico 1: isómero d,l-racémico; Pico 2: isómero meso.



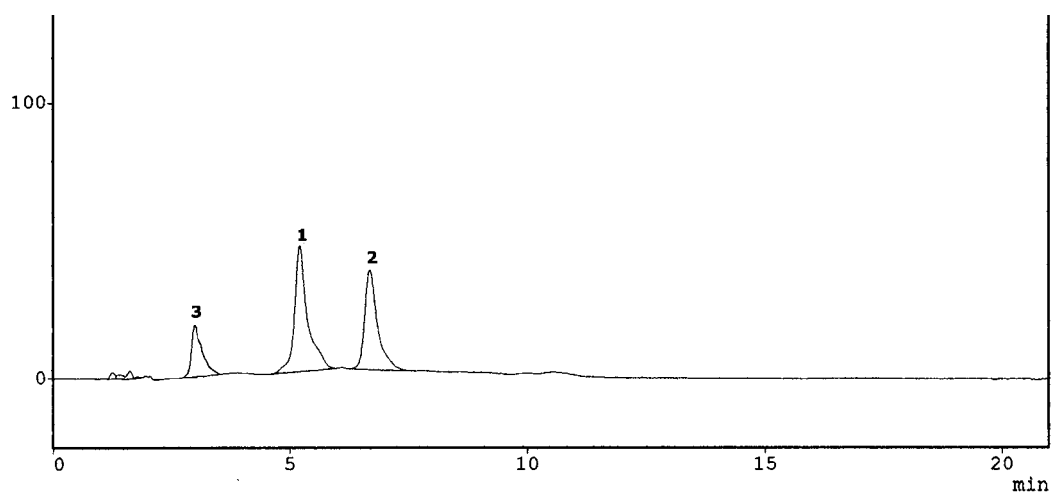
Picos	Isómeros	Tiempo (min)	Área	Conc. (M)
1	d,l-racémico	5'1	2999454	$1'78 \cdot 10^{-4}$
2	meso	6'6	3017255	$1'80 \cdot 10^{-4}$
	Total	--	6016709	$3'58 \cdot 10^{-4}$
3	--	3'3	1428066	--
4	--	4'0	358343	--

Fig.IX.5. Cromatograma HPLC correspondiente al quelato FeEDDHA comercial a pH 6'0 ($3'58 \cdot 10^{-4}$ M). Pico 1: isómero d,l-racémico; Pico 2: isómero meso.



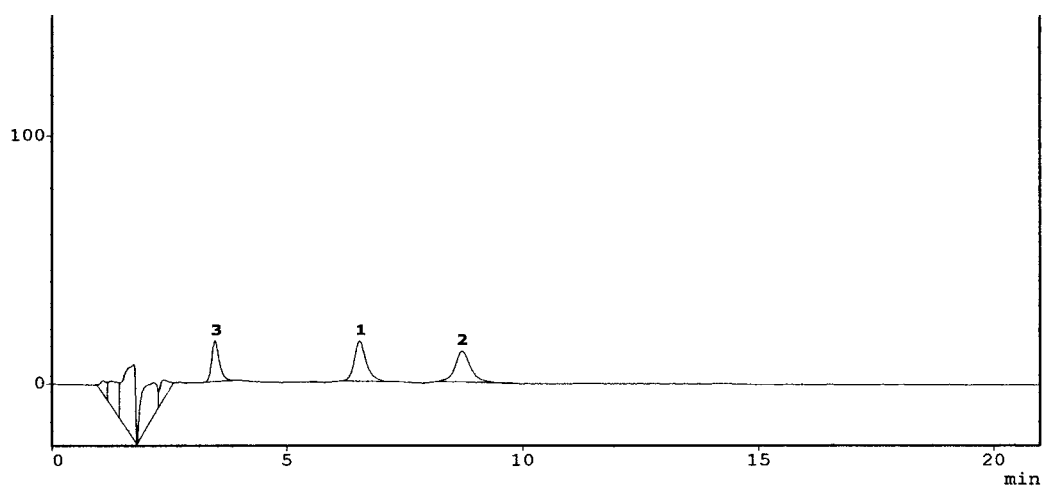
Picos	Isómeros	Tiempo (min)	Área	Conc. (M)
1	d,l-racémico	5'9	321969	$2'76 \cdot 10^{-5}$
2	meso	7'8	302283	$2'59 \cdot 10^{-5}$
	Total	--	624252	$5'35 \cdot 10^{-5}$
3	--	3'4	171566	--
4	--	3'9	85791	--

Fig.IX.6. Cromatograma HPLC correspondiente al quelato FeEDDHA comercial pH 6'0 ($5'35 \cdot 10^{-5}$ M). Pico 1: isómero d,l-racémico; Pico 2: isómero meso.



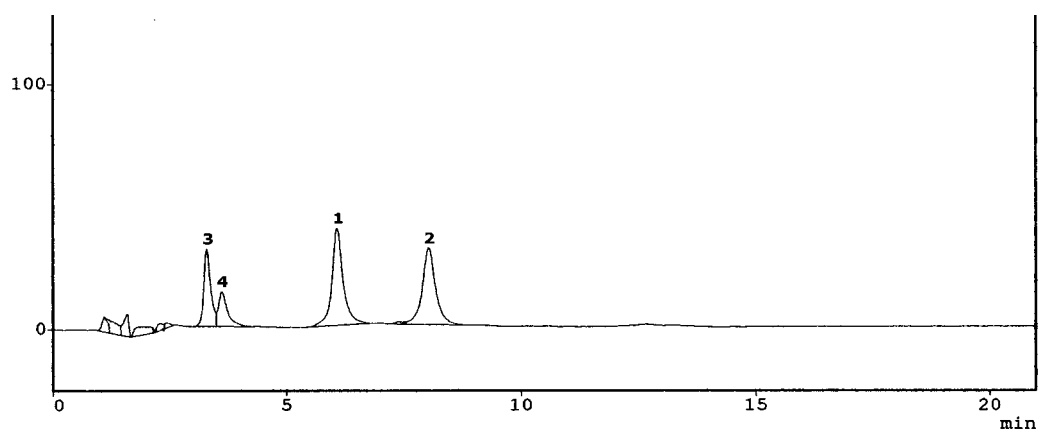
Picos	Isómeros	Tiempo (min)	Área	Conc. (M)
1	d,l-racémico	5'1	2682819	$1'60 \cdot 10^{-4}$
2	meso	6'6	2682032	$1'60 \cdot 10^{-4}$
	Total	--	5364851	$3'20 \cdot 10^{-4}$
3	--	3'2	580365	--

Fig.IX.7. Cromatograma HPLC correspondiente a la disolución nutritiva B a pH 6'0 (FeEDDHA comercial). Pico 1: isómero d,l-racémico; Pico 2: isómero meso.



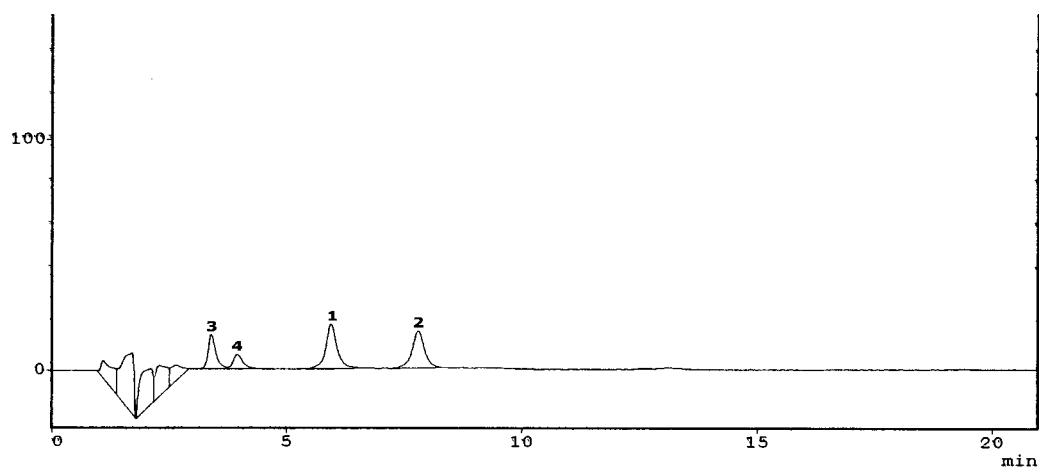
Picos	Isómeros	Tiempo (min)	Área	Conc. (M)
1	d,l-racémico	5'9	320912	$2'75 \cdot 10^{-5}$
2	meso	7'9	293927	$2'53 \cdot 10^{-5}$
	Total	--	614846	$5'28 \cdot 10^{-5}$
3	--	3'4	171177	--

Fig.IX.8. Cromatograma HPLC correspondiente a la disolución nutritiva C a pH 6'0 (FeEDDHA comercial). Pico 1: isómero d,l-racémico; Pico 2: isómero meso



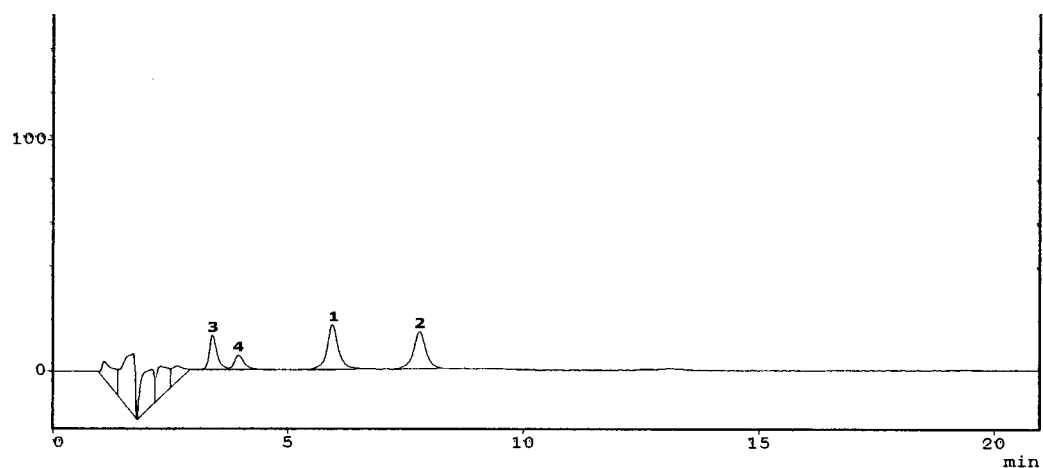
Picos	Isómeros	Tiempo (min)	Área	Conc. (M)
1	d,l-racémico	6'0	682143	$1'85 \cdot 10^{-4}$
2	meso	7'4	618801	$1'68 \cdot 10^{-4}$
	Total	--	1300944	$3'53 \cdot 10^{-4}$
3	--	3'4	327885	--
4	--	4'0	191694	--

Fig.IX.9. Cromatograma HPLC correspondiente a la disolución nutritiva B a pH 4'5 (FeEDDHA comercial). Pico 1: isómero d,l-racémico; Pico 2: isómero meso



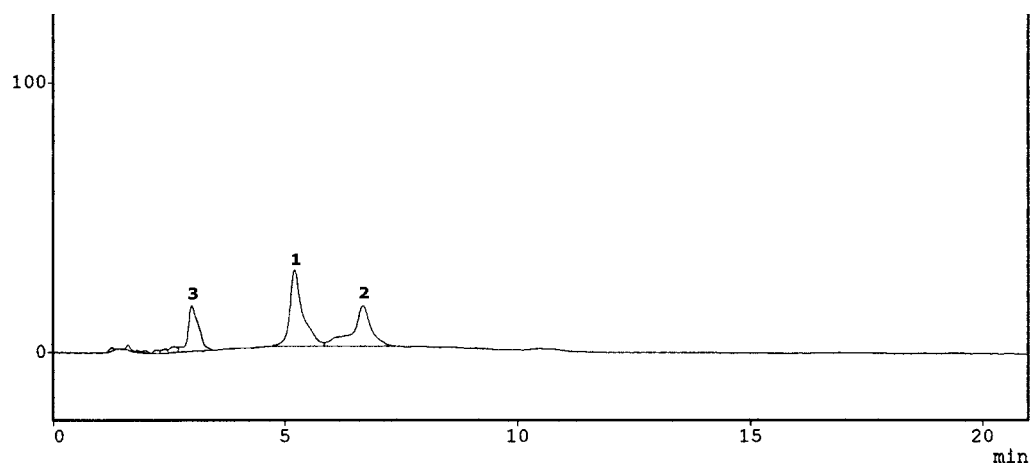
Picos	Isómeros	Tiempo (min)	Área	Conc. (M)
1	d,l-racémico	5'9	281048	$2'61 \cdot 10^{-5}$
2	meso	7'8	278618	$2'59 \cdot 10^{-5}$
	Total	--	559666	$5'20 \cdot 10^{-5}$
3	--	3'4	165727	--
4	--	3'9	85968	--

Fig.IX.10. Cromatograma HPLC correspondiente a la disolución nutritiva C a pH 4'5 (FeEDDHA comercial). Pico 1: isómero d,l-racémico; Pico 2: isómero meso.



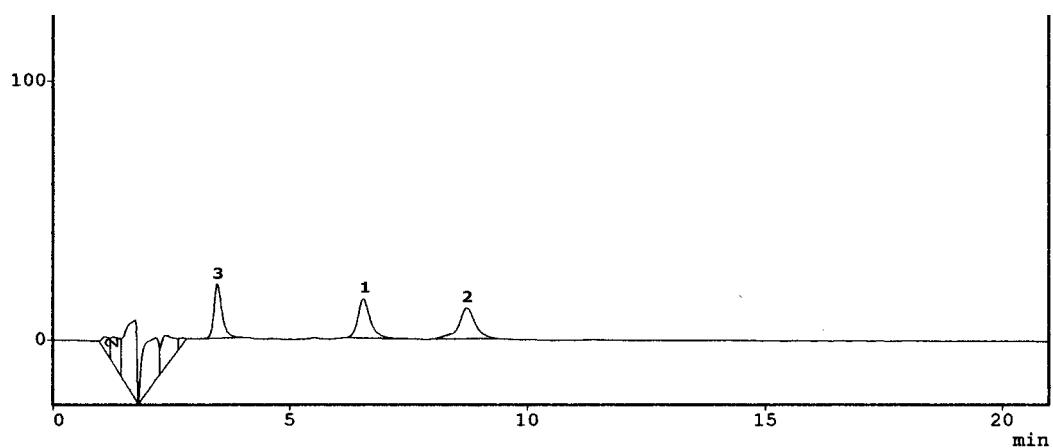
Picos	Isómeros	Tiempo (min)	Área	Conc. (M)
1	d,l-racémico	5'9	281048	$2'61 \cdot 10^{-5}$
2	meso	7'8	278618	$2'59 \cdot 10^{-5}$
	Total	--	559666	$5'20 \cdot 10^{-5}$
3	--	3'4	165727	--
4	--	3'9	85968	--

Fig.IX.11. Cromatograma HPLC correspondiente a la disolución nutritiva C a pH 4'5 (FeEDDHA comercial). Pico 1: isómero d,l-racémico; Pico 2: isómero meso



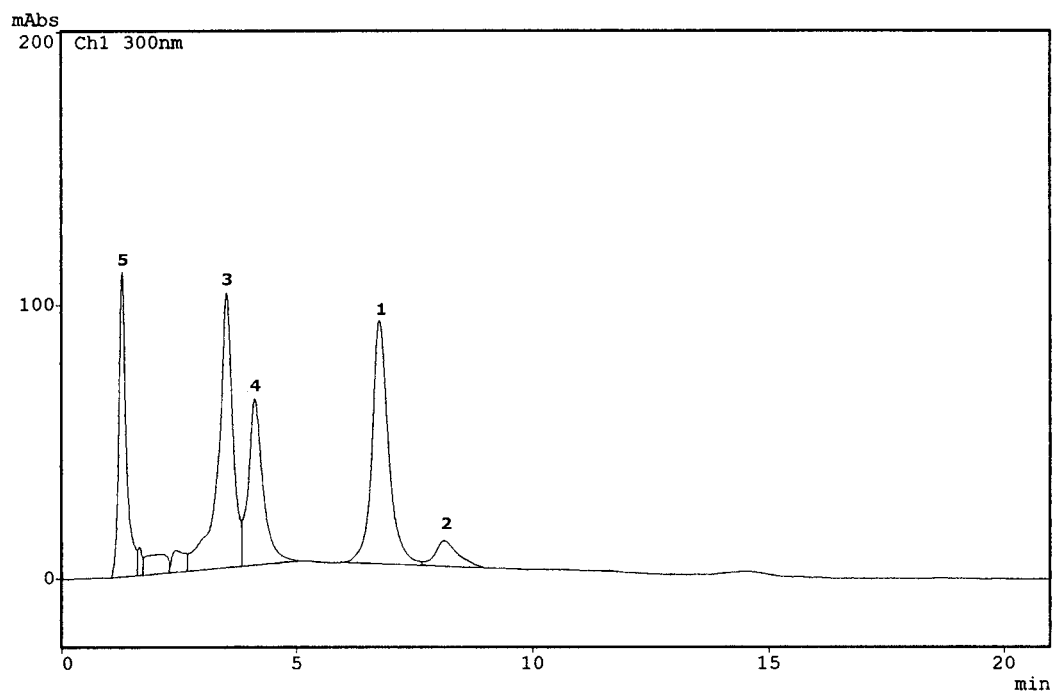
Picos	Isómeros	Tiempo (min)	Área	Conc. (M)
1	d,l-racémico	5'9	2049689	$1'30 \cdot 10^{-4}$
2	meso	7'8	1771297	$1'12 \cdot 10^{-4}$
	Total	--	3820986	$2'42 \cdot 10^{-4}$
3	--	3'1	360334	--

Fig.IX.12. Cromatograma HPLC correspondiente a la disolución nutritiva B recompuesta a pH 6'0 (FeEDDHA comercial). Pico 1: isómero d,l-racémico; Pico 2: isómero meso



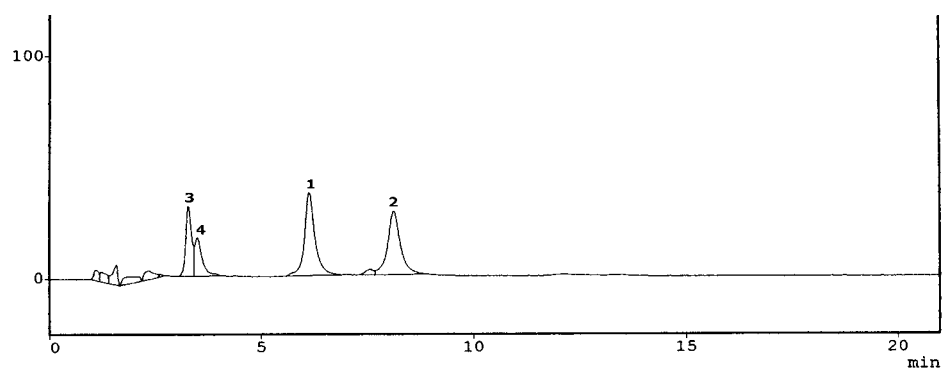
Picos	Isómeros	Tiempo (min)	Área	Conc. (M)
1	d,l-racémico	6'5	302163	$2'59 \cdot 10^{-5}$
2	meso	8'7	278865	$2'39 \cdot 10^{-5}$
	Total	--	581028	$4'98 \cdot 10^{-5}$
3	--	3'5	247455	--

Fig.IX.13. Cromatograma HPLC correspondiente a la disolución nutritiva C recompuesta a pH 6'0 (FeEDDHA comercial). Pico 1: isómero d,l-racémico; Pico 2: isómero meso



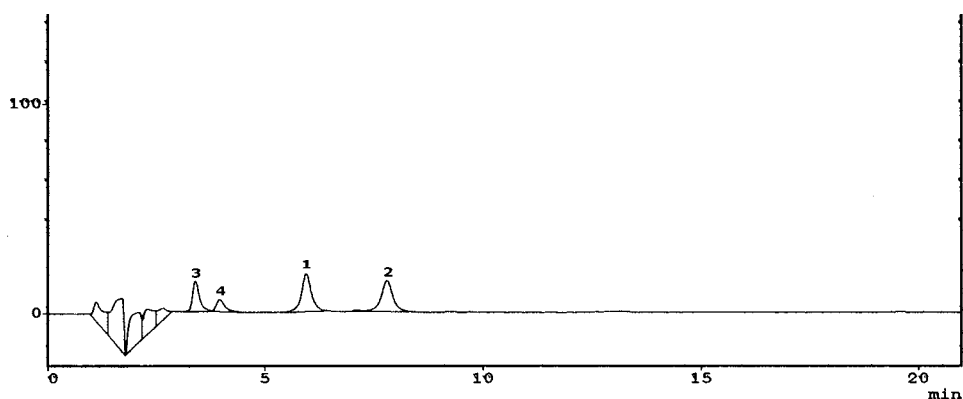
Picos	Isómeros	Tiempo (min)	Área	Conc. (M)
1	d,l-racémico	6'7	2227165	$7'69 \cdot 10^{-4}$
2	meso	8'1	458463	$1'30 \cdot 10^{-4}$
	Total	--	2685628	$8'99 \cdot 10^{-4}$
3	--	3'5	2210318	--
4	--	4'1	1315065	--
5	--	1'3	1237457	--

Fig.IX.14. Cromatograma HPLC correspondiente a la disolución nutritiva A recompuesta a pH 4'5 (FeEDDHA comercial). Pico 1: isómero d,l-racémico; Pico 2: isómero meso



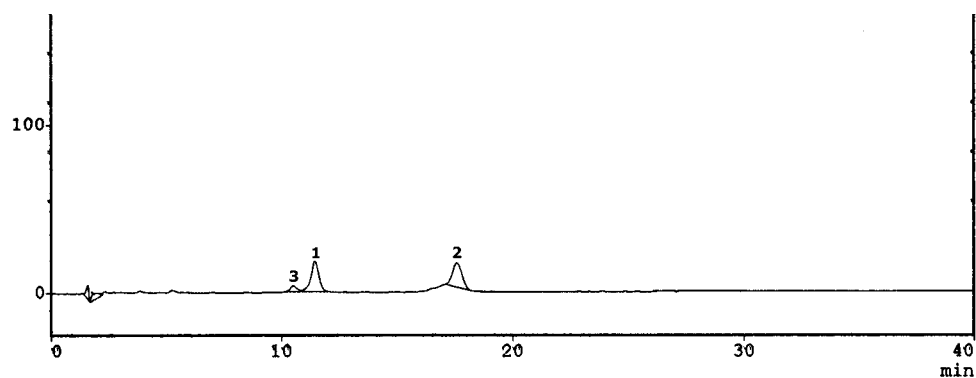
Picos	Isómeros	Tiempo (min)	Área	Conc. (M)
1	d,l-racémico	6'1	641511	$1'74 \cdot 10^{-4}$
2	meso	7'5	589986	$1'60 \cdot 10^{-4}$
	Total	--	1231497	$3'34 \cdot 10^{-4}$
3	--	3'3	307940	--
4	--	3'6	206102	--

Fig.IX.15. Cromatograma HPLC correspondiente a la disolución nutritiva B recompuesta a pH 4'5 (FeEDDHA comercial). Pico 1: isómero d,l-racémico; Pico 2: isómero meso.



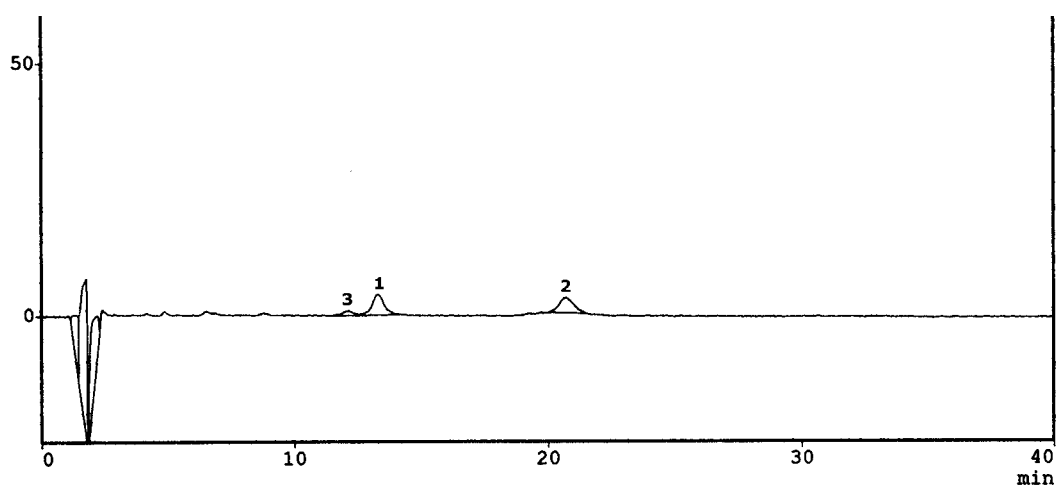
Picos	Isómeros	Tiempo (min)	Área	Conc. (M)
1	d,l-racémico	5'9	281481	$2'65 \cdot 10^{-5}$
2	meso	7'8	295647	$2'52 \cdot 10^{-5}$
	Total	--	577128	$5'17 \cdot 10^{-5}$
3	--	3'4	160253	--
4	--	3'9	82753	--

Fig.IX.16. Cromatograma HPLC correspondiente a la disolución nutritiva C recompuesta a pH 4'5 (FeEDDHA comercial). Pico 1: isómero d,l-racémico; Pico 2: isómero meso



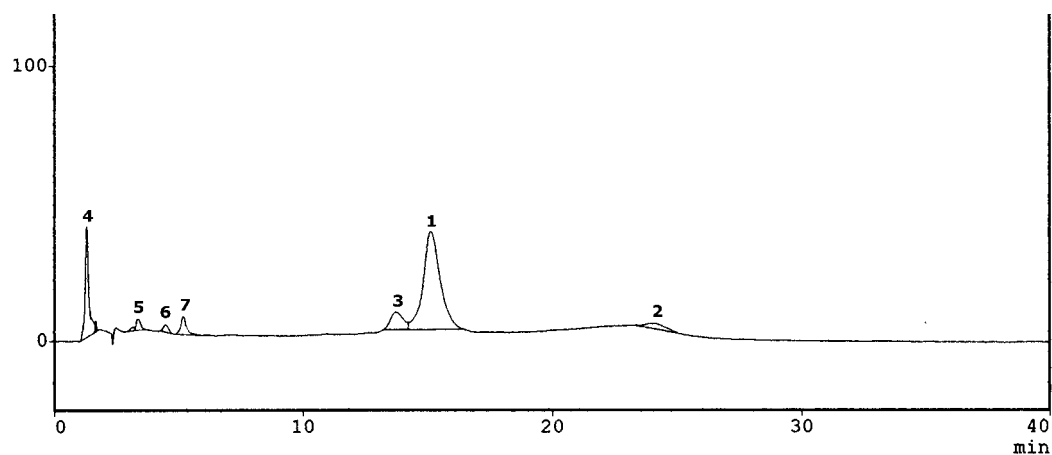
Picos	Isómeros	Tiempo (min)	Área
1	meso	11'4	442623
2	d,l-racémico	17'6	418287
	Total	--	860910
3	--	10'5	75822

Fig.IX.17. Cromatograma HPLC correspondiente al quelato FeEDDHMA comercial a pH 6'0 ($3'58 \cdot 10^{-4}$ M). Pico 1 y 3: isómero meso; Pico 2: isómero d,l-racémico.



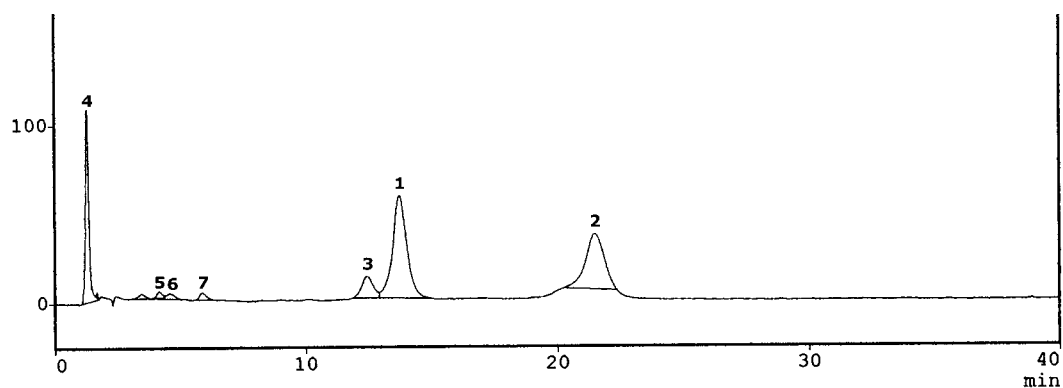
Picos	Isómeros	Tiempo (min)	Área
1	meso	13'2	135180
2	d,l-racémico	20'7	122575
	Total	--	257755
3	--	12'1	27726

Fig.IX.18. Cromatograma HPLC correspondiente al quelato FeEDDHMA comercial a pH 4'5 ($5'35 \cdot 10^{-5}M$). Pico 1 y 3: isómero meso; Pico 2: isómero d,l-racémico.



Picos	Isómeros	Tiempo (min)	Área
1	meso	15'1	1832143
2	d,l-racémico	24'0	170681
	Total	--	2002824
3	--	13'7	247974
4	--	1'3	410328
5	--	3'4	39509
6	--	4'4	37336
7	--	5'1	88627

Fig.IX.19. Cromatograma HPLC correspondiente a la disolución nutritiva A recompuesta a pH 6'0 (FeEDDHMA comercial). Pico 1 y 3: isómero meso; Pico 2: isómero d,l-racémico



Picos	Isómeros	Tiempo (min)	Área
1	meso	13'7	2130839
2	d,l-racémico	21'5	157552
	Total	--	2288391
3	--	12'4	375153'7
4	--	1'3	1035591
5	--	3'4	49058
6	--	4'1	69893
7	--	5'5	70981

Fig.IX.20. Cromatograma HPLC correspondiente a la disolución nutritiva A a pH 4'5 (FeEDDHMA comercial). Pico 1 y 3: isómero meso; Pico 2: isómero d,l-racémico.

**Tabla.IX.1. Concentración de FeEDDHA estándar en la disolución nutritiva A
(Ensayo 2).**

pH	Concentración de FeQ (M)			(Conc FeQ) _{media} (M)	Desv. estándar
	1	2	3		
6'0	$9'24 \cdot 10^{-4}$	$9'25 \cdot 10^{-4}$	$9'22 \cdot 10^{-4}$	$9'24 \cdot 10^{-4}$	$0'02 \cdot 10^{-4}$
6'0R	$3'03 \cdot 10^{-4}$	$3'00 \cdot 10^{-4}$	$3'06 \cdot 10^{-4}$	$3'03 \cdot 10^{-4}$	$0'03 \cdot 10^{-4}$
4'5	$1'43 \cdot 10^{-3}$	$1'36 \cdot 10^{-3}$	$1'40 \cdot 10^{-3}$	$1'40 \cdot 10^{-3}$	$0,04 \cdot 10^{-3}$
4'5R	$3'28 \cdot 10^{-4}$	$3'26 \cdot 10^{-4}$	$3'17 \cdot 10^{-4}$	$3'24 \cdot 10^{-4}$	$0'05 \cdot 10^{-4}$

**Tabla.IX.2. Concentración de FeEDDHA estándar en la disolución nutritiva B
(Ensayo 2).**

pH	Concentración de FeQ (M)			(Conc FeQ) _{media} (M)	Desv. estándar
	1	2	3		
6'0	$3'38 \cdot 10^{-4}$	$3'35 \cdot 10^{-4}$	$3'31 \cdot 10^{-4}$	$3'35 \cdot 10^{-4}$	$0'04 \cdot 10^{-4}$
6'0R	$2'14 \cdot 10^{-4}$	$2'01 \cdot 10^{-4}$	$2'10 \cdot 10^{-4}$	$2'08 \cdot 10^{-4}$	$0'07 \cdot 10^{-4}$
4'5	$3'46 \cdot 10^{-4}$	$3'37 \cdot 10^{-4}$	$3'43 \cdot 10^{-4}$	$3'42 \cdot 10^{-4}$	$0'05 \cdot 10^{-4}$
4'5R	$2'98 \cdot 10^{-4}$	$3,04 \cdot 10^{-4}$	$3,00 \cdot 10^{-4}$	$3,01 \cdot 10^{-4}$	$0,03 \cdot 10^{-4}$

**Tabla.IX.3. Concentración de FeEDDHA estándar en la disolución nutritiva C
(Ensayo 2).**

pH	Concentración de FeQ (M)			(Conc FeQ) _{media} (M)	Desv. estándar
	1	2	3		
6'0	$5'00 \cdot 10^{-5}$	$4'95 \cdot 10^{-5}$	$4'89 \cdot 10^{-5}$	$4'95 \cdot 10^{-5}$	$0'06 \cdot 10^{-5}$
6'0R	$4'54 \cdot 10^{-5}$	$4,64 \cdot 10^{-5}$	$4,67 \cdot 10^{-5}$	$4,62 \cdot 10^{-5}$	$0'07 \cdot 10^{-5}$
4'5	$5'0 \cdot 10^{-5}$	$4,9 \cdot 10^{-5}$	$6'4 \cdot 10^{-5}$	$5'5 \cdot 10^{-5}$	$0'8 \cdot 10^{-5}$
4'5R	$4'945 \cdot 10^{-5}$	$4,932 \cdot 10^{-5}$	$4,934 \cdot 10^{-5}$	$4,937 \cdot 10^{-5}$	$0'006 \cdot 10^{-5}$

Tabla.IX.4. Concentración de FeEDDHA comercial en la disolución nutritiva A (Ensayo 2).

pH	Concentración de FeQ (M)			(Conc FeQ) _{media} (M)	Desv. estándar
	1	2	3		
6'0	1'71·10 ⁻³	1'73·10 ⁻³	1'80·10 ⁻³	1'75·10 ⁻³	0'02·10 ⁻⁴
6'0R	6·10 ⁻⁴	5·10 ⁻⁴	7·10 ⁻⁴	6·10 ⁻⁴	1·10 ⁻⁴
4'5	1'7·10 ⁻³	1'8·10 ⁻³	1'6·10 ⁻³	1'7·10 ⁻³	0,1·10 ⁻³
4'5R	8'7·10 ⁻⁴	8'7·10 ⁻⁴	9'5·10 ⁻⁴	9'0·10 ⁻⁴	0'5·10 ⁻⁴

Tabla.IX.5. Concentración de FeEDDHA comercial en la disolución nutritiva B (Ensayo 2).

pH	Concentración de FeQ (M)			(Conc FeQ) _{media} (M)	Desv. estándar
	1	2	3		
6'0	3'4·10 ⁻⁴	3'0·10 ⁻⁴	3'2·10 ⁻⁴	3'2·10 ⁻⁴	0'3·10 ⁻⁴
6'0R	2'35·10 ⁻⁴	2'41·10 ⁻⁴	2'50·10 ⁻⁴	2'42·10 ⁻⁴	0'08·10 ⁻⁴
4'5	3'51·10 ⁻⁴	3'54·10 ⁻⁴	3'54·10 ⁻⁴	3'53·10 ⁻⁴	0'02·10 ⁻⁴
4'5R	3'32·10 ⁻⁴	3,34·10 ⁻⁴	3,36·10 ⁻⁴	3,34·10 ⁻⁴	0,02·10 ⁻⁴

Tabla.IX.6. Concentración de FeEDDHA comercial en la disolución nutritiva C (Ensayo 2).

pH	Concentración de FeQ (M)			(Conc FeQ) _{media} (M)	Desv. estándar
	1	2	3		
6'0	5'4·10 ⁻⁵	5'3·10 ⁻⁵	5'1·10 ⁻⁵	5'3·10 ⁻⁵	0'1·10 ⁻⁵
6'0R	4'9·10 ⁻⁵	5'1·10 ⁻⁵	4,9·10 ⁻⁵	5'0·10 ⁻⁵	0'1·10 ⁻⁵
4'5	5'3·10 ⁻⁵	5'2·10 ⁻⁵	5'1·10 ⁻⁵	5'2·10 ⁻⁵	0'1·10 ⁻⁵
4'5R	5'21·10 ⁻⁵	5'14·10 ⁻⁵	5,16·10 ⁻⁵	5'17·10 ⁻⁵	0'04·10 ⁻⁵

**Tabla.IX.7. Concentración de FeEDDHMA comercial en la disolución nutritiva A
(Ensayo 2).**

pH	% FeQ en disolución			(% FeQ) _{media}	Desv. estándar
	1	2	3		
6'0	95	88	86	90	5
6'0R	35	35	37	36	1
4'5	91	100	100	97	5
4'5R	49	48	51	49	2

**Tabla.IX.8. Concentración de FeEDDHMA comercial en la disolución nutritiva B
(Ensayo 2).**

pH	% FeQ en disolución			(% FeQ) _{media}	Desv. estándar
	1	2	3		
6'0	92	88	94	91	3
6'0R	50	50	53	51	2
4'5	98	84	89	90	7
4'5R	65'6	66'9	66'8	66'4	0'8

**Tabla.IX.9. Concentración de FeEDDHMA comercial en la disolución nutritiva C
(Ensayo 2).**

pH	Concentración de FeQ (M)			(Conc FeQ) _{media} (M)	Desv. estándar
	1	2	3		
6'0	107	122	116	115	8
6'0R	61	63	62	62	1
4'5	93	100	98	97	4
4'5R	69	78	86	78	8

Tabla.IX.10. Concentración de FeEDDHA estándar en la disolución nutritiva B' (Ensayo 3).

pH	Concentración de FeQ (M)			(Conc FeQ) _{media} (M)	Desv. estándar
	1	2	3		
6'0	3'29·10 ⁻⁴	3'33·10 ⁻⁴	3'32·10 ⁻⁴	3'31·10 ⁻⁴	0'02·10 ⁻⁴
6'0R	1'90·10 ⁻⁴	1'69·10 ⁻⁴	1'80·10 ⁻⁴	1'80·10 ⁻⁴	0'1·10 ⁻⁴
4'5	3'44·10 ⁻⁴	3'46·10 ⁻⁴	3'46·10 ⁻⁴	3'45·10 ⁻⁴	0,01·10 ⁻⁴
4'5R	2'68·10 ⁻⁴	2'68·10 ⁻⁴	2'69·10 ⁻⁴	2'68·10 ⁻⁴	0'006·10 ⁻⁴

Tabla.IX.11. Concentración de FeEDDHA estándar en la disolución nutritiva C' (Ensayo 3).

pH	Concentración de FeQ (M)			(Conc FeQ) _{media} (M)	Desv. estándar
	1	2	3		
6'0	5'00·10 ⁻⁵	5'35·10 ⁻⁵	5'45·10 ⁻⁵	5'27·10 ⁻⁵	0'02·10 ⁻⁵
6'0R	3'63·10 ⁻⁵	3'59·10 ⁻⁵	3'58·10 ⁻⁵	3'60·10 ⁻⁵	0'003·10 ⁻⁵
4'5	5'15·10 ⁻⁵	5'23·10 ⁻⁵	4'98·10 ⁻⁵	5'12·10 ⁻⁵	0'01·10 ⁻⁵
4'5R	3'60·10 ⁻⁵	3'69·10 ⁻⁵	3'77·10 ⁻⁵	3'69·10 ⁻⁵	0'01·10 ⁻⁵

Tabla.IX.12. Concentración de FeEDDHA comercial en la disolución nutritiva B' (Ensayo 3).

pH	Concentración de FeQ (M)			(Conc FeQ) _{media} (M)	Desv. estándar
	1	2	3		
6'0	3'41·10 ⁻⁴	3'49·10 ⁻⁴	3'21·10 ⁻⁴	3'37·10 ⁻⁴	0'1·10 ⁻⁴
6'0R	2'91·10 ⁻⁴	2'68·10 ⁻⁴	2'76·10 ⁻⁴	2'78·10 ⁻⁴	0'1·10 ⁻⁴
4'5	3'39·10 ⁻⁴	3'42·10 ⁻⁴	3'30·10 ⁻⁴	3'37·10 ⁻⁴	0,06·10 ⁻⁴
4'5R	3'30·10 ⁻⁴	3'25·10 ⁻⁴	3'28·10 ⁻⁴	3'28·10 ⁻⁴	0'03·10 ⁻⁴

Tabla.IX.13. Concentración de FeEDDHA comercial en la disolución nutritiva C' (Ensayo 3).

pH	Concentración de FeQ (M)			(Conc FeQ) _{media} (M)	Desv. estándar
	1	2	3		
6'0	5'15·10 ⁻⁵	5'02·10 ⁻⁵	5'28·10 ⁻⁵	5'15·10 ⁻⁵	0'1·10 ⁻⁵
6'0R	5'10·10 ⁻⁵	4'99·10 ⁻⁵	5'04·10 ⁻⁵	5'04·10 ⁻⁵	0'06·10 ⁻⁵
4'5	5'30·10 ⁻⁵	5'42·10 ⁻⁵	4'98·10 ⁻⁵	5'23·10 ⁻⁵	0'2·10 ⁻⁵
4'5R	4'79·10 ⁻⁵	5'32·10 ⁻⁵	5'04·10 ⁻⁵	5'05·10 ⁻⁵	0'3·10 ⁻⁵

Tabla.IX.14. Porcentajes de FeEDDHMA comercial en la disolución nutritiva B' (Ensayo 3).

pH	% FeQ en disolución			(% FeQ) _{media}	Desv. estándar
	1	2	3		
6'0	97'2	95'3	96'6	96'4	0'9
6'0R	53'1	50'7	51'9	51'9	1
4'5	91'9	92'5	100'0	94'8	4
4'5R	74'8	75'5	67'5	72'6	4

Tabla.IX.15. Porcentajes de FeEDDHMA comercial en la disolución nutritiva C' (Ensayo 3).

pH	% FeQ en disolución			(% FeQ) _{media}	Desv. estándar
	1	2	3		
6'0	106'0	102'6	103'7	104'7	2
6'0R	59'2	48'0	44'9	50'7	7
4'5	96'6	92'4	86'6	91'9	5
4'5R	87'3	82'3	83'3	84'3	3

IX.2. EXPERIENCIA II.

Tabla.IX.16. Moles de Fe tomados por las plantas de tomate y de pimiento

Días	Moles de Fe tomados por las plantas					
	Tomate			Pimiento		
	Isómero racémico	Isómero meso	FeQ total	Isómero racémico	Isómero meso	FeQ total
0	$-4'29 \cdot 10^{-7}$	$2'31 \cdot 10^{-7}$	$-1'98 \cdot 10^{-7}$	$-3'89 \cdot 10^{-7}$	$6'45 \cdot 10^{-7}$	$2'56 \cdot 10^{-7}$
11	$1'38 \cdot 10^{-6}$	$2'98 \cdot 10^{-6}$	$3'36 \cdot 10^{-6}$	$-4'91 \cdot 10^{-7}$	$9'33 \cdot 10^{-7}$	$4'42 \cdot 10^{-7}$
18	$3'40 \cdot 10^{-6}$	$5'57 \cdot 10^{-6}$	$8'97 \cdot 10^{-6}$	$5'26 \cdot 10^{-6}$	$2'03 \cdot 10^{-6}$	$7'29 \cdot 10^{-6}$
21	$5'82 \cdot 10^{-6}$	$8'27 \cdot 10^{-6}$	$1'41 \cdot 10^{-5}$	$2'53 \cdot 10^{-6}$	$3'48 \cdot 10^{-6}$	$6'01 \cdot 10^{-6}$
25	$5'53 \cdot 10^{-6}$	$9'15 \cdot 10^{-6}$	$1'47 \cdot 10^{-5}$	$2'94 \cdot 10^{-6}$	$4'37 \cdot 10^{-6}$	$7'31 \cdot 10^{-6}$
28	$5'48 \cdot 10^{-6}$	$8'79 \cdot 10^{-6}$	$1'43 \cdot 10^{-5}$	$1'70 \cdot 10^{-6}$	$5'39 \cdot 10^{-6}$	$7'09 \cdot 10^{-6}$
32	$5'08 \cdot 10^{-6}$	$9'54 \cdot 10^{-6}$	$1'46 \cdot 10^{-5}$	--	--	--
35	$6'25 \cdot 10^{-6}$	$1'01 \cdot 10^{-5}$	$1'63 \cdot 10^{-5}$	$-7'87 \cdot 10^{-7}$	$5'82 \cdot 10^{-6}$	$5'03 \cdot 10^{-6}$
39	$5'54 \cdot 10^{-6}$	$1'25 \cdot 10^{-5}$	$1'80 \cdot 10^{-5}$	--	--	--
42	$5'68 \cdot 10^{-6}$	$1'24 \cdot 10^{-5}$	$1'81 \cdot 10^{-5}$	$-1'52 \cdot 10^{-6}$	$5'97 \cdot 10^{-6}$	$4'45 \cdot 10^{-6}$
46	$5'17 \cdot 10^{-6}$	$1'16 \cdot 10^{-5}$	$1'68 \cdot 10^{-5}$	$-1'40 \cdot 10^{-6}$	$6'33 \cdot 10^{-6}$	$4'93 \cdot 10^{-6}$
49	$5'59 \cdot 10^{-6}$	$1'04 \cdot 10^{-5}$	$1'60 \cdot 10^{-5}$	$-1'03 \cdot 10^{-6}$	$7'93 \cdot 10^{-6}$	$6'90 \cdot 10^{-6}$
53	$5'57 \cdot 10^{-6}$	$1'03 \cdot 10^{-5}$	$1'59 \cdot 10^{-5}$	$-9'47 \cdot 10^{-7}$	$1'24 \cdot 10^{-5}$	$1'14 \cdot 10^{-5}$
57	$5'05 \cdot 10^{-6}$	$9'52 \cdot 10^{-6}$	$1'46 \cdot 10^{-5}$	$2'67 \cdot 10^{-7}$	$1'62 \cdot 10^{-5}$	$1'65 \cdot 10^{-5}$
63	$5'04 \cdot 10^{-6}$	$9'28 \cdot 10^{-6}$	$1'43 \cdot 10^{-5}$	--	--	--
68	--	--	--	$1'41 \cdot 10^{-6}$	$1'70 \cdot 10^{-5}$	$1'84 \cdot 10^{-5}$
74	--	--	--	$2'84 \cdot 10^{-6}$	$1'65 \cdot 10^{-5}$	$1'93 \cdot 10^{-5}$

Tabla.IX.17. Moles de Fe tomados por las plantas de trigo y avena

Días	Moles de Fe tomados por las plantas					
	Trigo			Avena		
	Isómero racémico	Isómero meso	FeQ total	Isómero racémico	Isómero meso	FeQ total
0	$-1'00 \cdot 10^{-7}$	$9'90 \cdot 10^{-7}$	$8'90 \cdot 10^{-7}$	$-3'48 \cdot 10^{-7}$	$7'30 \cdot 10^{-7}$	$3'82 \cdot 10^{-7}$
18	$1'38 \cdot 10^{-6}$	$1'27 \cdot 10^{-6}$	$2'65 \cdot 10^{-6}$	$5'48 \cdot 10^{-7}$	$7'06 \cdot 10^{-7}$	$1'25 \cdot 10^{-6}$
21	$3'11 \cdot 10^{-6}$	$2'73 \cdot 10^{-6}$	$5'84 \cdot 10^{-6}$	$1'72 \cdot 10^{-6}$	$1'68 \cdot 10^{-6}$	$3'40 \cdot 10^{-6}$
25	$4'81 \cdot 10^{-6}$	$3'82 \cdot 10^{-6}$	$8'63 \cdot 10^{-6}$	$3'73 \cdot 10^{-6}$	$2'70 \cdot 10^{-6}$	$6'43 \cdot 10^{-6}$
28	$5'47 \cdot 10^{-6}$	$5'28 \cdot 10^{-6}$	$1'07 \cdot 10^{-7}$	$5'12 \cdot 10^{-6}$	$5'17 \cdot 10^{-6}$	$1'03 \cdot 10^{-5}$
32	$4'83 \cdot 10^{-6}$	$5'03 \cdot 10^{-6}$	$9'86 \cdot 10^{-6}$	$4'93 \cdot 10^{-6}$	$5'53 \cdot 10^{-6}$	$1'05 \cdot 10^{-5}$
35	$4'92 \cdot 10^{-6}$	$5'51 \cdot 10^{-6}$	$1'04 \cdot 10^{-5}$	$5'83 \cdot 10^{-6}$	$6'18 \cdot 10^{-6}$	$1'20 \cdot 10^{-5}$
39	--	--	--	$5'13 \cdot 10^{-6}$	$5'55 \cdot 10^{-6}$	$1'07 \cdot 10^{-5}$
42	$5'36 \cdot 10^{-6}$	$4'19 \cdot 10^{-6}$	$9'55 \cdot 10^{-6}$	$6'33 \cdot 10^{-6}$	$5'54 \cdot 10^{-6}$	$1'19 \cdot 10^{-5}$
46	$6'79 \cdot 10^{-6}$	$5'27 \cdot 10^{-6}$	$1'21 \cdot 10^{-5}$	$5'15 \cdot 10^{-6}$	$5'95 \cdot 10^{-6}$	$1'11 \cdot 10^{-5}$
53	$7'47 \cdot 10^{-6}$	$5'36 \cdot 10^{-6}$	$1'28 \cdot 10^{-5}$	$5'04 \cdot 10^{-6}$	$6'06 \cdot 10^{-6}$	$1'11 \cdot 10^{-5}$
57	$7'99 \cdot 10^{-6}$	$7'06 \cdot 10^{-6}$	$1'50 \cdot 10^{-5}$	$5'52 \cdot 10^{-6}$	$7'66 \cdot 10^{-6}$	$1'32 \cdot 10^{-5}$
60	$8'81 \cdot 10^{-6}$	$7'54 \cdot 10^{-6}$	$1'63 \cdot 10^{-5}$	$8'02 \cdot 10^{-6}$	$8'76 \cdot 10^{-6}$	$1'68 \cdot 10^{-5}$
63	$1'03 \cdot 10^{-5}$	$8'18 \cdot 10^{-6}$	$1'85 \cdot 10^{-5}$	$1'03 \cdot 10^{-5}$	$1'03 \cdot 10^{-5}$	$2'06 \cdot 10^{-5}$
68	$1'08 \cdot 10^{-5}$	$8'60 \cdot 10^{-6}$	$9'68 \cdot 10^{-6}$	$1'28 \cdot 10^{-5}$	$1'14 \cdot 10^{-5}$	$2'42 \cdot 10^{-5}$
74	--	--	--	$1'33 \cdot 10^{-5}$	$1'14 \cdot 10^{-5}$	$2'47 \cdot 10^{-5}$

Tabla.IX.18. Variación del pH y la C.E. (mS/cm) en la disolución nutritiva

Días	Tomate		Pimiento		Trigo		Avena	
	pH	C.E.	pH	C.E.	pH	C.E.	pH	C.E.
0	6'4	2'2	6'4	2'2	6'45	2'2	6'4	2'2
11	6'3	2'3	6'3	2'5	--	--	--	--
18	6'8	2'3	6'3	2'4	6'5	2'6	6'4	2'2
21	7'2	1'9	6'4	2'2	6'5	2'4	6'6	2'4
25	7'2	0'9	6'4	2'0	6'7	2'2	6'6	2'3
28	7'0	0'8	6'5	1'8	6'7	2'1	6'7	2'1
32	6'8	0'6	6'6	1'7	6'8	2'0	6'7	2'1
35	6'7	0'6	6'7	1'8	6'8	2'1	6'9	2'1
39	6'5	0'5	6'8	1'6	7'1	2'0	7'1	2'1
42	6'6	0'4	6'8	1'5	7'1	1'9	6'9	1'9
46	6'5	0'5	6'9	1'0	7'0	1'7	6'9	1'8
49	6'4	0'6	7'0	1'0	6'9	1'6	7'0	1'7
53	6'4	0'7	7'0	1'0	7'2	1'5	7'2	1'6
57	6'2	0'8	6'8	1'1	7'0	1'7	7'0	1'8
60	6'5	0'8	6'6	1'1	6'9	1'5	6'8	1'6
63	6'5	0'8	6'6	0'9	7'0	1'2	6'9	1'4
68	6'4	0'9	6'5	1'0	6'9	1'4	6'9	1'3
74	6'4	0'8	6'4	0'7	7'1	1'2	7'0	1'2

IX.3.EXPERIENCIA III.

Tabla.IX.19. Datos de difracción de RX del óxido de Cu sintetizado en el laboratorio.

K- α	Ángulo	D (Å)	I. max.	I. rel.	mineral
1	16'596	5'3373	43'3	9'0	--
2	34'600	2'5903	55'3	11'5	CuO
3	35'504	2'5264	437'3	91'4	CuO
4	38'598	2'3307	479'3	100'0	CuO
5	48'829	1'8636	99'7	20'8	CuO
6	57'956	1'5900	50'7	10'6	CuO
7	61'458	1'5075	78'8	16'4	CuO
8	66'201	1'4105	67'1	14'0	CuO
9	68'049	1'3767	57'1	11'9	CuO

Tabla.IX.20. Datos de difracción de RX del óxido de Zn sintetizado en el laboratorio

K- α	Ángulo	D (Å)	I. max.	I. rel.	mineral
1	8'757	10'0898	44'9	6'5	--
2	31'762	2'8150	435'7	63'0	ZnO
3	32'845	2'7246	67'1	9'7	Zn ₄ SO ₄ (OH) ₆
4	34'423	2'6033	433'6	62'7	ZnO
5	36'236	2'4770	691'5	100	ZnO
6	47'548	1'9108	144'4	20'9	ZnO
7	56'576	1'6254	200'8	29'0	ZnO
8	62'847	1'4775	177'8	25'7	ZnO
9	67'938	1'3786	146'6	21'2	ZnO
10	69'053	1'3591	72'7	10'5	ZnO

Tabla.IX.21. Datos de difracción de RX del hidróxido de Al sintetizado en el laboratorio

K- α	Ángulo	D (Å)	I. max.	I. rel.	mineral
1	17'692	5'0092	34'5	2'7	--
2	18'272	4'8514	1272'7	100	Al(OH) ₃
3	20'273	4'3769	384'4	30'2	Al(OH) ₃
4	26'828	3'3204	71'1	5'6	Al(OH) ₃
5	27'881	3'1974	77'3	6'1	Al(OH) ₃
6	28'614	3'1172	24'4	1'9	Al(OH) ₃
7	36'490	2'4604	97'7	7'7	Al(OH) ₃
8	37'617	2'3892	136'2	10'7	Al(OH) ₃
9	39'259	2'2930	33'2	2'6	Al(OH) ₃
10	40'482	2'2265	76'1	6'0	Al(OH) ₃
11	41'637	2'1674	66'8	5'2	Al(OH) ₃
12	44'101	2'0518	95'2	7'5	Al(OH) ₃
13	45'389	1'9965	66'8	5'2	Al(OH) ₃
14	47'308	1'9199	48'5	3'8	Al(OH) ₃
15	50'504	1'8057	72'0	5'7	Al(OH) ₃
16	52'153	1'7524	78'4	6'2	Al(OH) ₃
17	54'370	1'6860	67'1	5'3	Al(OH) ₃
18	55'342	1'6587	21'6	1'7	Al(OH) ₃
19	57'886	1'5917	24'0	1'9	Al(OH) ₃
20	63'738	1'4590	68'8	5'4	Al(OH) ₃
21	64'573	1'4421	32'6	2'6	Al(OH) ₃
22	66'121	1'4120	37'2	2'9	Al(OH) ₃
23	68'854	1'3625	21'2	1'7	Al(OH) ₃

Tabla.IX.22. Datos de difracción de RX de la hematita sintética (Panreac).

K- α	Ángulo	D (Å)	I. max.	I. rel.	mineral
1	18'393	4'8197	89'0	32'4	--
2	24'127	3'6857	120'1	43'8	Fe ₂ O ₃
3	33'140	2'7011	274'6	100	Fe ₂ O ₃
4	35'627	2'5180	192'9	70'3	Fe ₂ O ₃
5	40'864	2'2065	64'7	23'5	Fe ₂ O ₃
6	49'455	1'8415	87'0	31'7	Fe ₂ O ₃
7	54'056	1'6951	108'9	39'7	Fe ₂ O ₃
8	62'441	1'4861	68'4	24'9	Fe ₂ O ₃

Tabla.IX.23. Concentración de Fe (o-EDDHA) que permanece en Qs, Qs+SH1 y Qs+SH2 tras la interacción con CaCO₃.

Tiempo (horas)	Muestra	Concentración Fe (o-EDDHA) (M)		(Conc.) _{media} (M)	Desv. estándar
		1	2		
0	Qs	1'74·10 ⁻⁴	1'74·10 ⁻⁴	1'74·10 ⁻⁴	0'00·10 ⁻⁴
	Qs+SH1	1'7395·10 ⁻⁴	1'7413·10 ⁻⁴	1'7404·10 ⁻⁴	0'0001·10 ⁻⁴
	Qs+SH2	1'79·10 ⁻⁴	1'68·10 ⁻⁴	1'74·10 ⁻⁴	0'08·10 ⁻⁴
24	Qs	1'720·10 ⁻⁴	1'729·10 ⁻⁴	1'724·10 ⁻⁴	0'006·10 ⁻⁴
	Qs+SH1	1'64·10 ⁻⁴	1'75·10 ⁻⁴	1'70·10 ⁻⁴	0'06·10 ⁻⁴
	Qs+SH2	1'72·10 ⁻⁴	1'77·10 ⁻⁴	1'74·10 ⁻⁴	0'06·10 ⁻⁴
48	Qs	1'73·10 ⁻⁴	1'68·10 ⁻⁴	1'70·10 ⁻⁴	0'04·10 ⁻⁴
	Qs+SH1	1'74·10 ⁻⁴	1'68·10 ⁻⁴	1'71·10 ⁻⁴	0'06·10 ⁻⁴
	Qs+SH2	1'68·10 ⁻⁴	1'72·10 ⁻⁴	1'70·10 ⁻⁴	0'03·10 ⁻⁴
96	Qs	1'79·10 ⁻⁴	1'72·10 ⁻⁴	1'75·10 ⁻⁴	0'05·10 ⁻⁴
	Qs+SH1	1'712·10 ⁻⁴	1'725·10 ⁻⁴	1'719·10 ⁻⁴	0'009·10 ⁻⁴
	Qs+SH2	1'739·10 ⁻⁴	1'750·10 ⁻⁴	1'745·10 ⁻⁴	0'007·10 ⁻⁴
168	Qs	1'72·10 ⁻⁴	1'69·10 ⁻⁴	1'70·10 ⁻⁴	0'02·10 ⁻⁴
	Qs+SH1	1'73·10 ⁻⁴	1'70·10 ⁻⁴	1'71·10 ⁻⁴	0'02·10 ⁻⁴
	Qs+SH2	1'74·10 ⁻⁴	1'71·10 ⁻⁴	1'73·10 ⁻⁴	0'02·10 ⁻⁴
360	Qs	1'74·10 ⁻⁴	1'70·10 ⁻⁴	1'72·10 ⁻⁴	0'03·10 ⁻⁴
	Qs+SH1	1'720·10 ⁻⁴	1'723·10 ⁻⁴	1'722·10 ⁻⁴	0'002·10 ⁻⁴
	Qs+SH2	1'72·10 ⁻⁴	1'77·10 ⁻⁴	1'75·10 ⁻⁴	0'04·10 ⁻⁴

Tabla.IX.24. Concentración de Ca total que solubilizada en Qs, Qs+SH1 y Qs+SH2 tras la interacción con CaCO₃.

Tiempo (horas)	Muestra	Concentración Ca (M)		(Conc.) _{media} (M)	Desv. estándar
		1	2		
0	Qs	0'00·10 ⁻⁴	0'00·10 ⁻⁴	0'00·10 ⁻⁴	0'00·10 ⁻⁴
	SH1	0'35·10 ⁻⁴	0'31·10 ⁻⁴	0'33·10 ⁻⁴	0'03·10 ⁻⁴
	Qs+SH1	0'5·10 ⁻⁴	0'3·10 ⁻⁴	0'4·10 ⁻⁴	0'1·10 ⁻⁴
	SH2	0'336·10 ⁻⁴	0'340·10 ⁻⁴	0'342·10 ⁻⁴	0'008·10 ⁻⁴
	Qs+SH2	0'390·10 ⁻⁴	0'374·10 ⁻⁴	0'385·10 ⁻⁴	0'007·10 ⁻⁴
	agua	0'00·10 ⁻⁴	0'00·10 ⁻⁴	0'00·10 ⁻⁴	0'00·10 ⁻⁴
24	Qs	2'0·10 ⁻⁴	2'2·10 ⁻⁴	2'1·10 ⁻⁴	0'1·10 ⁻⁴
	SH1	2'7·10 ⁻⁴	2'2·10 ⁻⁴	2'4·10 ⁻⁴	0'4·10 ⁻⁴
	Qs+SH1	2'1·10 ⁻⁴	1'9·10 ⁻⁴	2'0·10 ⁻⁴	0'1·10 ⁻⁴
	SH2	3'3·10 ⁻⁴	2'8·10 ⁻⁴	3'0·10 ⁻⁴	0'3·10 ⁻⁴
	Qs+SH2	2'0·10 ⁻⁴	2'4·10 ⁻⁴	2'2·10 ⁻⁴	0'2·10 ⁻⁴
	agua	1'1·10 ⁻⁴	1'5·10 ⁻⁴	1'3·10 ⁻⁴	0'2·10 ⁻⁴
48	Qs	2'8·10 ⁻⁴	3'0·10 ⁻⁴	2'9·10 ⁻⁴	0'2·10 ⁻⁴
	SH1	2'4·10 ⁻⁴	2'2·10 ⁻⁴	2'3·10 ⁻⁴	0'1·10 ⁻⁴
	Qs+SH1	2'6·10 ⁻⁴	2'4·10 ⁻⁴	2'5·10 ⁻⁴	0'1·10 ⁻⁴
	SH2	3'1·10 ⁻⁴	2'8·10 ⁻⁴	2'9·10 ⁻⁴	0'2·10 ⁻⁴
	Qs+SH2	3'5·10 ⁻⁴	3'2·10 ⁻⁴	3'3·10 ⁻⁴	0'3·10 ⁻⁴
	agua	2'0·10 ⁻⁴	1'7·10 ⁻⁴	1'9·10 ⁻⁴	0'2·10 ⁻⁴
96	Qs	2'3·10 ⁻⁴	1'9·10 ⁻⁴	2'1·10 ⁻⁴	0'3·10 ⁻⁴
	SH1	2'6·10 ⁻⁴	2'4·10 ⁻⁴	2'5·10 ⁻⁴	0'1·10 ⁻⁴
	Qs+SH1	3'26·10 ⁻⁴	3'34·10 ⁻⁴	3'30·10 ⁻⁴	0'06·10 ⁻⁴
	SH2	3'21·10 ⁻⁴	3'26·10 ⁻⁴	3'23·10 ⁻⁴	0'03·10 ⁻⁴
	Qs+SH2	3'3·10 ⁻⁴	3'1·10 ⁻⁴	3'2·10 ⁻⁴	0'1·10 ⁻⁴
	agua	1'7·10 ⁻⁴	1'5·10 ⁻⁴	1'6·10 ⁻⁴	0'2·10 ⁻⁴
168	Qs	2'4·10 ⁻⁴	2'1·10 ⁻⁴	2'2·10 ⁻⁴	0'3·10 ⁻⁴
	SH1	2'7·10 ⁻⁴	2'4·10 ⁻⁴	2'5·10 ⁻⁴	0'3·10 ⁻⁴
	Qs+SH1	2'7	3'1·10 ⁻⁴	2'9·10 ⁻⁴	0'2·10 ⁻⁴
	SH2	2'9·10 ⁻⁴	3'0·10 ⁻⁴	3'0·10 ⁻⁴	0'1·10 ⁻⁴
	Qs+SH2	3'87·10 ⁻⁴	3'97·10 ⁻⁴	3'92·10 ⁻⁴	0'07·10 ⁻⁴
	agua	2'6·10 ⁻⁴	2'4·10 ⁻⁴	2'5·10 ⁻⁴	0'1·10 ⁻⁴
360	Qs	1'9·10 ⁻⁴	2'7·10 ⁻⁴	2'3·10 ⁻⁴	0'5·10 ⁻⁴
	SH1	2'81·10 ⁻⁴	2'86·10 ⁻⁴	2'84·10 ⁻⁴	0'04·10 ⁻⁴
	Qs+SH1	3'5·10 ⁻⁴	3'2·10 ⁻⁴	3'3·10 ⁻⁴	0'2
	SH2	2'3·10 ⁻⁴	2'1·10 ⁻⁴	2'2·10 ⁻⁴	0'1·10 ⁻⁴
	Qs+SH2	3'37·10 ⁻⁴	3'48·10 ⁻⁴	3'42·10 ⁻⁴	0'08
	agua	2'0·10 ⁻⁴	2'5·10 ⁻⁴	2'2·10 ⁻⁴	0'4·10 ⁻⁴

Tabla.IX.25. Concentración de Fe (o-EDDHA) que permanece en Qc, Qc+SH1 y Qc+SH2 tras la interacción con CaCO₃.

Tiempo (horas)	Muestra	Concentración Fe (o-EDDHA) (M)		(Conc.) _{media} (M)	Desv. estándar
		1	2		
0	Qc	7'56·10 ⁻⁵	7'60·10 ⁻⁵	7'58·10 ⁻⁵	0'03·10 ⁻⁵
	Qc+SH1	7'50·10 ⁻⁵	7'47·10 ⁻⁵	7'49·10 ⁻⁵	0'02·10 ⁻⁵
	Qc+SH2	7'71·10 ⁻⁵	7'65·10 ⁻⁵	7'68·10 ⁻⁵	0'04·10 ⁻⁵
24	Qc	7'40·10 ⁻⁵	7'53·10 ⁻⁵	7'47·10 ⁻⁵	0'09·10 ⁻⁵
	Qc+SH1	7'40·10 ⁻⁵	7'50·10 ⁻⁵	7'45·10 ⁻⁵	0'07·10 ⁻⁵
	Qc+SH2	7'68·10 ⁻⁵	7'64·10 ⁻⁵	7'66·10 ⁻⁵	0'03·10 ⁻⁵
48	Qc	7'41·10 ⁻⁵	7'35·10 ⁻⁵	7'38·10 ⁻⁵	0'04·10 ⁻⁵
	Qc+SH1	7'30·10 ⁻⁵	7'39·10 ⁻⁵	7'35·10 ⁻⁵	0'06·10 ⁻⁵
	Qc+SH2	7'02·10 ⁻⁵	7'12·10 ⁻⁵	7'07·10 ⁻⁵	0'07·10 ⁻⁵
96	Qc	7'7·10 ⁻⁵	7'5·10 ⁻⁵	7'6·10 ⁻⁵	0'1·10 ⁻⁵
	Qc+SH1	7'45·10 ⁻⁵	7'50·10 ⁻⁵	7'48·10 ⁻⁵	0'04·10 ⁻⁵
	Qc+SH2	7'63·10 ⁻⁵	7'71·10 ⁻⁵	7'67·10 ⁻⁵	0'06·10 ⁻⁵
168	Qc	7'56·10 ⁻⁵	7'58·10 ⁻⁵	7'57·10 ⁻⁵	0'02·10 ⁻⁵
	Qc+SH1	7'8·10 ⁻⁵	7'2·10 ⁻⁵	7'5·10 ⁻⁵	0'4·10 ⁻⁵
	Qc+SH2	7'4·10 ⁻⁵	7'7·10 ⁻⁵	7'5·10 ⁻⁵	0'3·10 ⁻⁵
360	Qc	7'2·10 ⁻⁵	7'9·10 ⁻⁵	7'6·10 ⁻⁵	0'4·10 ⁻⁵
	Qc+SH1	7'53·10 ⁻⁵	7'45·10 ⁻⁵	7'49·10 ⁻⁵	0'06·10 ⁻⁵
	Qc+SH2	7'7·10 ⁻⁵	7'5·10 ⁻⁵	7'6·10 ⁻⁵	0'1·10 ⁻⁵

Tabla.IX.26. Concentración de Fe total que permanece en Qc, Qc+SH1 y Qc+SH2 tras la interacción con CaCO₃.

Tiempo (horas)	Muestra	Concentración Fe (M)		(Conc.) _{media} (M)	Desv. estándar
		1	2		
0	Qc	1'71·10 ⁻⁴	1'72·10 ⁻⁴	1'71·10 ⁻⁴	0'01·10 ⁻⁴
	Qc+SH1	1'75·10 ⁻⁴	1'71·10 ⁻⁴	1'73·10 ⁻⁴	0'03·10 ⁻⁴
	Qc+SH2	1'90·10 ⁻⁴	1'83·10 ⁻⁴	1'85·10 ⁻⁴	0'07·10 ⁻⁴
24	Qs	1'38·10 ⁻⁴	1'47·10 ⁻⁴	1'43·10 ⁻⁴	0'06·10 ⁻⁴
	Qc+SH1	1'441·10 ⁻⁴	1'433·10 ⁻⁴	1'437·10 ⁻⁴	0'006·10 ⁻⁴
	Qs+SH2	1'66·10 ⁻⁴	1'50·10 ⁻⁴	1'58·10 ⁻⁴	0'1·10 ⁻⁴
48	Qs	1'42·10 ⁻⁴	1'37·10 ⁻⁴	1'39·10 ⁻⁴	0'03·10 ⁻⁴
	Qc+SH1	1'47·10 ⁻⁴	1'38·10 ⁻⁴	1'43·10 ⁻⁴	0'06·10 ⁻⁴
	Qc+SH2	1'49·10 ⁻⁴	1'52·10 ⁻⁴	1'50·10 ⁻⁴	0'02·10 ⁻⁴
96	Qc	1'30·10 ⁻⁴	1'36·10 ⁻⁴	1'33·10 ⁻⁴	0'04·10 ⁻⁴
	Qc+SH1	1'33·10 ⁻⁴	1'41·10 ⁻⁴	1'37·10 ⁻⁴	0'05·10 ⁻⁴
	Qc+SH2	1'47·10 ⁻⁴	1'48·10 ⁻⁴	1'47·10 ⁻⁴	0'01·10 ⁻⁴
168	Qc	1'334·10 ⁻⁴	1'342·10 ⁻⁴	1'338·10 ⁻⁴	0'006·10 ⁻⁴
	Qc+SH1	1'23·10 ⁻⁴	1'28·10 ⁻⁴	1'26·10 ⁻⁴	0'03·10 ⁻⁴
	Qc+SH2	1'28·10 ⁻⁴	1'33·10 ⁻⁴	1'30·10 ⁻⁴	0'03·10 ⁻⁴
360	Qc	1'210·10 ⁻⁴	1'201·10 ⁻⁴	1'206·10 ⁻⁴	0'006
	Qc+SH1	1'16·10 ⁻⁴	1'27·10 ⁻⁴	1'21·10 ⁻⁴	0'08·10 ⁻⁴
	Qc+SH2	1'24·10 ⁻⁴	1'33·10 ⁻⁴	1'29·10 ⁻⁴	0'06·10 ⁻⁴

Tabla.IX.27. Concentración de Ca total que solubilizada en Qc, Qc+SH1 y Qc+SH2 tras la interacción con CaCO₃.

Tiempo (horas)	Muestra	Concentración Ca (M)		(Conc.) _{media} (M)	Desv. estándar
		1	2		
0	Qc	0'530·10 ⁻⁴	0'542·10 ⁻⁴	0'536·10 ⁻⁴	0'008·10 ⁻⁴
	SH1	0'35·10 ⁻⁴	0'31·10 ⁻⁴	0'33·10 ⁻⁴	0'03·10 ⁻⁴
	Qc+SH1	0'45·10 ⁻⁴	0'48·10 ⁻⁴	0'47·10 ⁻⁴	0'02·10 ⁻⁴
	SH2	0'336·10 ⁻⁴	0'340·10 ⁻⁴	0'342·10 ⁻⁴	0'008·10 ⁻⁴
	Qc+SH2	0'52·10 ⁻⁴	0'55·10 ⁻⁴	0'54·10 ⁻⁴	0'02·10 ⁻⁴
	agua	0'0	0'0	0'0	0'0
24	Qs	2'9·10 ⁻⁴	3'1·10 ⁻⁴	3'0·10 ⁻⁴	0'2·10 ⁻⁴
	SH1	2'7·10 ⁻⁴	2'2·10 ⁻⁴	2'4·10 ⁻⁴	0'4·10 ⁻⁴
	Qc+SH1	3'607·10 ⁻⁴	3'595·10 ⁻⁴	3'601·10 ⁻⁴	0'009
	SH2	3'3·10 ⁻⁴	2'8·10 ⁻⁴	3'0·10 ⁻⁴	0'3·10 ⁻⁴
	Qc+SH2	3'4·10 ⁻⁴	3'0·10 ⁻⁴	3'2·10 ⁻⁴	0'3·10 ⁻⁴
	agua	1'1·10 ⁻⁴	1'5·10 ⁻⁴	1'3·10 ⁻⁴	0'2·10 ⁻⁴
48	Qc	4'00·10 ⁻⁴	3'95·10 ⁻⁴	3'97·10 ⁻⁴	0'03·10 ⁻⁴
	SH1	2'4·10 ⁻⁴	2'2·10 ⁻⁴	2'3·10 ⁻⁴	0'1·10 ⁻⁴
	Qc+SH1	3'1·10 ⁻⁴	3'7·10 ⁻⁴	3'4·10 ⁻⁴	0'4·10 ⁻⁴
	SH2	3'1·10 ⁻⁴	2'8·10 ⁻⁴	2'9·10 ⁻⁴	0'2·10 ⁻⁴
	Qc+SH2	4'1·10 ⁻⁴	4'5·10 ⁻⁴	4'3·10 ⁻⁴	0'3·10 ⁻⁴
	agua	2'0·10 ⁻⁴	1'7·10 ⁻⁴	1'9·10 ⁻⁴	0'2·10 ⁻⁴
96	Qc	3'96·10 ⁻⁴	3'82·10 ⁻⁴	3'89·10 ⁻⁴	0'09·10 ⁻⁴
	SH1	2'6·10 ⁻⁴	2'4·10 ⁻⁴	2'5·10 ⁻⁴	0'1·10 ⁻⁴
	Qs+SH1	3'8·10 ⁻⁴	4'2	4'0·10 ⁻⁴	0'3·10 ⁻⁴
	SH2	3'21·10 ⁻⁴	3'26·10 ⁻⁴	3'23·10 ⁻⁴	0'03·10 ⁻⁴
	Qc+SH2	4'3·10 ⁻⁴	4'1·10 ⁻⁴	4'2·10 ⁻⁴	0'1·10 ⁻⁴
	agua	1'7·10 ⁻⁴	1'5·10 ⁻⁴	1'6·10 ⁻⁴	0'2·10 ⁻⁴
168	Qc	4'2·10 ⁻⁴	4'4·10 ⁻⁴	4'3·10 ⁻⁴	0'1·10 ⁻⁴
	SH1	2'7·10 ⁻⁴	2'4·10 ⁻⁴	2'5·10 ⁻⁴	0'3·10 ⁻⁴
	Qc+SH1	4'714·10 ⁻⁴	4'727·10 ⁻⁴	4'721·10 ⁻⁴	0'009·10 ⁻⁴
	SH2	2'9·10 ⁻⁴	3'0·10 ⁻⁴	3'0·10 ⁻⁴	0'1·10 ⁻⁴
	Qc+SH2	3'5·10 ⁻⁴	3'9·10 ⁻⁴	3'7·10 ⁻⁴	0'2·10 ⁻⁴
	agua	2'6·10 ⁻⁴	2'4·10 ⁻⁴	2'5·10 ⁻⁴	0'1·10 ⁻⁴
360	Qc	3'7·10 ⁻⁴	4'1·10 ⁻⁴	3'9·10 ⁻⁴	0'3
	SH1	2'81·10 ⁻⁴	2'86·10 ⁻⁴	2'84·10 ⁻⁴	0'04·10 ⁻⁴
	Qc+SH1	4'78·10 ⁻⁴	4'65·10 ⁻⁴	4'71·10 ⁻⁴	0'09·10 ⁻⁴
	SH2	2'3·10 ⁻⁴	2'1·10 ⁻⁴	2'2·10 ⁻⁴	0'1·10 ⁻⁴
	Qc+SH2	4'2·10 ⁻⁴	4'7·10 ⁻⁴	4'4·10 ⁻⁴	0'3·10 ⁻⁴
	agua	2'0·10 ⁻⁴	2'5·10 ⁻⁴	2'2·10 ⁻⁴	0'4·10 ⁻⁴

Tabla.IX.28. Concentración de Fe (o-EDDHA) que permanece en Qs, Qs+SH1 y Qs+SH2 tras la interacción con óxido de Fe amorfo.

Tiempo (horas)	Muestra	Concentración Fe (o-EDDHA) (M)			(Conc.) media (M)	Desv. estándar
		1	2	3		
0	Qs	1'67·10 ⁻⁴	1'64·10 ⁻⁴	1'64·10 ⁻⁴	1'65·10 ⁻⁴	0'02·10 ⁻⁴
	Qs+SH1	1'72·10 ⁻⁴	1'72·10 ⁻⁴	1'60·10 ⁻⁴	1'68·10 ⁻⁴	0'07·10 ⁻⁴
	Qs+SH2	1'62·10 ⁻⁴	1'64·10 ⁻⁴	1'68·10 ⁻⁴	1'65·10 ⁻⁴	0'03·10 ⁻⁴
24	Qs	1'64·10 ⁻⁴	1'63·10 ⁻⁴	1'51·10 ⁻⁴	1'61·10 ⁻⁴	0'04·10 ⁻⁴
	Qs+SH1	1'6·10 ⁻⁴	1'7·10 ⁻⁴	--	1'7·10 ⁻⁴	0'1·10 ⁻⁴
	Qs+SH2	1'607·10 ⁻⁴	1'620·10 ⁻⁴	--	1'613·10 ⁻⁴	0'009·10 ⁻⁴
48	Qs	1'60·10 ⁻⁴	1'57·10 ⁻⁴	1'59·10 ⁻⁴	1'58·10 ⁻⁴	0'02·10 ⁻⁴
	Qs+SH1	1'58·10 ⁻⁴	1'60·10 ⁻⁴	--	1'59·10 ⁻⁴	0'01·10 ⁻⁴
	Qs+SH2	1'5·10 ⁻⁴	1'7·10 ⁻⁴	--	1'6·10 ⁻⁴	0'2·10 ⁻⁴
96	Qs	1'60·10 ⁻⁴	1'60·10 ⁻⁴	1'54·10 ⁻⁴	1'58·10 ⁻⁴	0'03·10 ⁻⁴
	Qs+SH1	1'5802·10 ⁻⁴	1'5811·10 ⁻⁴	--	1'5806·10 ⁻⁴	0'0006·10 ⁻⁴
	Qs+SH2	1'5771·10 ⁻⁴	1'5784·10 ⁻⁴	--	1'5777·10 ⁻⁴	0'0009·10 ⁻⁴
168	Qs	1'58·10 ⁻⁴	1'59·10 ⁻⁴	1'60·10 ⁻⁴	1'59·10 ⁻⁴	0'01·10 ⁻⁴
	Qs+SH1	1'5·10 ⁻⁴	1'7·10 ⁻⁴	--	1'6·10 ⁻⁴	0'1·10 ⁻⁴
	Qs+SH2	1'60·10 ⁻⁴	1'62·10 ⁻⁴	--	1'61·10 ⁻⁴	0'01·10 ⁻⁴
360	Qs	1'65·10 ⁻⁴	1'59·10 ⁻⁴	1'54·10 ⁻⁴	1'59·10 ⁻⁴	0'05·10 ⁻⁴
	Qs+SH1	1'5·10 ⁻⁴	1'7·10 ⁻⁴	--	1'7·10 ⁻⁴	0'1·10 ⁻⁴
	Qs+SH2	1'60·10 ⁻⁴	1'62·10 ⁻⁴	--	1'61·10 ⁻⁴	0'02·10 ⁻⁴

Tabla.IX.29. Concentración de Fe total que permanece en Qs, Qs+SH1 y Qs+SH2 tras la interacción con óxido de Fe amorfo.

Tiempo (horas)	Muestra	Concentración Fe (M)			(Conc.) _{media} (M)	Desv. estándar
		1	2	3		
0	Qs	1'60·10 ⁻⁴	1'69·10 ⁻⁴	1'66·10 ⁻⁴	1'65·10 ⁻⁴	0'08·10 ⁻⁴
	SH1	8·10 ⁻⁸	7·10 ⁻⁸	7·10 ⁻⁸	7·10 ⁻⁸	3·10 ⁻⁸
	Qs+SH1	1'67·10 ⁻⁴	1'71·10 ⁻⁴	1'65·10 ⁻⁴	1'68·10 ⁻⁴	0'08·10 ⁻⁴
	SH2	0'14·10 ⁻⁴	0'06·10 ⁻⁴	0'00·10 ⁻⁴	0'07·10 ⁻⁴	0'07·10 ⁻⁴
	Qs+SH2	1'69·10 ⁻⁴	1'78·10 ⁻⁴	1'68·10 ⁻⁴	1'72·10 ⁻⁴	0,04·10 ⁻⁴
	agua	0'000·10 ⁻⁴	0'000·10 ⁻⁴	0'000·10 ⁻⁴	0'000·10 ⁻⁴	0'000·10 ⁻⁴
24	Qs	1'625·10 ⁻⁴	1'609·10 ⁻⁴	1'617·10 ⁻⁴	1'617·10 ⁻⁴	0'008·10 ⁻⁴
	SH1	0'11·10 ⁻⁴	0'08·10 ⁻⁴	0'09·10 ⁻⁴	0'09·10 ⁻⁴	0'02·10 ⁻⁴
	Qs+SH1	1'72·10 ⁻⁴	1'71·10 ⁻⁴	1'79·10 ⁻⁴	1'74·10 ⁻⁴	0'05·10 ⁻⁴
	SH2	0'09·10 ⁻⁴	0'10·10 ⁻⁴	0'13·10 ⁻⁴	0'11·10 ⁻⁴	0'02·10 ⁻⁴
	Qs+SH2	1'6·10 ⁻⁴	1'8·10 ⁻⁴	1'7·10 ⁻⁴	1'7·10 ⁻⁴	0'1·10 ⁻⁴
	agua	0'012·10 ⁻⁴	0'023·10 ⁻⁴	0'019·10 ⁻⁴	0'018·10 ⁻⁴	0'006·10 ⁻⁴
48	Qs	1'5·10 ⁻⁴	1'6·10 ⁻⁴	1'7·10 ⁻⁴	1'6·10 ⁻⁴	0'1·10 ⁻⁴
	SH1	0'08·10 ⁻⁴	0'09·10 ⁻⁴	0'10·10 ⁻⁴	0'09·10 ⁻⁴	0'01·10 ⁻⁴
	Qs+SH1	1'62·10 ⁻⁴	1'71·10 ⁻⁴	1'72·10 ⁻⁴	1'68·10 ⁻⁴	0'05·10 ⁻⁴
	SH2	0'15·10 ⁻⁴	0'11·10 ⁻⁴	0'09·10 ⁻⁴	0'12·10 ⁻⁴	0'03·10 ⁻⁴
	Qs+SH2	1'70·10 ⁻⁴	1'77·10 ⁻⁴	1'65·10 ⁻⁴	1'71·10 ⁻⁴	0'06·10 ⁻⁴
	agua	0'018·10 ⁻⁴	0'012·10 ⁻⁴	0'024·10 ⁻⁴	0'018·10 ⁻⁴	0'006·10 ⁻⁴
96	Qs	1'7·10 ⁻⁴	1'6·10 ⁻⁴	1'5·10 ⁻⁴	1'6·10 ⁻⁴	0'1·10 ⁻⁴
	SH1	0'09·10 ⁻⁴	0'10·10 ⁻⁴	0'13·10 ⁻⁴	0'11·10 ⁻⁴	0'02·10 ⁻⁴
	Qs+SH1	1'65·10 ⁻⁴	1'72·10 ⁻⁴	1'68·10 ⁻⁴	1'68·10 ⁻⁴	0'03·10 ⁻⁴
	SH2	0'113·10 ⁻⁴	0'118·10 ⁻⁴	0'127·10 ⁻⁴	0'119·10 ⁻⁴	0'007·10 ⁻⁴
	Qs+SH2	1'74·10 ⁻⁴	1'74·10 ⁻⁴	1'66·10 ⁻⁴	1'71·10 ⁻⁴	0'05·10 ⁻⁴
	agua	0'015·10 ⁻⁴	0'017·10 ⁻⁴	0'022·10 ⁻⁴	0'018·10 ⁻⁴	0'003·10 ⁻⁴
168	Qs	1'54·10 ⁻⁴	1'68·10 ⁻⁴	1'61·10 ⁻⁴	1'61·10 ⁻⁴	0'07·10 ⁻⁴
	SH1	0'11·10 ⁻⁴	0'14·10 ⁻⁴	0'09·10 ⁻⁴	0'11·10 ⁻⁴	0'03·10 ⁻⁴
	Qs+SH1	1'72·10 ⁻⁴	1'65·10 ⁻⁴	1'72·10 ⁻⁴	1'69·10 ⁻⁴	0'04·10 ⁻⁴
	SH2	0'11·10 ⁻⁴	0'14·10 ⁻⁴	0'12·10 ⁻⁴	0'12·10 ⁻⁴	0'01·10 ⁻⁴
	Qs+SH2	1'73·10 ⁻⁴	1'69·10 ⁻⁴	1'77·10 ⁻⁴	1'73·10 ⁻⁴	0'04·10 ⁻⁴
	agua	0'015·10 ⁻⁴	0'011·10 ⁻⁴	0'028·10 ⁻⁴	0'018·10 ⁻⁴	0'009·10 ⁻⁴
360	Qs	1'56·10 ⁻⁴	1'58·10 ⁻⁴	1'68·10 ⁻⁴	1'61·10 ⁻⁴	0'06·10 ⁻⁴
	SH1	0'12·10 ⁻⁴	0'14·10 ⁻⁴	0'08·10 ⁻⁴	0'11·10 ⁻⁴	0'03·10 ⁻⁴
	Qs+SH1	1'75·10 ⁻⁴	1'71·10 ⁻⁴	1'63·10 ⁻⁴	1'69·10 ⁻⁴	0'06·10 ⁻⁴
	SH2	0'118·10 ⁻⁴	0'118·10 ⁻⁴	0'135·10 ⁻⁴	0'124·10 ⁻⁴	0'007·10 ⁻⁴
	Qs+SH2	1'78·10 ⁻⁴	1'74·10 ⁻⁴	1'71·10 ⁻⁴	1'74·10 ⁻⁴	0'06·10 ⁻⁴
	agua	0'011·10 ⁻⁴	0'019·10 ⁻⁴	0'024·10 ⁻⁴	0'018·10 ⁻⁴	0'007·10 ⁻⁴

Tabla.IX.30. Concentración de Fe (o-EDDHA) que permanece en Qc, Qc+SH1 y Qc+SH2 tras la interacción con óxido de Fe amorfo.

Tiempo (horas)	Muestra	Concentración Fe (o-EDDHA) (M)		(Conc.) _{media} (M)	Desv. estándar
		1	2		
0	Qc	7'7·10 ⁻⁵	8'1·10 ⁻⁵	7'9·10 ⁻⁵	0'3·10 ⁻⁵
	Qc+SH1	7'5·10 ⁻⁵	8'3·10 ⁻⁵	7'9·10 ⁻⁵	0'6·10 ⁻⁵
	Qc+SH2	8'2·10 ⁻⁵	7'5·10 ⁻⁵	7'9·10 ⁻⁵	0'5·10 ⁻⁵
24	Qc	7'7·10 ⁻⁵	7'4·10 ⁻⁵	7'5·10 ⁻⁵	0'2·10 ⁻⁵
	Qc+SH1	7'0·10 ⁻⁵	7'4·10 ⁻⁵	7'2·10 ⁻⁵	0'3·10 ⁻⁵
	Qc+SH2	7'7·10 ⁻⁵	8'1·10 ⁻⁵	7'9·10 ⁻⁵	0'3·10 ⁻⁵
48	Qs	8'0·10 ⁻⁵	7'1·10 ⁻⁵	7'5·10 ⁻⁵	0'6·10 ⁻⁵
	Qc+SH1	7'0·10 ⁻⁵	7'3·10 ⁻⁵	7'2·10 ⁻⁵	0'2·10 ⁻⁵
	Qc+SH2	7'0·10 ⁻⁵	7'4·10 ⁻⁵	7'2·10 ⁻⁵	0'3·10 ⁻⁵
96	Qc	7'54·10 ⁻⁵	7'52·10 ⁻⁵	7'53·10 ⁻⁵	0'01·10 ⁻⁵
	Qc+SH1	8'0·10 ⁻⁵	7'4·10 ⁻⁵	7'7·10 ⁻⁵	0'4·10 ⁻⁵
	Qc+SH2	7'5·10 ⁻⁵	8'3·10 ⁻⁵	7'9·10 ⁻⁵	0'6·10 ⁻⁵
168	Qc	8'1·10 ⁻⁵	7'7·10 ⁻⁵	7'9·10 ⁻⁵	0'2·10 ⁻⁵
	Qc+SH1	7'14·10 ⁻⁵	7'20·10 ⁻⁵	7'17·10 ⁻⁵	0'04·10 ⁻⁵
	Qc+SH2	7'38·10 ⁻⁵	7'33·10 ⁻⁵	7'35·10 ⁻⁵	0'04·10 ⁻⁵
360	Qc	7'64·10 ⁻⁵	7'78·10 ⁻⁵	7'71·10 ⁻⁵	0'09·10 ⁻⁵
	Qc+SH1	7'4·10 ⁻⁵	7'7·10 ⁻⁵	7'5·10 ⁻⁵	0'3·10 ⁻⁵
	Qc+SH2	7'4·10 ⁻⁵	7'7·10 ⁻⁵	7'5·10 ⁻⁵	0'2·10 ⁻⁵

Tabla.IX.31. Concentración de Fe total que permanece en Qc, Qc+SH1 y Qc+SH2 tras la interacción con óxido de Fe amorfo.

Tiempo (horas)	Muestra	Concentración Fe (M)			(Conc.) _{media} (M)	Desv. estándar
		1	2	3		
0	Qc	1'62·10 ⁻⁴	1'55·10 ⁻⁴	1'59·10 ⁻⁴	1'59·10 ⁻⁴	0'03·10 ⁻⁴
	Qc+SH1	1'59·10 ⁻⁴	1'63·10 ⁻⁴	1'73·10 ⁻⁴	1'67·10 ⁻⁴	0'07·10 ⁻⁴
	Qc+SH2	1'71·10 ⁻⁴	1'66·10 ⁻⁴	1'63·10 ⁻⁴	1'66·10 ⁻⁴	0'04·10 ⁻⁴
24	Qc	1'57·10 ⁻⁴	1'50·10 ⁻⁴	1'59·10 ⁻⁴	1'55·10 ⁻⁴	0'05·10 ⁻⁴
	Qc+SH1	1'61·10 ⁻⁴	1'59·10 ⁻⁴	1'58·10 ⁻⁴	1'59·10 ⁻⁴	0'01·10 ⁻⁴
	Qc+SH2	1'67·10 ⁻⁴	1'71·10 ⁻⁴	1'68·10 ⁻⁴	1'68·10 ⁻⁴	0'02·10 ⁻⁴
48	Qc	1'55·10 ⁻⁴	1'48·10 ⁻⁴	1'52·10 ⁻⁴	1'52·10 ⁻⁴	0'04·10 ⁻⁴
	Qc+SH1	1'61·10 ⁻⁴	1'61·10 ⁻⁴	1'64·10 ⁻⁴	1'62·10 ⁻⁴	0'02·10 ⁻⁴
	Qc+SH2	1'59·10 ⁻⁴	1'63·10 ⁻⁴	1'64·10 ⁻⁴	1'62·10 ⁻⁴	0'03·10 ⁻⁴
96	Qc	1'59·10 ⁻⁴	1'54·10 ⁻⁴	1'53·10 ⁻⁴	1'55·10 ⁻⁴	0'03·10 ⁻⁴
	Qc+SH1	1'63·10 ⁻⁴	1'66·10 ⁻⁴	1'73·10 ⁻⁴	1'67·10 ⁻⁴	0'05·10 ⁻⁴
	Qc+SH2	1'72·10 ⁻⁴	1'68·10 ⁻⁴	1'82·10 ⁻⁴	1'74·10 ⁻⁴	0'07·10 ⁻⁴
168	Qc	1'55·10 ⁻⁴	1'58·10 ⁻⁴	1'63·10 ⁻⁴	1'59·10 ⁻⁴	0'04·10 ⁻⁴
	Qc+SH1	1'72·10 ⁻⁴	1'67·10 ⁻⁴	1'78·10 ⁻⁴	1'72·10 ⁻⁴	0'07·10 ⁻⁴
	Qc+SH2	1'76·10 ⁻⁴	1'68·10 ⁻⁴	1'67·10 ⁻⁴	1'70·10 ⁻⁴	0'05·10 ⁻⁴
360	Qc	1'57·10 ⁻⁴	1'55·10 ⁻⁴	1'54·10 ⁻⁴	1'55·10 ⁻⁴	0'01·10 ⁻⁴
	Qc+SH1	1'73·10 ⁻⁴	1'66·10 ⁻⁴	1'72·10 ⁻⁴	1'70·10 ⁻⁴	0'04·10 ⁻⁴
	Qc+SH2	1'74·10 ⁻⁴	1'73·10 ⁻⁴	1'68·10 ⁻⁴	1'72·10 ⁻⁴	0'03·10 ⁻⁴

Tabla.IX.32. Concentración de Fe (o-EDDHA) que permanece en Qs, Qs+SH1 y Qs+SH2 tras la interacción con hematita.

Tiempo (horas)	Muestra	Concentración Fe (o-EDDHA) (M)		(Conc.) _{media} (M)	Desv. estándar
		1	2		
0	Qs	1'64 10 ⁻⁴	1'65 10 ⁻⁴	1'65 10 ⁻⁴	0'03 10 ⁻⁴
	Qs+SH1	1'59 10 ⁻⁴	1'69 10 ⁻⁴	1'64 10 ⁻⁴	0'06 10 ⁻⁴
	Qs+SH2	1'67 10 ⁻⁴	1'66 10 ⁻⁴	1'67 10 ⁻⁴	0'07 10 ⁻⁴
24	Qs	1'576 10 ⁻⁴	1'565 10 ⁻⁴	1'571 10 ⁻⁴	0'008 10 ⁻⁴
	Qs+SH1	1'506 10 ⁻⁴	1'510 10 ⁻⁴	1'508 10 ⁻⁴	0'003 10 ⁻⁴
	Qs+SH2	1'57 10 ⁻⁴	1'50 10 ⁻⁴	1'53 10 ⁻⁴	0'04 10 ⁻⁴
48	Qs	1'562 10 ⁻⁴	1'551 10 ⁻⁴	1'556 10 ⁻⁴	0'008 10 ⁻⁴
	Qs+SH1	1'58 10 ⁻⁴	1'56 10 ⁻⁴	1'57 10 ⁻⁴	0'01 10 ⁻⁴
	Qs+SH2	1'49 10 ⁻⁴	1'56 10 ⁻⁴	1'53 10 ⁻⁴	0'05 10 ⁻⁴
96	Qs	1'4 10 ⁻⁴	1'6 10 ⁻⁴	1'5 10 ⁻⁴	0'1 10 ⁻⁴
	Qs+SH1	1'50 10 ⁻⁴	1'46 10 ⁻⁴	1'48 10 ⁻⁴	0'03 10 ⁻⁴
	Qs+SH2	1'4727 10 ⁻⁴	1'4718 10 ⁻⁴	1'4723 10 ⁻⁴	0'0006 10 ⁻⁴
168	Qs	1'389 10 ⁻⁴	1'392 10 ⁻⁴	1'390 10 ⁻⁴	0'002 10 ⁻⁴
	Qs+SH1	1'46 10 ⁻⁴	1'36 10 ⁻⁴	1'41 10 ⁻⁴	0'07 10 ⁻⁴
	Qs+SH2	1'40 10 ⁻⁴	1'32 10 ⁻⁴	1'36 10 ⁻⁴	0'06 10 ⁻⁴
360	Qs	1'46 10 ⁻⁴	1'35 10 ⁻⁴	1'40 10 ⁻⁴	0'08 10 ⁻⁴
	Qs+SH1	1'4 10 ⁻⁴	1'3 10 ⁻⁴	1'4 10 ⁻⁴	0'1 10 ⁻⁴
	Qs+SH2	1'412 10 ⁻⁴	1'410 10 ⁻⁴	1'412 10 ⁻⁴	0'002 10 ⁻⁴

Tabla.IX.33. Concentración de Fe en forma de isómero meso y d,l-racémico que permanece en Qs, Qs+SH1 y Qs+SH2 tras la interacción con hematita.

Tiempo (horas)	Muestra	Isómeros	Concentración Fe (o-EDDHA) (M)		(Conc) _{media} (M)	Desv. estándar
			1	2		
0	Qs	Racémico	8'31·10 ⁻⁵	8'39·10 ⁻⁵	8'35·10 ⁻⁵	0'06
		Meso	8'05·10 ⁻⁵	8'17·10 ⁻⁵	8'11·10 ⁻⁵	0'08·10 ⁻⁵
	Qs+SH1	Racémico	8'6·10 ⁻⁵	8'1·10 ⁻⁵	8'4·10 ⁻⁵	0'4·10 ⁻⁵
		Meso	8'0·10 ⁻⁵	8'3·10 ⁻⁵	8'1·10 ⁻⁵	0'2·10 ⁻⁵
	Qs+SH2	Racémico	8'5·10 ⁻⁵	8'2·10 ⁻⁵	8'4·10 ⁻⁵	0'2·10 ⁻⁵
		Meso	8'07·10 ⁻⁵	8'15·10 ⁻⁵	8'11·10 ⁻⁵	0'06·10 ⁻⁵
24	Qs	Racémico	8'4·10 ⁻⁵	8'2·10 ⁻⁵	8'3·10 ⁻⁵	0'1·10 ⁻⁵
		Meso	7'38·10 ⁻⁵	7'44·10 ⁻⁵	7'41·10 ⁻⁵	0'04·10 ⁻⁵
	Qs+SH1	Racémico	7'934·10 ⁻⁵	7'940·10 ⁻⁵	7'937·10 ⁻⁵	0'004·10 ⁻⁵
		Meso	7'127·10 ⁻⁵	7'125·10 ⁻⁵	7'126·10 ⁻⁵	0'001·10 ⁻⁵
	Qs+SH2	Racémico	8'3·10 ⁻⁵	8'1·10 ⁻⁵	8'2·10 ⁻⁵	0'1·10 ⁻⁵
		Meso	7'4·10 ⁻⁵	6'9·10 ⁻⁵	7'1·10 ⁻⁵	0'3·10 ⁻⁵
48	Qs	Racémico	8'59·10 ⁻⁵	8'55·10 ⁻⁵	8'57·10 ⁻⁵	0'03·10 ⁻⁵
		Meso	7'03·10 ⁻⁵	6'96·10 ⁻⁵	7'00·10 ⁻⁵	0'05·10 ⁻⁵
	Qs+SH1	Racémico	8'5·10 ⁻⁵	8'3·10 ⁻⁵	8'4·10 ⁻⁵	0'1·10 ⁻⁵
		Meso	7'29·10 ⁻⁵	7'27·10 ⁻⁵	7'28·10 ⁻⁵	0'02·10 ⁻⁵
	Qs+SH2	Racémico	8'2·10 ⁻⁵	8'6·10 ⁻⁵	8'4·10 ⁻⁵	0'3·10 ⁻⁵
		Meso	6'8·10 ⁻⁵	7'0·10 ⁻⁵	6'9·10 ⁻⁵	0'2·10 ⁻⁵
96	Qs	Racémico	8'34·10 ⁻⁵	8'42·10 ⁻⁵	8'38·10 ⁻⁵	0'06·10 ⁻⁵
		Meso	6·10 ⁻⁵	8·10 ⁻⁵	7·10 ⁻⁵	1·10 ⁻⁵
	Qs+SH1	Racémico	8'12·10 ⁻⁵	8'21·10 ⁻⁵	8'17·10 ⁻⁵	0'06·10 ⁻⁵
		Meso	6'9·10 ⁻⁵	6'4·10 ⁻⁵	6'6·10 ⁻⁵	0'3·10 ⁻⁵
	Qs+SH2	Racémico	8'37·10 ⁻⁵	8'40·10 ⁻⁵	8'39·10 ⁻⁵	0'02·10 ⁻⁵
		Meso	6'36·10 ⁻⁵	6'32·10 ⁻⁵	6'34·10 ⁻⁵	0'03·10 ⁻⁵
168	Qs	Racémico	8'5·10 ⁻⁵	8'3·10 ⁻⁵	8'4·10 ⁻⁵	0'2·10 ⁻⁵
		Meso	5'4·10 ⁻⁵	5'7·10 ⁻⁵	5'5·10 ⁻⁵	0'2·10 ⁻⁵
	Qs+SH1	Racémico	8'7·10 ⁻⁵	8'5·10 ⁻⁵	8'6·10 ⁻⁵	0'1·10 ⁻⁵
		Meso	5'9·10 ⁻⁵	5'1·10 ⁻⁵	5'5·10 ⁻⁵	0'6·10 ⁻⁵
	Qs+SH2	Racémico	8'4·10 ⁻⁵	8'1·10 ⁻⁵	8'3·10 ⁻⁵	0'2·10 ⁻⁵
		Meso	5'6·10 ⁻⁵	5'0·10 ⁻⁵	5'3·10 ⁻⁵	0'4·10 ⁻⁵
360	Qs	Racémico	8'66·10 ⁻⁵	8'57·10 ⁻⁵	8'61·10 ⁻⁵	0'06·10 ⁻⁵
		Meso	5'9·10 ⁻⁵	4'9·10 ⁻⁵	5'4·10 ⁻⁵	0'7·10 ⁻⁵
	Qs+SH1	Racémico	8'50·10 ⁻⁵	8'32·10 ⁻⁵	8'41·10 ⁻⁵	0'1·10 ⁻⁵
		Meso	6'2·10 ⁻⁵	4'9·10 ⁻⁵	5'6·10 ⁻⁵	0'9·10 ⁻⁵
	Qs+SH2	Racémico	8'476·10 ⁻⁵	8'490·10 ⁻⁵	8'476·10 ⁻⁵	0'009·10 ⁻⁵
		Meso	5'6·10 ⁻⁵	5'9·10 ⁻⁵	5'7·10 ⁻⁵	0'2·10 ⁻⁵

Tabla.IX.34. Concentración de Fe que permanece en Qs, SH1, Qs+SH1, SH2, Qs+SH2 y H₂O tras la interacción con hematita.

Tiempo (horas)	Muestra	Concentración Fe (M)			(Conc.) _{media} (M)	Desv. estándar
		1	2	3		
0	Qs	1'649·10 ⁻⁴	1'649·10 ⁻⁴	1'637·10 ⁻⁴	1'645·10 ⁻⁴	0'007·10 ⁻⁴
	SH1	0'000·10 ⁻⁴	0'000·10 ⁻⁴	0'000·10 ⁻⁴	0'000·10 ⁻⁴	0'007·10 ⁻⁴
	Qs+SH1	1'77·10 ⁻⁴	1'74·10 ⁻⁴	1'79·10 ⁻⁴	1'76·10 ⁻⁴	0'03·10 ⁻⁴
	SH2	0'023·10 ⁻⁴	0'021·10 ⁻⁴	0'025·10 ⁻⁴	0'023·10 ⁻⁴	0'003·10 ⁻⁴
	Qs+SH2	1'77·10 ⁻⁴	1'75·10 ⁻⁴	1'77·10 ⁻⁴	1'76·10 ⁻⁴	0'01·10 ⁻⁴
	agua	0'00·10 ⁻⁴	0'00·10 ⁻⁴	0'00·10 ⁻⁴	0'00·10 ⁻⁴	0'00·10 ⁻⁴
24	Qs	1'61·10 ⁻⁴	1'59·10 ⁻⁴	--	1'60·10 ⁻⁴	0'02·10 ⁻⁴
	SH1	0'00·10 ⁻⁴	0'00·10 ⁻⁴	0'00·10 ⁻⁴	0'00·10 ⁻⁴	0'02·10 ⁻⁴
	Qs+SH1	1'6·10 ⁻⁴	1'4·10 ⁻⁴	--	1'5·10 ⁻⁴	0'1·10 ⁻⁴
	SH2	0'00·10 ⁻⁴	0'00·10 ⁻⁴	0'00·10 ⁻⁴	0'00·10 ⁻⁴	0'02·10 ⁻⁴
	Qs+SH2	1'599·10 ⁻⁴	1'587·10 ⁻⁴	--	1'593·10 ⁻⁴	0'009·10 ⁻⁴
	agua	0'00·10 ⁻⁴	0'00·10 ⁻⁴	0'00·10 ⁻⁴	0'00·10 ⁻⁴	0'03·10 ⁻⁴
48	Qc	1'54·10 ⁻⁴	1'59·10 ⁻⁴	--	1'56·10 ⁻⁴	0'04·10 ⁻⁴
	SH1	0'00·10 ⁻⁴	0'00·10 ⁻⁴	0'00·10 ⁻⁴	0'00·10 ⁻⁴	0'01·10 ⁻⁴
	Qs+SH1	1'587·10 ⁻⁴	1'575·10 ⁻⁴	--	1'581·10 ⁻⁴	0'009·10 ⁻⁴
	SH2	0'00·10 ⁻⁴	0'00·10 ⁻⁴	0'00·10 ⁻⁴	0'00·10 ⁻⁴	0'01·10 ⁻⁴
	Qs+SH2	1'62·10 ⁻⁴	1'57·10 ⁻⁴	--	1'60·10 ⁻⁴	0'04·10 ⁻⁴
	agua	0'00·10 ⁻⁴	0'00·10 ⁻⁴	0'00·10 ⁻⁴	0'00·10 ⁻⁴	0'02·10 ⁻⁴
96	Qs	1'525·10 ⁻⁴	1'513·10 ⁻⁴	--	1'519·10 ⁻⁴	0'009·10 ⁻⁴
	SH1	0'00·10 ⁻⁴	0'00·10 ⁻⁴	0'00·10 ⁻⁴	0'00·10 ⁻⁴	0'01·10 ⁻⁴
	Qs+SH1	1'55·10 ⁻⁴	1'41·10 ⁻⁴	--	1'48·10 ⁻⁴	0'09·10 ⁻⁴
	SH2	0'000·10 ⁻⁴	0'000·10 ⁻⁴	0'000·10 ⁻⁴	0'000·10 ⁻⁴	0'007·10 ⁻⁴
	Qs+SH2	1'51·10 ⁻⁴	1'43·10 ⁻⁴	--	1'47·10 ⁻⁴	0'06·10 ⁻⁴
	agua	0'0000·10 ⁻⁴	0'0000·10 ⁻⁴	0'0000·10 ⁻⁴	0'0000·10 ⁻⁴	0'0008·10 ⁻⁴
168	Qs	1'5·10 ⁻⁴	1'3·10 ⁻⁴	--	1'4·10 ⁻⁴	0'1·10 ⁻⁴
	SH1	0'01·10 ⁻⁴	0'00·10 ⁻⁴	0'00·10 ⁻⁴	0'00·10 ⁻⁴	0'01·10 ⁻⁴
	Qs+SH1	1'426·10 ⁻⁴	1'438·10 ⁻⁴	--	1'432·10 ⁻⁴	0'009·10 ⁻⁴
	SH2	0'00·10 ⁻⁴	0'00·10 ⁻⁴	0'00·10 ⁻⁴	0'00·10 ⁻⁴	0'02·10 ⁻⁴
	Qs+SH2	1'38·10 ⁻⁴	1'35·10 ⁻⁴	--	1'36·10 ⁻⁴	0'02·10 ⁻⁴
	agua	0'00·10 ⁻⁴	0'00·10 ⁻⁴	0'00·10 ⁻⁴	0'00·10 ⁻⁴	0'01·10 ⁻⁴
360	Qs	1'414·10 ⁻⁴	1'426·10 ⁻⁴	--	1'420·10 ⁻⁴	0'009·10 ⁻⁴
	SH1	0'000·10 ⁻⁴	0'007·10 ⁻⁴	0'001·10 ⁻⁴	0'003·10 ⁻⁴	0'007·10 ⁻⁴
	Qs+SH1	1'414·10 ⁻⁴	1'401·10 ⁻⁴	--	1'407·10 ⁻⁴	0'009·10 ⁻⁴
	SH2	0'00·10 ⁻⁴	0'00·10 ⁻⁴	0'00·10 ⁻⁴	0'00·10 ⁻⁴	0'03·10 ⁻⁴
	Qs+SH2	1'41·10 ⁻⁴	1'49·10 ⁻⁴	--	1'45·10 ⁻⁴	0'05·10 ⁻⁴
	agua	0'000·10 ⁻⁴	0'000·10 ⁻⁴	0'000·10 ⁻⁴	0'000·10 ⁻⁴	0'007·10 ⁻⁴

Tabla.IX.35. Concentración de Fe (o-EDDHA) que permanece en Qc, Qc+SH1 y Qc+SH2 tras la interacción con hematita.

Tiempo (horas)	Muestra	Concentración Fe (o-EDDHA) (M)		(Conc.) _{media} (M)	Desv. estándar
		1	2		
0	Qc	7'96·10 ⁻⁵	7'87·10 ⁻⁵	7'91·10 ⁻⁵	0'06·10 ⁻⁵
	Qc+SH1	8'3·10 ⁻⁵	7'6·10 ⁻⁵	7'9·10 ⁻⁵	0'5·10 ⁻⁵
	Qc+SH2	8'2·10 ⁻⁵	7'5·10 ⁻⁵	7'9·10 ⁻⁵	0'5·10 ⁻⁵
24	Qc	7'54·10 ⁻⁵	7'50·10 ⁻⁵	7'52·10 ⁻⁵	0'03·10 ⁻⁵
	Qc+SH1	6'9·10 ⁻⁵	7'4·10 ⁻⁵	7'2·10 ⁻⁵	0'3·10 ⁻⁵
	Qc+SH2	7'95·10 ⁻⁵	7'81·10 ⁻⁵	7'88·10 ⁻⁵	0'09·10 ⁻⁵
48	Qc	7'6·10 ⁻⁵	7'4·10 ⁻⁵	7'5·10 ⁻⁵	0'1·10 ⁻⁵
	Qc+SH1	6'8·10 ⁻⁵	7'5·10 ⁻⁵	7'2·10 ⁻⁵	0'5·10 ⁻⁵
	Qc+SH2	7'0·10 ⁻⁵	6'6·10 ⁻⁵	6'8·10 ⁻⁵	0'3·10 ⁻⁵
96	Qc	7'1·10 ⁻⁵	6'5·10 ⁻⁵	6'8·10 ⁻⁵	0'5·10 ⁻⁵
	Qc+SH1	5'7·10 ⁻⁵	6'6·10 ⁻⁵	6'2·10 ⁻⁵	0'6·10 ⁻⁵
	Qc+SH2	6·10 ⁻⁵	7·10 ⁻⁵	6·10 ⁻⁵	1·10 ⁻⁵
168	Qc	6'3·10 ⁻⁵	5'9·10 ⁻⁵	6'1·10 ⁻⁵	0'3·10 ⁻⁵
	Qc+SH1	5'8·10 ⁻⁵	6'4·10 ⁻⁵	6'1·10 ⁻⁵	0'4·10 ⁻⁵
	Qc+SH2	5'53·10 ⁻⁵	5'57·10 ⁻⁵	5'55·10 ⁻⁵	0'03·10 ⁻⁵
360	Qc	5'4·10 ⁻⁵	5'3·10 ⁻⁵	5'4·10 ⁻⁵	0'1·10 ⁻⁵
	Qc+SH1	5'5·10 ⁻⁵	6'0·10 ⁻⁵	5'7·10 ⁻⁵	0'4·10 ⁻⁵
	Qc+SH2	5'0·10 ⁻⁵	4'7·10 ⁻⁵	4'8·10 ⁻⁵	0'2·10 ⁻⁵

Tabla.IX.36. Concentración de Fe en forma de isómero meso y d,l-racémico que permanece en Qc, Qc+SH1 y Qc+SH2 tras la interacción con hematita.

Tiempo (horas)	Muestra	Isómeros	Concentración Fe (o-EDDHA) (M)		(Conc) _{media} (M)	Desv. estándar
			1	2		
0	Qc	Racémico	4'04·10 ⁻⁵	4'00·10 ⁻⁵	4'02·10 ⁻⁵	0'03·10 ⁻⁵
		Meso	3'91·10 ⁻⁵	3'87·10 ⁻⁵	3'80·10 ⁻⁵	0'03·10 ⁻⁵
	Qc+SH1	Racémico	4'3·10 ⁻⁵	3'9·10 ⁻⁵	4'1·10 ⁻⁵	0'3·10 ⁻⁵
		Meso	4'0·10 ⁻⁵	3'6·10 ⁻⁵	3'8·10 ⁻⁵	0'3·10 ⁻⁵
	Qc+SH2	Racémico	4'2·10 ⁻⁵	3'8·10 ⁻⁵	4'0·10 ⁻⁵	0'03·10 ⁻⁵
		Meso	3'9·10 ⁻⁵	3'8·10 ⁻⁵	3'8·10 ⁻⁵	0'1·10 ⁻⁵
24	Qc	Racémico	4'11·10 ⁻⁵	4'09·10 ⁻⁵	4'10·10 ⁻⁵	0'02·10 ⁻⁵
		Meso	3'43·10 ⁻⁵	3'41·10 ⁻⁵	3'42·10 ⁻⁵	0'01·10 ⁻⁵
	Qc+SH1	Racémico	3'7·10 ⁻⁵	3'9·10 ⁻⁵	3'8·10 ⁻⁵	0'2·10 ⁻⁵
		Meso	3'2·10 ⁻⁵	3'5·10 ⁻⁵	3'4·10 ⁻⁵	0'2·10 ⁻⁵
	Qc+SH2	Racémico	4'13·10 ⁻⁵	4'10·10 ⁻⁵	4'12·10 ⁻⁵	0'02·10 ⁻⁵
		Meso	3'81·10 ⁻⁵	3'71·10 ⁻⁵	3'76·10 ⁻⁵	0'07·10 ⁻⁵
48	Qc	Racémico	3'81·10 ⁻⁵	3'89·10 ⁻⁵	3'85·10 ⁻⁵	0'06·10 ⁻⁵
		Meso	3'8·10 ⁻⁵	3'5·10 ⁻⁵	3'7·10 ⁻⁵	0'2·10 ⁻⁵
	Qc+SH1	Racémico	3'7·10 ⁻⁵	4'1·10 ⁻⁵	3'9·10 ⁻⁵	0'3·10 ⁻⁵
		Meso	3'1·10 ⁻⁵	3'4·10 ⁻⁵	3'3·10 ⁻⁵	0'2·10 ⁻⁵
	Qc+SH2	Racémico	4'0·10 ⁻⁵	3'8·10 ⁻⁵	3'9·10 ⁻⁵	0'2·10 ⁻⁵
		Meso	3'0·10 ⁻⁵	2'8·10 ⁻⁵	2'9·10 ⁻⁵	0'1·10 ⁻⁵
96	Qc	Racémico	4'2·10 ⁻⁵	3'8·10 ⁻⁵	4'0·10 ⁻⁵	0'3·10 ⁻⁵
		Meso	2'9·10 ⁻⁵	2'7·10 ⁻⁵	2'8·10 ⁻⁵	0'2·10 ⁻⁵
	Qc+SH1	Racémico	3'8·10 ⁻⁵	4'1·10 ⁻⁵	4'0·10 ⁻⁵	0'2·10 ⁻⁵
		Meso	1'9·10 ⁻⁵	2'6·10 ⁻⁵	2'3·10 ⁻⁵	0'5·10 ⁻⁵
	Qc+SH2	Racémico	3'4·10 ⁻⁵	4'4·10 ⁻⁵	3'9·10 ⁻⁵	0'7·10 ⁻⁵
		Meso	2'2·10 ⁻⁵	2'9·10 ⁻⁵	2'6·10 ⁻⁵	0'4·10 ⁻⁵
168	Qc	Racémico	4'0·10 ⁻⁵	3'7·10 ⁻⁵	3'8·10 ⁻⁵	0'2·10 ⁻⁵
		Meso	2'4·10 ⁻⁵	2'2·10 ⁻⁵	2'3·10 ⁻⁵	0'1·10 ⁻⁵
	Qc+SH1	Racémico	3'8·10 ⁻⁵	4'2·10 ⁻⁵	4'0·10 ⁻⁵	0'3·10 ⁻⁵
		Meso	2'0·10 ⁻⁵	2'2·10 ⁻⁵	2'1·10 ⁻⁵	0'1·10 ⁻⁵
	Qc+SH2	Racémico	3'99·10 ⁻⁵	4'02·10 ⁻⁵	4'00·10 ⁻⁵	0'02·10 ⁻⁵
		Meso	1'542·10 ⁻⁵	1'554·10 ⁻⁵	1'548·10 ⁻⁵	0'008·10 ⁻⁵
360	Qc	Racémico	3'95·10 ⁻⁵	3'84·10 ⁻⁵	3'89·10 ⁻⁵	0'08·10 ⁻⁵
		Meso	1'49·10 ⁻⁵	1'45·10 ⁻⁵	1'47·10 ⁻⁵	0'03·10 ⁻⁵
	Qc+SH1	Racémico	3'8·10 ⁻⁵	4'2·10 ⁻⁵	4'0·10 ⁻⁵	0'3·10 ⁻⁵
		Meso	1'7·10 ⁻⁵	1'8·10 ⁻⁵	1'7·10 ⁻⁵	0'1·10 ⁻⁵
	Qc+SH2	Racémico	3'8·10 ⁻⁵	4'0·10 ⁻⁵	3'9·10 ⁻⁵	0'2·10 ⁻⁵
		Meso	0'96·10 ⁻⁵	0'91·10 ⁻⁵	0'93·10 ⁻⁵	0'04·10 ⁻⁵

Tabla.IX.37. Concentración de Fe que permanece en Qc, SH1, Qc+SH1, SH2, Qc+SH2 y H₂O tras la interacción con hematita.

Tiempo (horas)	Muestra	Concentración Fe (M)			(Conc.) _{media} (M)	Desv. estándar
		1	2	3		
0	Qc	1'62·10 ⁻⁴	1'59·10 ⁻⁴	1'61·10 ⁻⁴	1'60·10 ⁻⁴	0'01·10 ⁻⁴
	SH1	0'000·10 ⁻⁴	0'000·10 ⁻⁴	0'000·10 ⁻⁴	0'000·10 ⁻⁴	0'007·10 ⁻⁴
	Qc+SH1	1'71·10 ⁻⁴	1'64·10 ⁻⁴	1'62·10 ⁻⁴	1'66·10 ⁻⁴	0'01·10 ⁻⁴
	SH2	0'023·10 ⁻⁴	0'021·10 ⁻⁴	0'025·10 ⁻⁴	0'023·10 ⁻⁴	0'003·10 ⁻⁴
	Qc+SH2	1'67·10 ⁻⁴	1'73·10 ⁻⁴	1'69·10 ⁻⁴	1'70·10 ⁻⁴	0'03·10 ⁻⁴
	agua	0'00	0'00	0'00	0'00	0'00
24	Qc	0'94·10 ⁻⁴	0'97·10 ⁻⁴	0'94·10 ⁻⁴	0'95·10 ⁻⁴	0'01·10 ⁻⁴
	SH1	0'00·10 ⁻⁴	0'00·10 ⁻⁴	0'00·10 ⁻⁴	0'00·10 ⁻⁴	0'02·10 ⁻⁴
	Qc+SH1	0'93·10 ⁻⁴	0'98·10 ⁻⁴	0'99·10 ⁻⁴	0'97·10 ⁻⁴	0'03·10 ⁻⁴
	SH2	0'00·10 ⁻⁴	0'00·10 ⁻⁴	0'00·10 ⁻⁴	0'00·10 ⁻⁴	0'02·10 ⁻⁴
	Qc+SH2	1'107·10 ⁻⁴	1'094·10 ⁻⁴	1'094·10 ⁻⁴	1'099·10 ⁻⁴	0'007·10 ⁻⁴
	agua	0'00·10 ⁻⁴	0'00·10 ⁻⁴	0'00·10 ⁻⁴	0'00·10 ⁻⁴	0'03·10 ⁻⁴
48	Qc	0'89·10 ⁻⁴	0'90·10 ⁻⁴	0'94·10 ⁻⁴	0'91·10 ⁻⁴	0'03·10 ⁻⁴
	SH1	0'00·10 ⁻⁴	0'00·10 ⁻⁴	0'00·10 ⁻⁴	0'00·10 ⁻⁴	0'01·10 ⁻⁴
	Qc+SH1	0'93·10 ⁻⁴	0'98·10 ⁻⁴	0'99·10 ⁻⁴	0'97·10 ⁻⁴	0'03·10 ⁻⁴
	SH2	0'00·10 ⁻⁴	0'00·10 ⁻⁴	0'00·10 ⁻⁴	0'00·10 ⁻⁴	0'01·10 ⁻⁴
	Qc+SH2	0'98·10 ⁻⁴	1'07·10 ⁻⁴	0'95·10 ⁻⁴	1'00·10 ⁻⁴	0'06·10 ⁻⁴
	agua	0'00·10 ⁻⁴	0'00·10 ⁻⁴	0'00·10 ⁻⁴	0'00·10 ⁻⁴	0'02·10 ⁻⁴
96	Qc	0'86·10 ⁻⁴	0'89·10 ⁻⁴	0'98·10 ⁻⁴	0'97·10 ⁻⁴	0'07·10 ⁻⁴
	SH1	0'00·10 ⁻⁴	0'00·10 ⁻⁴	0'00·10 ⁻⁴	0'00·10 ⁻⁴	0'01·10 ⁻⁴
	Qc+SH1	0'89·10 ⁻⁴	0'83·10 ⁻⁴	0'81·10 ⁻⁴	0'84·10 ⁻⁴	0'04·10 ⁻⁴
	SH2	0'000·10 ⁻⁴	0'000·10 ⁻⁴	0'000·10 ⁻⁴	0'000·10 ⁻⁴	0'007·10 ⁻⁴
	Qc+SH2	1'03·10 ⁻⁴	0'89·10 ⁻⁴	0'98·10 ⁻⁴	0'97·10 ⁻⁴	0'07·10 ⁻⁴
	agua	0'0000·10 ⁻⁴	0'0000·10 ⁻⁴	0'0000·10 ⁻⁴	0'0000·10 ⁻⁴	0'0008·10 ⁻⁴
168	Qc	0'778·10 ⁻⁴	0'763·10 ⁻⁴	0'775·10 ⁻⁴	0'771·10 ⁻⁴	0'007·10 ⁻⁴
	SH1	0'01·10 ⁻⁴	0'00·10 ⁻⁴	0'00·10 ⁻⁴	0'00·10 ⁻⁴	0'01·10 ⁻⁴
	Qc+SH1	0'89·10 ⁻⁴	0'83·10 ⁻⁴	0'81·10 ⁻⁴	0'84·10 ⁻⁴	0'04·10 ⁻⁴
	SH2	0'00·10 ⁻⁴	0'00·10 ⁻⁴	0'00·10 ⁻⁴	0'00·10 ⁻⁴	0'02·10 ⁻⁴
	Qc+SH2	0'83·10 ⁻⁴	0'89·10 ⁻⁴	0'81·10 ⁻⁴	0'84·10 ⁻⁴	0'04·10 ⁻⁴
	agua	0'00·10 ⁻⁴	0'00·10 ⁻⁴	0'00·10 ⁻⁴	0'00·10 ⁻⁴	0'01·10 ⁻⁴
360	Qc	0'70·10 ⁻⁴	0'66·10 ⁻⁴	0'69·10 ⁻⁴	0'68·10 ⁻⁴	0'02·10 ⁻⁴
	SH1	0'000·10 ⁻⁴	0'007·10 ⁻⁴	0'001·10 ⁻⁴	0'003·10 ⁻⁴	0'007·10 ⁻⁴
	Qc+SH1	0'74·10 ⁻⁴	0'75·10 ⁻⁴	0'78·10 ⁻⁴	0'75·10 ⁻⁴	0'02·10 ⁻⁴
	SH2	0'00·10 ⁻⁴	0'00·10 ⁻⁴	0'00·10 ⁻⁴	0'00·10 ⁻⁴	0'03·10 ⁻⁴
	Qc+SH2	0'78·10 ⁻⁴	0'75·10 ⁻⁴	0'79·10 ⁻⁴	0'77·10 ⁻⁴	0'02·10 ⁻⁴
	agua	0'000·10 ⁻⁴	0'000·10 ⁻⁴	0'000·10 ⁻⁴	0'000·10 ⁻⁴	0'007·10 ⁻⁴

Tabla.IX.38. Concentración de Fe (o-EDDHA) que permanece en Qs, Qs+SH1 y Qs+SH2 tras la interacción con óxido de Cu.

Tiempo (horas)	Muestra	Concentración Fe (o-EDDHA) (M)			Conc. media (M)	Desv. estándar
		1	2	3		
0	Qs	1'680·10 ⁻⁴	1'680·10 ⁻⁴	1'668·10 ⁻⁴	1'676·10 ⁻⁴	0'007
	Qs+SH1	1'70·10 ⁻⁴	1'67·10 ⁻⁴	1'75·10 ⁻⁴	1'71·10 ⁻⁴	0'04·10 ⁻⁴
	Qs+SH2	1'70·10 ⁻⁴	1'71·10 ⁻⁴	1'67·10 ⁻⁴	1'70·10 ⁻⁴	0'02·10 ⁻⁴
24	Qs	1'02·10 ⁻⁴	1'01·10 ⁻⁴	0'99·10 ⁻⁴	1'01·10 ⁻⁴	0'02·10 ⁻⁴
	Qs+SH1	0'98·10 ⁻⁴	0'96·10 ⁻⁴	--	0'97·10 ⁻⁴	0'01·10 ⁻⁴
	Qs+SH2	1'02·10 ⁻⁴	1'06·10 ⁻⁴	--	1'04·10 ⁻⁴	0'03·10 ⁻⁴
48	Qs	0'92·10 ⁻⁴	0'91·10 ⁻⁴	0'87·10 ⁻⁴	0'90·10 ⁻⁴	0'03·10 ⁻⁴
	Qs+SH1	0'83·10 ⁻⁴	0'85·10 ⁻⁴	--	0'84·10 ⁻⁴	0'01·10 ⁻⁴
	Qs+SH2	0'87·10 ⁻⁴	0'92·10 ⁻⁴	--	0'89·10 ⁻⁴	0'03·10 ⁻⁴
96	Qs	0'81·10 ⁻⁴	0'83·10 ⁻⁴	0'83·10 ⁻⁴	0'82·10 ⁻⁴	0'01·10 ⁻⁴
	Qs+SH1	0'819·10 ⁻⁴	0'829·10 ⁻⁴	--	0'824·10 ⁻⁴	0'007·10 ⁻⁴
	Qs+SH2	0'85·10 ⁻⁴	0'93·10 ⁻⁴	--	0'89·10 ⁻⁴	0'06·10 ⁻⁴
168	Qs	0'74·10 ⁻⁴	0'75·10 ⁻⁴	0'72·10 ⁻⁴	0'74·10 ⁻⁴	0'01·10 ⁻⁴
	Qs+SH1	0'72·10 ⁻⁴	0'71·10 ⁻⁴	--	0'72·10 ⁻⁴	0'01·10 ⁻⁴
	Qs+SH2	0'76·10 ⁻⁴	0'78·10 ⁻⁴	--	0'77·10 ⁻⁴	0'02·10 ⁻⁴
360	Qs	0'685·10 ⁻⁴	0'682·10 ⁻⁴	0'682	0'680·10 ⁻⁴	0'007·10 ⁻⁴
	Qs+SH1	0'739·10 ⁻⁴	0'729·10 ⁻⁴	--	0'734·10 ⁻⁴	0'007·10 ⁻⁴
	Qs+SH2	0'715·10 ⁻⁴	0'717·10 ⁻⁴	--	0'716·10 ⁻⁴	0'005·10 ⁻⁴

Tabla.IX.39. Concentración de Fe en forma de isómero meso y d,l-racémico que permanece en Qs, Qs+SH1 y Qs+SH2 tras la interacción con óxido de Cu.

Tiempo (horas)	Muestra	Isómeros	Concentración Fe (o-EDDHA) (M) x10 ⁵			(Conc) _{media} (M) x10 ⁵	Desv. Estándar X10 ⁵
			1	2	3		
0	Qs	Racémico	8'46	8'48	8'50	8'48	0'02
		Meso	8'35	8'35	8'17	8'28	0'09
	Qs+SH1	Racémico	8'4	8'5	9'4	8'7	0'1
		Meso	8'7	8'2	8'1	8'3	0'3
	Qs+SH2	Racémico	8'59	8'69	8'61	8'63	0'05
		Meso	8'5	8'4	8'1	8'3	0'2
24	Qs	Racémico	8'7	8'4	8'4	8'5	0'2
		Meso	1'6	1'7	1'5	1'6	0'1
	Qs+SH1	Racémico	8'2	8'0	--	8'1	0'1
		Meso	1'57	1'54	--	1'56	0'02
	Qs+SH2	Racémico	8'1	8'3	--	8'1	0'1
		Meso	2'1	2'4	--	2'3	0'2
48	Qs	Racémico	8'3	8'3	7'9	8'2	0'2
		Meso	0'9	0'7	0'7	0'8	0'1
	Qs+SH1	Racémico	7'59	7'71	--	7'65	0'08
		Meso	0'76	0'77	--	0'76	0'01
	Qs+SH2	Racémico	7'6	7'8	--	7'7	0'2
		Meso	1'2	1'4	--	1'3	0'1
96	Qs	Racémico	7'8	8'0	8'0	7'9	0'1
		Meso	0'32	0'28	0'29	0'30	0'02
	Qs+SH1	Racémico	7'92	8'02	--	7'97	0'07
		Meso	0'268	0'274	--	0'271	0'004
	Qs+SH2	Racémico	8'2	8'9	--	8'5	0'5
		Meso	0'40	0'43	--	0'42	0'02
168	Qs	Racémico	7'4	7'5	7'2	7'4	0'1
		Meso	0'0	0'0	0'0	0'0	0'0
	Qs+SH1	Racémico	7'2	7'1	--	7'2	0'1
		Meso	0'0	0'0	--	0'0	0'0
	Qs+SH2	Racémico	7'6	7'8	--	7'7	0'2
		Meso	0'0	0'0	--	0'0	0'0
360	Qs	Racémico	6'85	6'82	6'72	6'80	0'07
		Meso	0'0	0'0	0'0	0'0	0'0
	Qs+SH1	Racémico	7'39	7'29	--	7'34	0'07
		Meso	0'0	0'0	--	0'0	0'0
	Qs+SH2	Racémico	7'15	7'17	--	7'16	0'05
		Meso	0'0	0'0	--	0'0	0'0

Tabla.IX.40. Concentración de Fe total que permanece en Qs, Qs+SH1 y Qs+SH2 tras la interacción con óxido de Cu.

Tiempo (horas)	Muestra	Concentración Fe (M)			(Conc.) _{media} (M)	Desv. estándar
		1	2	3		
0	Qs	1'75·10 ⁻⁴	1'82·10 ⁻⁴	1'86·10 ⁻⁴	1'81·10 ⁻⁴	0'05·10 ⁻⁴
	Qs+SH1	1'7·10 ⁻⁴	1'9·10 ⁻⁴	1'7·10 ⁻⁴	1'8·10 ⁻⁴	0'2·10 ⁻⁴
	Qs+SH2	1'78·10 ⁻⁴	1'78·10 ⁻⁴	1'70·10 ⁻⁴	1'75·10 ⁻⁴	0'05·10 ⁻⁴
24	Qs	1'11·10 ⁻⁴	1'09·10 ⁻⁴	1'09·10 ⁻⁴	1'09·10 ⁻⁴	0'01·10 ⁻⁴
	Qs+SH1	1'07·10 ⁻⁴	1'06·10 ⁻⁴	1'01·10 ⁻⁴	1'04·10 ⁻⁴	0'03·10 ⁻⁴
	Qs+SH2	1'13·10 ⁻⁴	1'11·10 ⁻⁴	1'11·10 ⁻⁴	1'12·10 ⁻⁴	0'01·10 ⁻⁴
48	Qs	0'98·10 ⁻⁴	0'98·10 ⁻⁴	1'00·10 ⁻⁴	0'98·10 ⁻⁴	0'01·10 ⁻⁴
	Qs+SH1	0'92·10 ⁻⁴	0'91·10 ⁻⁴	0'90·10 ⁻⁴	0'91·10 ⁻⁴	0'01·10 ⁻⁴
	Qs+SH2	1'15·10 ⁻⁴	1'03·10 ⁻⁴	1'05·10 ⁻⁴	1'08·10 ⁻⁴	0'06·10 ⁻⁴
96	Qs	0'91·10 ⁻⁴	0'93·10 ⁻⁴	0'95·10 ⁻⁴	0'93·10 ⁻⁴	0'02·10 ⁻⁴
	Qs+SH1	0'96·10 ⁻⁴	0'98·10 ⁻⁴	0'97·10 ⁻⁴	0'97·10 ⁻⁴	0'01·10 ⁻⁴
	Qs+SH2	0'83·10 ⁻⁴	0'83·10 ⁻⁴	0'81·10 ⁻⁴	0'82·10 ⁻⁴	0'02·10 ⁻⁴
168	Qs	0'82·10 ⁻⁴	0'84·10 ⁻⁴	0'81·10 ⁻⁴	0'82·10 ⁻⁴	0'02·10 ⁻⁴
	Qs+SH1	0'79·10 ⁻⁴	0'83·10 ⁻⁴	0'80·10 ⁻⁴	0'81·10 ⁻⁴	0'02·10 ⁻⁴
	Qs+SH2	0'75·10 ⁻⁴	0'79·10 ⁻⁴	0'77·10 ⁻⁴	0'77·10 ⁻⁴	0'02·10 ⁻⁴
360	Qs	0'77·10 ⁻⁴	0'81·10 ⁻⁴	0'78·10 ⁻⁴	0'79·10 ⁻⁴	0'02·10 ⁻⁴
	Qs+SH1	0'76·10 ⁻⁴	0'78·10 ⁻⁴	0'77·10 ⁻⁴	0'77·10 ⁻⁴	0'01·10 ⁻⁴
	Qs+SH2	0'75·10 ⁻⁴	0'73·10 ⁻⁴	0'73·10 ⁻⁴	0'74·10 ⁻⁴	0'01·10 ⁻⁴

Tabla.IX.41. Concentración de Cu total solubilizada por Qs, SH1, Qs+SH1, SH2, Qs+SH2 y H₂O tras la interacción con óxido de Cu.

Tiempo (horas)	Muestra	Concentración Cu (M)			(Conc.) _{media} (M)	Desv. estándar
		1	2	3		
0	Qs	0'0	0'0	0'0	0'0	0'0
	SH1	0'0	0'0	0'0	0'0	0'0
	Qs+SH1	0'0	0'0	0'0	0'0	0'0
	SH2	0'0	0'0	0'0	0'0	0'0
	Qs+SH2	0'0	0'0	0'0	0'0	0'0
	agua	0'0	0'0	0'0	0'0	0'0
24	Qs	1'37·10 ⁻⁵	1'70·10 ⁻⁵	1'50·10 ⁻⁵	1'42·10 ⁻⁵	0'07·10 ⁻⁵
	SH1	0'94·10 ⁻⁵	0'95·10 ⁻⁵	0'93·10 ⁻⁵	0'94·10 ⁻⁵	0'01·10 ⁻⁵
	Qs+SH1	1'1·10 ⁻⁵	1'4·10 ⁻⁵	1'3·10 ⁻⁵	1'3·10 ⁻⁵	0'1·10 ⁻⁵
	SH2	1'14·10 ⁻⁵	1'14·10 ⁻⁵	1'02·10 ⁻⁵	1'10·10 ⁻⁵	0'07
	Qs+SH2	1'40·10 ⁻⁵	1'40·10 ⁻⁵	1'47·10 ⁻⁵	1'42·10 ⁻⁵	0'04·10 ⁻⁵
	agua	0'19·10 ⁻⁵	0'15·10 ⁻⁵	0'15·10 ⁻⁵	0'16·10 ⁻⁵	0'02·10 ⁻⁵
48	Qs	2'0·10 ⁻⁵	1'1·10 ⁻⁵	1'6·10 ⁻⁵	1'6·10 ⁻⁵	0'5·10 ⁻⁵
	SH1	0'57·10 ⁻⁵	0'67·10 ⁻⁵	0'65·10 ⁻⁵	0'63·10 ⁻⁵	0'05·10 ⁻⁵
	Qs+SH1	1'7·10 ⁻⁵	1'8·10 ⁻⁵	1'7·10 ⁻⁵	1'7·10 ⁻⁵	0'1·10 ⁻⁵
	SH2	1'1·10 ⁻⁵	0'9·10 ⁻⁵	0'9·10 ⁻⁵	0'9·10 ⁻⁵	0'1·10 ⁻⁵
	Qs+SH2	2'3·10 ⁻⁵	2'2·10 ⁻⁵	1'7·10 ⁻⁵	2'0·10 ⁻⁵	0'3·10 ⁻⁵
	agua	0'63·10 ⁻⁵	0'55·10 ⁻⁵	0'71·10 ⁻⁵	0'63·10 ⁻⁵	0'08·10 ⁻⁵
96	Qs	2'41·10 ⁻⁵	2'59·10 ⁻⁵	2'57·10 ⁻⁵	2'52·10 ⁻⁵	0'09·10 ⁻⁵
	SH1	0'8·10 ⁻⁵	0'5·10 ⁻⁵	0'6·10 ⁻⁵	0'6·10 ⁻⁵	0'1·10 ⁻⁵
	Qs+SH1	1'8·10 ⁻⁵	1'9·10 ⁻⁵	2'0·10 ⁻⁵	1'9·10 ⁻⁵	0'1·10 ⁻⁵
	SH2	0'71·10 ⁻⁵	0'53·10 ⁻⁵	0'66·10 ⁻⁵	0'63·10 ⁻⁵	0'09·10 ⁻⁵
	Qs+SH2	2'0·10 ⁻⁵	2'8·10 ⁻⁵	2'2·10 ⁻⁵	2'4·10 ⁻⁵	0'4·10 ⁻⁵
	agua	0'59·10 ⁻⁵	0'61·10 ⁻⁵	0'69·10 ⁻⁵	0'63·10 ⁻⁵	0'05·10 ⁻⁵
168	Qs	2'9·10 ⁻⁵	3'0·10 ⁻⁵	3'1·10 ⁻⁵	3'0·10 ⁻⁵	0'1·10 ⁻⁵
	SH1	0'59·10 ⁻⁵	0'71·10 ⁻⁵	0'59·10 ⁻⁵	0'63·10 ⁻⁵	0'07·10 ⁻⁵
	Qs+SH1	2'52·10 ⁻⁵	2'50·10 ⁻⁵	2'52·10 ⁻⁵	2'52·10 ⁻⁵	0'01·10 ⁻⁵
	SH2	0'6·10 ⁻⁵	0'6·10 ⁻⁵	0'3·10 ⁻⁵	0'5·10 ⁻⁵	0'2·10 ⁻⁵
	Qs+SH2	3'40·10 ⁻⁵	3'28·10 ⁻⁵	3'23·10 ⁻⁵	3'3·10 ⁻⁵	0'09·10 ⁻⁵
	agua	0'61·10 ⁻⁵	0'61·10 ⁻⁵	0'67·10 ⁻⁵	0'63·10 ⁻⁵	0'03·10 ⁻⁵
360	Qs	3'4·10 ⁻⁵	3'5·10 ⁻⁵	3'3·10 ⁻⁵	3'4·10 ⁻⁵	0'1·10 ⁻⁵
	SH1	0'55·10 ⁻⁵	0'67·10 ⁻⁵	0'67·10 ⁻⁵	0'63·10 ⁻⁵	0'07·10 ⁻⁵
	Qs+SH1	3'25·10 ⁻⁵	3'17·10 ⁻⁵	3'35·10 ⁻⁵	3'25·10 ⁻⁵	0'09·10 ⁻⁵
	SH2	0'56·10 ⁻⁵	0'71·10 ⁻⁵	0'61·10 ⁻⁵	0'63·10 ⁻⁵	0'08·10 ⁻⁵
	Qs+SH2	3'5·10 ⁻⁵	3'7·10 ⁻⁵	3'5·10 ⁻⁵	3'6·10 ⁻⁵	0'2·10 ⁻⁵
	agua	0'81·10 ⁻⁵	0'75·10 ⁻⁵	0'81·10 ⁻⁵	0'79·10 ⁻⁵	0'03·10 ⁻⁵

Tabla.IX.42. Concentración de Fe (o-EDDHA) que permanece en Qc, Qc+SH1 y Qc+SH2 tras la interacción con óxido de Cu.

Tiempo (horas)	Muestra	Concentración Fe (o-EDDHA) (M)		(Conc) _{media} (M)	Desv. estándar
		1	2		
0	Qc	8'8·10 ⁻⁵	8'2·10 ⁻⁵	8'4·10 ⁻⁵	0'4·10 ⁻⁵
	Qc+SH1	7'9·10 ⁻⁵	8'7·10 ⁻⁵	8'4·10 ⁻⁵	0'610 ⁻⁵
	Qc+SH2	7'8·10 ⁻⁵	6'9·10 ⁻⁵	7'3·10 ⁻⁵	0'6·10 ⁻⁵
24	Qc	4'1·10 ⁻⁵	4'4·10 ⁻⁵	4'3·10 ⁻⁵	0'2·10 ⁻⁵
	Qc+SH1	4'29·10 ⁻⁵	4'25·10 ⁻⁵	4'27·10 ⁻⁵	0'03·10 ⁻⁵
	Qc+SH2	3'8·10 ⁻⁵	4'1·10 ⁻⁵	3'9·10 ⁻⁵	0'2·10 ⁻⁵
48	Qc	4'2·10 ⁻⁵	4'0·10 ⁻⁵	4'1·10 ⁻⁵	0'2·10 ⁻⁵
	Qc+SH1	3'91·10 ⁻⁵	3'97·10 ⁻⁵	3'94·10 ⁻⁵	0'04·10 ⁻⁵
	Qc+SH2	3'6·10 ⁻⁵	3'9·10 ⁻⁵	3'8·10 ⁻⁵	0'2·10 ⁻⁵
96	Qc	3'57·10 ⁻⁵	3'59·10 ⁻⁵	3'58·10 ⁻⁵	0'02·10 ⁻⁵
	Qc+SH1	3'6·10 ⁻⁵	4'3·10 ⁻⁵	3'9·10 ⁻⁵	0'5·10 ⁻⁵
	Qc+SH2	3'57·10 ⁻⁵	3'59·10 ⁻⁵	3'58·10 ⁻⁵	0'01·10 ⁻⁵
168	Qc	3'939·10 ⁻⁵	3'938·10 ⁻⁵	3'939·10 ⁻⁵	0'001·10 ⁻⁵
	Qc+SH1	3'939·10 ⁻⁵	3'941·10 ⁻⁵	3'940·10 ⁻⁵	0'001·10 ⁻⁵
	Qc+SH2	3'53·10 ⁻⁵	3'63·10 ⁻⁵	3'58·10 ⁻⁵	0'07·10 ⁻⁵
360	Qc	3'78·10 ⁻⁵	3'76·10 ⁻⁵	3'77·10 ⁻⁵	0'02·10 ⁻⁵
	Qc+SH1	3'760·10 ⁻⁵	3'752·10 ⁻⁵	3'756·10 ⁻⁵	0'006·10 ⁻⁵
	Qc+SH2	3'7·10 ⁻⁵	3'1·10 ⁻⁵	3'4·10 ⁻⁵	0'4·10 ⁻⁵

Tabla.IX.43. Concentración de Fe en forma de isómero meso y d,l-racémico que permanece en Qc, Qc+SH1 y Qc+SH2 tras la interacción con óxido de Cu.

Tiempo (horas)	Muestra	Isómeros	Concentración Fe (o-EDDHA) (M)		(Conc) _{media} (M)	Desv. estándar
			1	2		
0	Qc	Racémico	4'9·10 ⁻⁵	4'1·10 ⁻⁵	4'5·10 ⁻⁵	0'5·10 ⁻⁵
		Meso	3'90·10 ⁻⁵	4'02·10 ⁻⁵	3'96·10 ⁻⁵	0'09·10 ⁻⁵
	Qc+SH1	Racémico	4'2·10 ⁻⁵	5'0·10 ⁻⁵	4'6·10 ⁻⁵	0'5·10 ⁻⁵
		Meso	3'767·10 ⁻⁵	3'777·10 ⁻⁵	3'772·10 ⁻⁵	0'007·10 ⁻⁵
	Qc+SH2	Racémico	4'3·10 ⁻⁵	3'6·10 ⁻⁵	4'0·10 ⁻⁵	0'5·10 ⁻⁵
		Meso	3'43·10 ⁻⁵	3'30·10 ⁻⁵	3'36·10 ⁻⁵	0'09·10 ⁻⁵
24	Qc	Racémico	4'1·10 ⁻⁵	4'4·10 ⁻⁵	4'3·10 ⁻⁵	0'2·10 ⁻⁵
		Meso	0'0·10 ⁻⁵	0'0·10 ⁻⁵	0'0·10 ⁻⁵	0'0·10 ⁻⁵
	Qc+SH1	Racémico	4'29·10 ⁻⁵	4'25·10 ⁻⁵	4'27·10 ⁻⁵	0'03·10 ⁻⁵
		Meso	0'0·10 ⁻⁵	0'0·10 ⁻⁵	0'0·10 ⁻⁵	0'0·10 ⁻⁵
	Qc+SH2	Racémico	3'8·10 ⁻⁵	4'1·10 ⁻⁵	3'9·10 ⁻⁵	0'2·10 ⁻⁵
		Meso	0'0·10 ⁻⁵	0'0·10 ⁻⁵	0'0·10 ⁻⁵	0'0·10 ⁻⁵
48	Qc	Racémico	4'2·10 ⁻⁵	4'0·10 ⁻⁵	4'1·10 ⁻⁵	0'2·10 ⁻⁵
		Meso	0'0·10 ⁻⁵	0'0·10 ⁻⁵	0'0·10 ⁻⁵	0'0·10 ⁻⁵
	Qc+SH1	Racémico	3'91·10 ⁻⁵	3'97·10 ⁻⁵	3'94·10 ⁻⁵	0'04·10 ⁻⁵
		Meso	0'0·10 ⁻⁵	0'0·10 ⁻⁵	0'0·10 ⁻⁵	0'0·10 ⁻⁵
	Qc+SH2	Racémico	3'6·10 ⁻⁵	3'9·10 ⁻⁵	3'8·10 ⁻⁵	0'2·10 ⁻⁵
		Meso	0'0·10 ⁻⁵	0'0·10 ⁻⁵	0'0·10 ⁻⁵	0'0·10 ⁻⁵
96	Qc	Racémico	3'57·10 ⁻⁵	3'59·10 ⁻⁵	3'58·10 ⁻⁵	0'02·10 ⁻⁵
		Meso	0'0·10 ⁻⁵	0'0·10 ⁻⁵	0'0·10 ⁻⁵	0'0·10 ⁻⁵
	Qc+SH1	Racémico	3'6·10 ⁻⁵	4'3·10 ⁻⁵	3'9·10 ⁻⁵	0'5·10 ⁻⁵
		Meso	0'0·10 ⁻⁵	0'0·10 ⁻⁵	0'0·10 ⁻⁵	0'0·10 ⁻⁵
	Qc+SH2	Racémico	3'57·10 ⁻⁵	3'59·10 ⁻⁵	3'58·10 ⁻⁵	0'01·10 ⁻⁵
		Meso	0'0·10 ⁻⁵	0'0·10 ⁻⁵	0'0·10 ⁻⁵	0'0·10 ⁻⁵
168	Qc	Racémico	3'939·10 ⁻⁵	3'938·10 ⁻⁵	3'939·10 ⁻⁵	0'001·10 ⁻⁵
		Meso	0'0·10 ⁻⁵	0'0·10 ⁻⁵	0'0·10 ⁻⁵	0'0·10 ⁻⁵
	Qc+SH1	Racémico	3'939·10 ⁻⁵	3'941·10 ⁻⁵	3'940·10 ⁻⁵	0'001·10 ⁻⁵
		Meso	0'0·10 ⁻⁵	0'0·10 ⁻⁵	0'0·10 ⁻⁵	0'0·10 ⁻⁵
	Qc+SH2	Racémico	3'53·10 ⁻⁵	3'63·10 ⁻⁵	3'58·10 ⁻⁵	0'07·10 ⁻⁵
		Meso	0'0·10 ⁻⁵	0'0·10 ⁻⁵	0'0·10 ⁻⁵	0'0·10 ⁻⁵
360	Qc	Racémico	3'78·10 ⁻⁵	3'76·10 ⁻⁵	3'77·10 ⁻⁵	0'02·10 ⁻⁵
		Meso	0'0·10 ⁻⁵	0'0·10 ⁻⁵	0'0·10 ⁻⁵	0'0·10 ⁻⁵
	Qc+SH1	Racémico	3'760·10 ⁻⁵	3'752·10 ⁻⁵	3'756·10 ⁻⁵	0'006·10 ⁻⁵
		Meso	0'0·10 ⁻⁵	0'0·10 ⁻⁵	0'0·10 ⁻⁵	0'0·10 ⁻⁵
	Qc+SH2	Racémico	3'7·10 ⁻⁵	3'1·10 ⁻⁵	3'4·10 ⁻⁵	0'4·10 ⁻⁵
		Meso	0'0·10 ⁻⁵	0'0·10 ⁻⁵	0'0·10 ⁻⁵	0'0·10 ⁻⁵

Tabla.IX.44. Concentración de Fe total que permanece en Qc, Qc+SH1 y Qc+SH2 tras la interacción con óxido de Cu.

Tiempo (horas)	Muestra	Concentración Fe (M)			(Conc.) _{media} (M)	Desv. estándar
		1	2	3		
0	Qc	1'65·10 ⁻⁴	1'59·10 ⁻⁴	1'59·10 ⁻⁴	1'61·10 ⁻⁴	0'03·10 ⁻⁴
	Qc+SH1	1'51·10 ⁻⁴	1'62·10 ⁻⁴	1'57·10 ⁻⁴	1'57·10 ⁻⁴	0'06·10 ⁻⁴
	Qc+SH2	1'64·10 ⁻⁴	1'68·10 ⁻⁴	1'65·10 ⁻⁴	1'64·10 ⁻⁴	0'04·10 ⁻⁴
24	Qc	0'49·10 ⁻⁴	0'43·10 ⁻⁴	0'48·10 ⁻⁴	0'47·10 ⁻⁴	0'03·10 ⁻⁴
	Qc+SH1	0'46·10 ⁻⁴	0'51·10 ⁻⁴	0'48·10 ⁻⁴	0'48·10 ⁻⁴	0'03·10 ⁻⁴
	Qc+SH2	0'46·10 ⁻⁴	0'51·10 ⁻⁴	0'48·10 ⁻⁴	0'48·10 ⁻⁴	0'03·10 ⁻⁴
48	Qc	0'46·10 ⁻⁴	0'49·10 ⁻⁴	0'46·10 ⁻⁴	0'47·10 ⁻⁴	0'02·10 ⁻⁴
	Qc+SH1	0'43·10 ⁻⁴	0'46·10 ⁻⁴	0'46·10 ⁻⁴	0'45·10 ⁻⁴	0'02·10 ⁻⁴
	Qc+SH2	0'49·10 ⁻⁴	0'40·10 ⁻⁴	0'46·10 ⁻⁴	0'45·10 ⁻⁴	0'04·10 ⁻⁴
96	Qc	0'37·10 ⁻⁴	0'49·10 ⁻⁴	0'43·10 ⁻⁴	0'43·10 ⁻⁴	0'06·10 ⁻⁴
	Qc+SH1	0'35·10 ⁻⁴	0'40·10 ⁻⁴	0'43·10 ⁻⁴	0'39·10 ⁻⁴	0'04·10 ⁻⁴
	Qc+SH2	0'49·10 ⁻⁴	0'43·10 ⁻⁴	0'43·10 ⁻⁴	0'45·10 ⁻⁴	0'03·10 ⁻⁴
168	Qc	0'37·10 ⁻⁴	0'40·10 ⁻⁴	0'40·10 ⁻⁴	0'39·10 ⁻⁴	0'02·10 ⁻⁴
	Qc+SH1	0'37·10 ⁻⁴	0'40·10 ⁻⁴	0'40·10 ⁻⁴	0'39·10 ⁻⁴	0'02·10 ⁻⁴
	Qc+SH2	0'40·10 ⁻⁴	0'35·10 ⁻⁴	0'38·10 ⁻⁴	0'38·10 ⁻⁴	0'03·10 ⁻⁴
360	Qc	0'43·10 ⁻⁴	0'32·10 ⁻⁴	0'38·10 ⁻⁴	0'38·10 ⁻⁴	0'06·10 ⁻⁴
	Qc+SH1	0'38·10 ⁻⁴	0'34·10 ⁻⁴	0'40·10 ⁻⁴	0'38·10 ⁻⁴	0'03·10 ⁻⁴
	Qc+SH2	0'40·10 ⁻⁴	0'35·10 ⁻⁴	0'38·10 ⁻⁴	0'38·10 ⁻⁴	0'03·10 ⁻⁴

Tabla.IX.45. Concentración de Cu total solubilizada por Qc, SH1, Qc+SH1, SH2, Qc+SH2 y H₂O tras la interacción con óxido de Cu.

Tiempo (horas)	Muestra	Concentración Cu (M)			(Conc.) _{media} (M)	Desv. estándar
		1	2	3		
0	Qc	0'0	0'0	0'0	0'0	0'0
	SH1	0'0	0'0	0'0	0'0	0'0
	Qc+SH1	0'0	0'0	0'0	0'0	0'0
	SH2	0'0	0'0	0'0	0'0	0'0
	Qc+SH2	0'0	0'0	0'0	0'0	0'0
	agua	0'0	0'0	0'0	0'0	0'0
24	Qc	9'4·10 ⁻⁵	9'0·10 ⁻⁵	9'4·10 ⁻⁵	9'3·10 ⁻⁵	0'3·10 ⁻⁵
	SH1	0'94·10 ⁻⁵	0'95·10 ⁻⁵	0'93·10 ⁻⁵	0'94·10 ⁻⁵	0'01·10 ⁻⁵
	Qc+SH1	9'6·10 ⁻⁵	8'7·10 ⁻⁵	10'0·10 ⁻⁵	9'5·10 ⁻⁵	0'6·10 ⁻⁵
	SH2	1'14·10 ⁻⁵	1'14·10 ⁻⁵	1'02·10 ⁻⁵	1'10·10 ⁻⁵	0'07
	Qc+SH2	9'4·10 ⁻⁵	9'2·10 ⁻⁵	9'2·10 ⁻⁵	9'3·10 ⁻⁵	0'1·10 ⁻⁵
	agua	0'19·10 ⁻⁵	0'15·10 ⁻⁵	0'15·10 ⁻⁵	0'16·10 ⁻⁵	0'02·10 ⁻⁵
48	Qc	9'3·10 ⁻⁵	10'0·10 ⁻⁵	9'4·10 ⁻⁵	9'6·10 ⁻⁵	0'4·10 ⁻⁵
	SH1	0'57·10 ⁻⁵	0'67·10 ⁻⁵	0'65·10 ⁻⁵	0'63·10 ⁻⁵	0'05·10 ⁻⁵
	Qc+SH1	9'61·10 ⁻⁵	9'54·10 ⁻⁵	9'67·10 ⁻⁵	9'61·10 ⁻⁵	0'07·10 ⁻⁵
	SH2	1'1·10 ⁻⁵	0'9·10 ⁻⁵	0'9·10 ⁻⁵	0'9·10 ⁻⁵	0'1·10 ⁻⁵
	Qc+SH2	9'41·10 ⁻⁵	9'47·10 ⁻⁵	9'47·10 ⁻⁵	9'45·10 ⁻⁵	0'04·10 ⁻⁵
	agua	0'63·10 ⁻⁵	0'55·10 ⁻⁵	0'71·10 ⁻⁵	0'63·10 ⁻⁵	0'08·10 ⁻⁵
96	Qc	10'3·10 ⁻⁵	10'0·10 ⁻⁵	9'4·10 ⁻⁵	9'9·10 ⁻⁵	0'4·10 ⁻⁵
	SH1	0'8·10 ⁻⁵	0'5·10 ⁻⁵	0'6·10 ⁻⁵	0'6·10 ⁻⁵	0'1·10 ⁻⁵
	Qc+SH1	9'6·10 ⁻⁵	10'0·10 ⁻⁵	10'1·10 ⁻⁵	9'9·10 ⁻⁵	0'3·10 ⁻⁵
	SH2	0'71·10 ⁻⁵	0'53·10 ⁻⁵	0'66·10 ⁻⁵	0'63·10 ⁻⁵	0'09·10 ⁻⁵
	Qc+SH2	9'7·10 ⁻⁵	10'0·10 ⁻⁵	10'0·10 ⁻⁵	9'9·10 ⁻⁵	0'1·10 ⁻⁵
	agua	0'59·10 ⁻⁵	0'61·10 ⁻⁵	0'69·10 ⁻⁵	0'63·10 ⁻⁵	0'05·10 ⁻⁵
168	Qc	10'4·10 ⁻⁵	10'4·10 ⁻⁵	10'8·10 ⁻⁵	10'5·10 ⁻⁵	0'3·10 ⁻⁵
	SH1	0'59·10 ⁻⁵	0'71·10 ⁻⁵	0'59·10 ⁻⁵	0'63·10 ⁻⁵	0'07·10 ⁻⁵
	Qc+SH1	10'2·10 ⁻⁵	10'3·10 ⁻⁵	10'8·10 ⁻⁵	10'5·10 ⁻⁵	0'3·10 ⁻⁵
	SH2	0'6·10 ⁻⁵	0'6·10 ⁻⁵	0'3·10 ⁻⁵	0'5·10 ⁻⁵	0'2·10 ⁻⁵
	Qc+SH2	9'9·10 ⁻⁵	9'8·10 ⁻⁵	10'4·10 ⁻⁵	10'0·10 ⁻⁵	0'3·10 ⁻⁵
	agua	0'61·10 ⁻⁵	0'61·10 ⁻⁵	0'67·10 ⁻⁵	0'63·10 ⁻⁵	0'03·10 ⁻⁵
360	Qc	10'8·10 ⁻⁵	10'2·10 ⁻⁵	10'5·10 ⁻⁵	10'5·10 ⁻⁵	0'3·10 ⁻⁵
	SH1	0'55·10 ⁻⁵	0'67·10 ⁻⁵	0'67·10 ⁻⁵	0'63·10 ⁻⁵	0'07·10 ⁻⁵
	Qc+SH1	11'0·10 ⁻⁵	10'8·10 ⁻⁵	11'1·10 ⁻⁵	11'0·10 ⁻⁵	0'2·10 ⁻⁵
	SH2	0'56·10 ⁻⁵	0'71·10 ⁻⁵	0'61·10 ⁻⁵	0'63·10 ⁻⁵	0'08·10 ⁻⁵
	Qc+SH2	12'3·10 ⁻⁵	10'5·10 ⁻⁵	11'7·10 ⁻⁵	11'5·10 ⁻⁵	0'9·10 ⁻⁵
	agua	0'81·10 ⁻⁵	0'75·10 ⁻⁵	0'81·10 ⁻⁵	0'79·10 ⁻⁵	0'03·10 ⁻⁵

Tabla.IX.46. Concentración de Fe (o-EDDHA) que permanece en Qs, Qs+SH1 y Qs+SH2 tras la interacción con óxido de Zn.

Tiempo (horas)	Muestra	Concentración Fe (o-EDDHA) (M)			(Conc.) _{media} (M)	Desv. estándar
		1	2	3		
0	Qs	1'66·10 ⁻⁴	1'62·10 ⁻⁴	1'73·10 ⁻⁴	1'67·10 ⁻⁴	0'06·10 ⁻⁴
	Qs+SH1	1'5·10 ⁻⁴	1'6·10 ⁻⁴	1'7·10 ⁻⁴	1'6·10 ⁻⁴	0'1·10 ⁻⁴
	Qs+SH2	1'7·10 ⁻⁴	1'7·10 ⁻⁴	1'3·10 ⁻⁴	1'5·10 ⁻⁴	0'3·10 ⁻⁴
24	Qs	9'4·10 ⁻⁵	9'1·10 ⁻⁵	9'0·10 ⁻⁵	9'1·10 ⁻⁵	0'2·10 ⁻⁵
	Qs+SH1	1'05·10 ⁻⁴	1'09·10 ⁻⁴	--	1'07·10 ⁻⁴	0'03·10 ⁻⁴
	Qs+SH2	8'6·10 ⁻⁵	9'3·10 ⁻⁵	--	9'0·10 ⁻⁵	0'5·10 ⁻⁵
48	Qs	9'1·10 ⁻⁵	8'5·10 ⁻⁵	8'8·10 ⁻⁵	8'8·10 ⁻⁵	0'3·10 ⁻⁵
	Qs+SH1	9'28·10 ⁻⁵	9'32·10 ⁻⁵	--	9'30·10 ⁻⁵	0'03·10 ⁻⁵
	Qs+SH2	8'7·10 ⁻⁵	8'9·10 ⁻⁵	--	8'8·10 ⁻⁵	0'1·10 ⁻⁵
96	Qs	8'3·10 ⁻⁵	8'0·10 ⁻⁵	8'0·10 ⁻⁵	8'1·10 ⁻⁵	0'2·10 ⁻⁵
	Qs+SH1	8'0·10 ⁻⁵	8'4·10 ⁻⁵	--	8'2·10 ⁻⁵	0'3·10 ⁻⁵
	Qs+SH2	8'2·10 ⁻⁵	8'4·10 ⁻⁵	--	8'3·10 ⁻⁵	0'1·10 ⁻⁵
168	Qs	8'2·10 ⁻⁵	8'0·10 ⁻⁵	8'0·10 ⁻⁵	8'1·10 ⁻⁵	0'1·10 ⁻⁵
	Qs+SH1	7'12·10 ⁻⁵	7'06·10 ⁻⁵	--	7'09·10 ⁻⁵	0'04·10 ⁻⁵
	Qs+SH2	7'4·10 ⁻⁵	7'6·10 ⁻⁵	--	7'5·10 ⁻⁵	0'1·10 ⁻⁵
360	Qs	7'02·10 ⁻⁵	7'17·10 ⁻⁵	7'11·10 ⁻⁵	7'10·10 ⁻⁵	0'08·10 ⁻⁵
	Qs+SH1	6'4·10 ⁻⁵	7'0·10 ⁻⁵	--	6'70·10 ⁻⁵	0'4·10 ⁻⁵
	Qs+SH2	7'37·10 ⁻⁵	7'20·10 ⁻⁵	--	7'28·10 ⁻⁵	0'08·10 ⁻⁵

Tabla.IX.47. Concentración de Fe en forma de isómero meso y d,l-racémico que permanece en Qs, Qs+SH1 y Qs+SH2 tras la interacción con óxido de Zn.

Tiempo (horas)	Muestra	Isómeros	Concentración Fe (o-EDDHA) (M) x10 ⁵			(Conc) _{media} (M) x10 ⁵	Desv. Estándar X10 ⁵
			1	2	3		
0	Qs	Racémico	8'5	8'9	8'7	8'7	0'2
		Meso	8'3	8'5	7'9	8'2	0'3
	Qs+SH1	Racémico	8'6	8'7	8'9	8'7	0'1
		Meso	7'2	7'7	7'8	7'6	0'3
	Qs+SH2	Racémico	7'9	8'4	9'4	8'6	0'8
		Meso	6'0	7'6	6'5	6'7	0'8
24	Qs	Racémico	8'26	8'21	--	8'24	0'04
		Meso	8'63	8'18	8'40	--	0'03
	Qs+SH1	Racémico	8'3	8'6	--	8'5	0'3
		Meso	2'17	2'26	--	2'21	0'06
	Qs+SH2	Racémico	8'18	8'20	--	8'19	0'01
		Meso	4	11	--	6	2
48	Qs	Racémico	8'00	8'04	8'14	8'06	0'08
		Meso	5	7	9	8	2
	Qs+SH1	Racémico	8'13	8'16	--	8'14	0'03
		Meso	1'155	1'156	--	1'155	0'008
	Qs+SH2	Racémico	8'21	8'10	--	8'16	0'08
		Meso	5	8	--	6	2
96	Qs	Racémico	8'3	8'0	8'0	8'1	0'2
		Meso	0,0	0,0	0,0	0,0	0,0
	Qs+SH1	Racémico	8'00	8'40	--	8'20	0'03
		Meso	0'0	0'0	--	0'0	0'0
	Qs+SH2	Racémico	8'0	8'2	--	8'1	0'1
		Meso	0,0	0,0	0,0	0,0	0,0
168	Qs	Racémico	8'2	8'0	8'0	8'1	0'1
		Meso	0'0	0'0	0'0	0'0	0'0
	Qs+SH1	Racémico	7'12	7'06	--	7'09	0'04
		Meso	0'0	0'0	--	0'0	0'0
	Qs+SH2	Racémico	7'4	7'6	--	7'5	0'1
		Meso	0'0	0'0	--	0'0	0'0
360	Qs	Racémico	7'02	7'17	7'11	7'10	0'08
		Meso	0'0	0'0	0'0	0'0	0'0
	Qs+SH1	Racémico	6'4	7'0	--	6'7	0'4
		Meso	0'0	0'0	--	0'0	0'0
	Qs+SH2	Racémico	7'4	7'2	--	7'3	0'1
		Meso	0'0	0'0	--	0'0	0'0

Tabla.IX.48. Concentración de Fe total que permanece en Qs, Qs+SH1 y Qs+SH2 tras la interacción con óxido de Zn.

Tiempo (horas)	Muestra	Concentración Fe (M)			(Conc.) _{media} (M)	Desv. estándar
		1	2	3		
0	Qs	1'721·10 ⁻⁴	1'734·10 ⁻⁴	1'734·10 ⁻⁴	1'729·10 ⁻⁴	0'007·10 ⁻⁴
	Qs+SH1	1'759·10 ⁻⁴	1'769·10 ⁻⁴	1'769·10 ⁻⁴	1'765·10 ⁻⁴	0'006·10 ⁻⁴
	Qs+SH2	1'78·10 ⁻⁴	1'78·10 ⁻⁴	1'71·10 ⁻⁴	1'76·10 ⁻⁴	0'04·10 ⁻⁴
24	Qs	1'06·10 ⁻⁴	1'04·10 ⁻⁴	1'03·10 ⁻⁴	1'04·10 ⁻⁴	0'02·10 ⁻⁴
	Qs+SH1	1'14·10 ⁻⁴	1'17·10 ⁻⁴	1'18·10 ⁻⁴	1'16·10 ⁻⁴	0'02·10 ⁻⁴
	Qs+SH2	1'03·10 ⁻⁴	9'6·10 ⁻⁵	9'7·10 ⁻⁵	9'9·10 ⁻⁵	0'4·10 ⁻⁵
48	Qs	9'7·10 ⁻⁵	1'00·10 ⁻⁴	9'8·10 ⁻⁵	9'9·10 ⁻⁵	0'2·10 ⁻⁵
	Qs+SH1	9'9·10 ⁻⁵	9'7·10 ⁻⁵	1'05·10 ⁻⁴	1'01·10 ⁻⁴	0'0410 ⁻⁴
	Qs+SH2	9'3·10 ⁻⁵	8'9·10 ⁻⁵	9'2·10 ⁻⁵	9'1·10 ⁻⁵	0'2·10 ⁻⁵
96	Qs	8'6·10 ⁻⁵	8'7·10 ⁻⁵	8'4·10 ⁻⁵	8'6·10 ⁻⁵	0'1·10 ⁻⁵
	Qs+SH1	8'4·10 ⁻⁵	8'8·10 ⁻⁵	8'4·10 ⁻⁵	8'5·10 ⁻⁵	0'3·10 ⁻⁵
	Qs+SH2	8'3·10 ⁻⁵	8'1·10 ⁻⁵	8'4·10 ⁻⁵	8'3·10 ⁻⁵	0'2·10 ⁻⁵
168	Qs	8'0·10 ⁻⁵	7'9·10 ⁻⁵	8'2·10 ⁻⁵	8'0·10 ⁻⁵	0'1·10 ⁻⁵
	Qs+SH1	8'4·10 ⁻⁵	8'3·10 ⁻⁵	8'1·10 ⁻⁵	8'3·10 ⁻⁵	0'2·10 ⁻⁵
	Qs+SH2	8'0·10 ⁻⁵	7'9·10 ⁻⁵	8'2·10 ⁻⁵	8'0·10 ⁻⁵	0'1·10 ⁻⁵
360	Qs	7'3·10 ⁻⁵	7'9·10 ⁻⁵	8'0·10 ⁻⁵	7'7·10 ⁻⁵	0'4·10 ⁻⁵
	Qs+SH1	7'6·10 ⁻⁵	7'7·10 ⁻⁵	7'9·10 ⁻⁵	7'7·10 ⁻⁵	0'2·10 ⁻⁵
	Qs+SH2	7'80·10 ⁻⁵	7'67·10 ⁻⁵	7'67·10 ⁻⁵	7'71·10 ⁻⁵	0'07·10 ⁻⁵

Tabla.IX.49. Concentración de Zn total solubilizada por Qs, SH1, Qs+SH1, SH2, Qs+SH2 y H₂O tras la interacción con óxido de Zn.

Tiempo (horas)	Muestra	Concentración Zn (M)			(Conc.) _{media} (M)	Desv. estándar
		1	2	3		
0	Qs	0'0000	0'0000	0'0000	0'0000	0'0000
	SH1	0'0000	0'0000	0'0000	0'0000	0'0000
	Qs+SH1	0'0000	0'0000	0'0000	0'0000	0'0000
	SH2	3'58·10 ⁻⁶	3'58·10 ⁻⁶	3'58·10 ⁻⁶	3'58·10 ⁻⁶	9·10 ⁻¹⁶
	Qs+SH2	3'58·10 ⁻⁶	3'58·10 ⁻⁶	3'58·10 ⁻⁶	3'58·10 ⁻⁶	9·10 ⁻¹⁶
	agua	0'0000	0'0000	0'0000	0'0000	0'0000
24	Qs	1'7·10 ⁻⁴	2'4·10 ⁻⁴	2'8·10 ⁻⁴	2'3·10 ⁻⁴	0'5·10 ⁻⁴
	SH1	2'2·10 ⁻⁴	2'6·10 ⁻⁴	2'5·10 ⁻⁴	2'4·10 ⁻⁴	0'2·10 ⁻⁴
	Qs+SH1	3'2·10 ⁻⁴	2'9·10 ⁻⁴	2'7·10 ⁻⁴	2'9·10 ⁻⁴	0'2·10 ⁻⁴
	SH2	2'59·10 ⁻⁴	2'71·10 ⁻⁴	2'78·10 ⁻⁴	2'69·10 ⁻⁴	0'09·10 ⁻⁴
	Qs+SH2	2'8·10 ⁻⁴	3'1·10 ⁻⁴	2'9·10 ⁻⁴	2'9·10 ⁻⁴	0'1·10 ⁻⁴
	agua	2'2·10 ⁻⁴	2'4·10 ⁻⁴	2'4·10 ⁻⁴	2'3·10 ⁻⁴	0'1·10 ⁻⁴
48	Qs	2'61·10 ⁻⁴	2'43·10 ⁻⁴	2'51·10 ⁻⁴	2'51·10 ⁻⁴	0'09·10 ⁻⁴
	SH1	2'4·10 ⁻⁴	2'2·10 ⁻⁴	2'5·10 ⁻⁴	2'3·10 ⁻⁴	0'1·10 ⁻⁴
	Qs+SH1	2'9·10 ⁻⁴	3'2·10 ⁻⁴	3'0·10 ⁻⁴	3'0·10 ⁻⁴	0'2·10 ⁻⁴
	SH2	3'0·10 ⁻⁴	2'7·10 ⁻⁴	2'2·10 ⁻⁴	2'7·10 ⁻⁴	0'4·10 ⁻⁴
	Qs+SH2	4'1·10 ⁻⁴	3'1·10 ⁻⁴	2'6·10 ⁻⁴	3'2·10 ⁻⁴	0'8·10 ⁻⁴
	agua	2'5·10 ⁻⁴	2'2·10 ⁻⁴	2'2·10 ⁻⁴	2'3·10 ⁻⁴	0'2·10 ⁻⁴
96	Qs	2'52·10 ⁻⁴	2'69·10 ⁻⁴	2'58·10 ⁻⁴	2'60·10 ⁻⁴	0'08·10 ⁻⁴
	SH1	2'8·10 ⁻⁴	3'1·10 ⁻⁴	2'2·10 ⁻⁴	2'7·10 ⁻⁴	0'5·10 ⁻⁴
	Qs+SH1	3'1·10 ⁻⁴	3'3·10 ⁻⁴	3'1·10 ⁻⁴	3'2·10 ⁻⁴	0'1·10 ⁻⁴
	SH2	3'45·10 ⁻⁴	3'40·10 ⁻⁴	3'44·10 ⁻⁴	3'43·10 ⁻⁴	0'03·10 ⁻⁴
	Qs+SH2	3'4·10 ⁻⁴	3'4·10 ⁻⁴	3'2·10 ⁻⁴	3'3·10 ⁻⁴	0'1·10 ⁻⁴
	agua	2'37·10 ⁻⁴	2'41·10 ⁻⁴	2'51·10 ⁻⁴	2'43·10 ⁻⁴	0'07·10 ⁻⁴
168	Qs	2'8·10 ⁻⁴	3'0·10 ⁻⁴	2'7·10 ⁻⁴	2'8·10 ⁻⁴	0'1·10 ⁻⁴
	SH1	2'8·10 ⁻⁴	2'8·10 ⁻⁴	3'9·10 ⁻⁴	3'1·10 ⁻⁴	0'6·10 ⁻⁴
	Qs+SH1	3'2·10 ⁻⁴	4'1·10 ⁻⁴	3'2·10 ⁻⁴	3'7·10 ⁻⁴	0'5·10 ⁻⁴
	SH2	2'8·10 ⁻⁴	3'6·10 ⁻⁴	3'3·10 ⁻⁴	3'2·10 ⁻⁴	0'4·10 ⁻⁴
	Qs+SH2	4'1·10 ⁻⁴	3'1·10 ⁻⁴	3'5·10 ⁻⁴	3'6·10 ⁻⁴	0'5·10 ⁻⁴
	agua	2'46·10 ⁻⁴	2'45·10 ⁻⁴	2'47·10 ⁻⁴	2'46·10 ⁻⁴	0'01·10 ⁻⁴
360	Qs	2'8·10 ⁻⁴	3'0·10 ⁻⁴	3'0·10 ⁻⁴	2'9·10 ⁻⁴	0'1·10 ⁻⁴
	SH1	3'3·10 ⁻⁴	3'0	3'1·10 ⁻⁴	3'1·10 ⁻⁴	0'2·10 ⁻⁴
	Qs+SH1	4'1·10 ⁻⁴	4'2·10 ⁻⁴	3'3·10 ⁻⁴	3'8·10 ⁻⁴	0'5·10 ⁻⁴
	SH2	3'59·10 ⁻⁴	3'57·10 ⁻⁴	3'54·10 ⁻⁴	3'57·10 ⁻⁴	0'02·10 ⁻⁴
	Qs+SH2	3'7·10 ⁻⁴	3'9·10 ⁻⁴	3'9·10 ⁻⁴	3'9·10 ⁻⁴	0'1·10 ⁻⁴
	agua	2'48·10 ⁻⁴	2'36·10 ⁻⁴	2'54·10 ⁻⁴	2'46·10 ⁻⁴	0'09·10 ⁻⁴

Tabla.IX.50. Concentración de Fe (o-EDDHA) que permanece en Qc, Qc+SH1 y Qc+SH2 tras la interacción con óxido de Zn.

Tiempo (horas)	Muestra	Concentración Fe (o-EDDHA) (M)		(Conc.) _{media} (M)	Desv. estándar
		1	2		
0	Qc	$7 \cdot 10^{-5}$	$7 \cdot 3 \cdot 10^{-5}$	$7 \cdot 3 \cdot 10^{-5}$	$0 \cdot 1 \cdot 10^{-5}$
	Qc+SH1	$7 \cdot 7 \cdot 10^{-5}$	$7 \cdot 4 \cdot 10^{-5}$	$7 \cdot 5 \cdot 10^{-5}$	$0 \cdot 2 \cdot 10^{-5}$
	Qc+SH2	$7 \cdot 1 \cdot 10^{-5}$	$7 \cdot 4 \cdot 10^{-5}$	$7 \cdot 3 \cdot 10^{-5}$	$0 \cdot 2 \cdot 10^{-5}$
24	Qc	$6 \cdot 70 \cdot 10^{-5}$	$6 \cdot 73 \cdot 10^{-5}$	$6 \cdot 72 \cdot 10^{-5}$	$0 \cdot 02 \cdot 10^{-5}$
	Qc+SH1	$7 \cdot 20 \cdot 10^{-5}$	$7 \cdot 27 \cdot 10^{-5}$	$7 \cdot 23 \cdot 10^{-5}$	$0 \cdot 06 \cdot 10^{-5}$
	Qc+SH2	$7 \cdot 27 \cdot 10^{-5}$	$7 \cdot 35 \cdot 10^{-5}$	$7 \cdot 31 \cdot 10^{-5}$	$0 \cdot 05 \cdot 10^{-5}$
48	Qc	$6 \cdot 65 \cdot 10^{-5}$	$6 \cdot 69 \cdot 10^{-5}$	$6 \cdot 67 \cdot 10^{-5}$	$0 \cdot 03 \cdot 10^{-5}$
	Qc+SH1	$7 \cdot 2 \cdot 10^{-5}$	$6 \cdot 9 \cdot 10^{-5}$	$7 \cdot 1 \cdot 10^{-5}$	$0 \cdot 2 \cdot 10^{-5}$
	Qc+SH2	$7 \cdot 39 \cdot 10^{-5}$	$7 \cdot 46 \cdot 10^{-5}$	$7 \cdot 42 \cdot 10^{-5}$	$0 \cdot 05 \cdot 10^{-5}$
96	Qc	$6 \cdot 4 \cdot 10^{-5}$	$6 \cdot 6 \cdot 10^{-5}$	$6 \cdot 5 \cdot 10^{-5}$	$0 \cdot 1 \cdot 10^{-5}$
	Qc+SH1	$7 \cdot 0 \cdot 10^{-5}$	$7 \cdot 2 \cdot 10^{-5}$	$7 \cdot 1 \cdot 10^{-5}$	$0 \cdot 1 \cdot 10^{-5}$
	Qc+SH2	$7 \cdot 14 \cdot 10^{-5}$	$7 \cdot 07 \cdot 10^{-5}$	$7 \cdot 11 \cdot 10^{-5}$	$0 \cdot 05 \cdot 10^{-5}$
168	Qc	$6 \cdot 28 \cdot 10^{-5}$	$6 \cdot 30 \cdot 10^{-5}$	$6 \cdot 29 \cdot 10^{-5}$	$0 \cdot 02 \cdot 10^{-5}$
	Qc+SH1	$5 \cdot 0 \cdot 10^{-5}$	$5 \cdot 4 \cdot 10^{-5}$	$5 \cdot 2 \cdot 10^{-5}$	$0 \cdot 3 \cdot 10^{-5}$
	Qc+SH2	$7 \cdot 03 \cdot 10^{-5}$	$7 \cdot 14 \cdot 10^{-5}$	$7 \cdot 08 \cdot 10^{-5}$	$0 \cdot 07 \cdot 10^{-5}$
360	Qc	$5 \cdot 9 \cdot 10^{-5}$	$5 \cdot 7 \cdot 10^{-5}$	$5 \cdot 8 \cdot 10^{-5}$	$0 \cdot 1 \cdot 10^{-5}$
	Qc+SH1	$6 \cdot 7 \cdot 10^{-5}$	$6 \cdot 8 \cdot 10^{-5}$	$6 \cdot 8 \cdot 10^{-5}$	$0 \cdot 1 \cdot 10^{-5}$
	Qc+SH2	$6 \cdot 10^{-5}$	$4 \cdot 10^{-5}$	$5 \cdot 10^{-5}$	$1 \cdot 10^{-5}$

Tabla.IX.51. Concentración de Fe en forma de isómero meso y d,l-racémico que permanece en Qc, Qc+SH1 y Qc+SH2 tras la interacción con óxido de Zn.

Tiempo (horas)	Muestra	Isómeros	Concentración Fe o-EDDHA (M)		(Conc) _{media} (M)	Desv. estándar
			1	2		
0	Qc	Racémico	3'5·10 ⁻⁵	3'9·10 ⁻⁵	3'7·10 ⁻⁵	0'3·10 ⁻⁵
		Meso	3'6·10 ⁻⁵	3'7·10 ⁻⁵	3'6·10 ⁻⁵	0'1·10 ⁻⁵
	Qc+SH1	Racémico	3'5·10 ⁻⁵	4'3·10 ⁻⁵	3'9·10 ⁻⁵	0'6·10 ⁻⁵
		Meso	3'65·10 ⁻⁵	3'72·10 ⁻⁵	3'69·10 ⁻⁵	0'05·10 ⁻⁵
	Qc+SH2	Racémico	3'9·10 ⁻⁵	3'7·10 ⁻⁵	3'8·10 ⁻⁵	0'1·10 ⁻⁵
		Meso	3'7·10 ⁻⁵	3'4·10 ⁻⁵	3'6·10 ⁻⁵	0'2·10 ⁻⁵
24	Qc	Racémico	3'87·10 ⁻⁵	3'85·10 ⁻⁵	3'86·10 ⁻⁵	0'01·10 ⁻⁵
		Meso	2'83·10 ⁻⁵	2'88·10 ⁻⁵	2'86·10 ⁻⁵	0'03·10 ⁻⁵
	Qc+SH1	Racémico	3'91·10 ⁻⁵	3'86·10 ⁻⁵	3'89·10 ⁻⁵	0'04·10 ⁻⁵
		Meso	3'35·10 ⁻⁵	3'33·10 ⁻⁵	3'34·10 ⁻⁵	0'02·10 ⁻⁵
	Qc+SH2	Racémico	3'85·10 ⁻⁵	3'91·10 ⁻⁵	3'88·10 ⁻⁵	0'04·10 ⁻⁵
		Meso	3'419·10 ⁻⁵	3'432·10 ⁻⁵	3'425·10 ⁻⁵	0'009·10 ⁻⁵
48	Qc	Racémico	3'97·10 ⁻⁵	4'01·10 ⁻⁵	3'99·10 ⁻⁵	0'03·10 ⁻⁵
		Meso	2'686·10 ⁻⁵	2'683·10 ⁻⁵	2'684·10 ⁻⁵	0'002·10 ⁻⁵
	Qc+SH1	Racémico	3'9·10 ⁻⁵	3'7·10 ⁻⁵	3'8·10 ⁻⁵	0'1·10 ⁻⁵
		Meso	3'31·10 ⁻⁵	3'17·10 ⁻⁵	3'18·10 ⁻⁵	0'02·10 ⁻⁵
	Qc+SH2	Racémico	3'98·10 ⁻⁵	4'05·10 ⁻⁵	4'02·10 ⁻⁵	0'05·10 ⁻⁵
		Meso	3'407·10 ⁻⁵	3'412·10 ⁻⁵	3'410·10 ⁻⁵	0'03·10 ⁻⁵
96	Qc	Racémico	3'73·10 ⁻⁵	3'87·10 ⁻⁵	3'80·10 ⁻⁵	0'09·10 ⁻⁵
		Meso	2'66·10 ⁻⁵	2'72·10 ⁻⁵	2'69·10 ⁻⁵	0'04·10 ⁻⁵
	Qc+SH1	Racémico	3'8·10 ⁻⁵	4'0·10 ⁻⁵	3'9·10 ⁻⁵	0'1·10 ⁻⁵
		Meso	3'19·10 ⁻⁵	3'17·10 ⁻⁵	3'18·10 ⁻⁵	0'02·10 ⁻⁵
	Qc+SH2	Racémico	3'83·10 ⁻⁵	3'85·10 ⁻⁵	3'84·10 ⁻⁵	0'01·10 ⁻⁵
		Meso	3'32·10 ⁻⁵	3'23·10 ⁻⁵	3'27·10 ⁻⁵	0'06·10 ⁻⁵
168	Qc	Racémico	3'91·10 ⁻⁵	3'88·10 ⁻⁵	3'89·10 ⁻⁵	0'02·10 ⁻⁵
		Meso	2'37·10 ⁻⁵	2'42·10 ⁻⁵	2'39·10 ⁻⁵	0'04·10 ⁻⁵
	Qc+SH1	Racémico	3'7·10 ⁻⁵	3'9·10 ⁻⁵	3'8·10 ⁻⁵	0'2·10 ⁻⁵
		Meso	1'4·10 ⁻⁵	1'5·10 ⁻⁵	1'5·10 ⁻⁵	0'1·10 ⁻⁵
	Qc+SH2	Racémico	3'90·10 ⁻⁵	3'97·10 ⁻⁵	3'93·10 ⁻⁵	0'05·10 ⁻⁵
		Meso	3'13·10 ⁻⁵	3'17·10 ⁻⁵	3'15·10 ⁻⁵	0'03·10 ⁻⁵
360	Qc	Racémico	3'70·10 ⁻⁵	3'61·10 ⁻⁵	3'66·10 ⁻⁵	0'07·10 ⁻⁵
		Meso	2'21·10 ⁻⁵	2'16·10 ⁻⁵	2'19·10 ⁻⁵	0'04·10 ⁻⁵
	Qc+SH1	Racémico	3'5·10 ⁻⁵	3'3·10 ⁻⁵	3'4·10 ⁻⁵	0'2·10 ⁻⁵
		Meso	2·10 ⁻⁵	1·10 ⁻⁵	2·10 ⁻⁵	1·10 ⁻⁵
	Qc+SH2	Racémico	3'7·10 ⁻⁵	3'9·10 ⁻⁵	3'8·10 ⁻⁵	0'1·10 ⁻⁵
		Meso	3'05·10 ⁻⁵	3'02·10 ⁻⁵	3'04·10 ⁻⁵	0'02·10 ⁻⁵

Tabla.IX.52. Concentración de Fe total que permanece en Qc, Qc+SH1 y Qc+SH2 tras la interacción con óxido de Zn.

Tiempo (horas)	Muestra	Concentración Fe (M)			(Conc.) _{media} (M)	Desv. estándar
		1	2	3		
0	Qc	1'55·10 ⁻⁴	1'57·10 ⁻⁴	1'55·10 ⁻⁴	1'55·10 ⁻⁴	0'02·10 ⁻⁴
	Qc+SH1	1'55·10 ⁻⁴	1'53·10 ⁻⁴	1'52·10 ⁻⁴	1'52·10 ⁻⁴	0'04·10 ⁻⁴
	Qc+SH2	1'55·10 ⁻⁴	1'61·10 ⁻⁴	1'55·10 ⁻⁴	1'57·10 ⁻⁴	0'03·10 ⁻⁴
24	Qc	0'77·10 ⁻⁴	0'75·10 ⁻⁴	0'79·10 ⁻⁴	0'77·10 ⁻⁴	0'02·10 ⁻⁴
	Qc+SH1	0'84·10 ⁻⁴	0'84·10 ⁻⁴	0'86·10 ⁻⁴	0'85·10 ⁻⁴	0'01·10 ⁻⁴
	Qc+SH2	0'92·10 ⁻⁴	0'94·10 ⁻⁴	0'90·10 ⁻⁴	0'92·10 ⁻⁴	0'02·10 ⁻⁴
48	Qc	0'69·10 ⁻⁴	0'71·10 ⁻⁴	0'71·10 ⁻⁴	0'70·10 ⁻⁴	0'01·10 ⁻⁴
	Qc+SH1	0'79·10 ⁻⁴	0'81·10 ⁻⁴	0'77·10 ⁻⁴	0'79·10 ⁻⁴	0'02·10 ⁻⁴
	Qc+SH2	0'84·10 ⁻⁴	0'81·10 ⁻⁴	0'86·10 ⁻⁴	0'84·10 ⁻⁴	0'03·10 ⁻⁴
96	Qc	0'69·10 ⁻⁴	0'71·10 ⁻⁴	0'71·10 ⁻⁴	0'70·10 ⁻⁴	0'01·10 ⁻⁴
	Qc+SH1	0'77·10 ⁻⁴	0'77·10 ⁻⁴	0'75·10 ⁻⁴	0'75·10 ⁻⁴	0'01·10 ⁻⁴
	Qc+SH2	0'79·10 ⁻⁴	0'81·10 ⁻⁴	0'81·10 ⁻⁴	0'80·10 ⁻⁴	0'01·10 ⁻⁴
168	Qc	0'63·10 ⁻⁴	0'65·10 ⁻⁴	0'63·10 ⁻⁴	0'63·10 ⁻⁴	0'01·10 ⁻⁴
	Qc+SH1	0'49·10 ⁻⁴	0'53·10 ⁻⁴	0'59·10 ⁻⁴	0'54·10 ⁻⁴	0'05·10 ⁻⁴
	Qc+SH2	0'73·10 ⁻⁴	0'71·10 ⁻⁴	0'73·10 ⁻⁴	0'72·10 ⁻⁴	0'01·10 ⁻⁴
360	Qc	0'59·10 ⁻⁴	0'65·10 ⁻⁴	0'67·10 ⁻⁴	0'64·10 ⁻⁴	0'04·10 ⁻⁴
	Qc+SH1	0'53·10 ⁻⁴	0'51·10 ⁻⁴	0'51·10 ⁻⁴	0'52·10 ⁻⁴	0'01·10 ⁻⁴
	Qc+SH2	0'53·10 ⁻⁴	0'57·10 ⁻⁴	0'55·10 ⁻⁴	0'55·10 ⁻⁴	0'02·10 ⁻⁴

Tabla.IX.53. Concentración de Zn total que permanece en Qc, SH1, Qc+SH1, SH2, Qc+SH2 y H₂O tras la interacción con óxido de Zn.

Tiempo (horas)	Muestra	Concentración Zn (M)			(Conc.) _{media} (M)	Desv. estándar
		1	2	3		
0	Qc	0'0000	0'0000	0'0000	0'0000	0'0000
	SH1	0'0000	0'0000	0'0000	0'0000	0'0000
	Qc+SH1	0'0000	0'0000	0'0000	0'0000	0'0000
	SH2	0'0358·10 ⁻⁴	0'0358·10 ⁻⁴	0'0358·10 ⁻⁴	0'0358·10 ⁻⁴	9·10 ⁻¹⁶
	Qc+SH2	0'0358·10 ⁻⁴	0'0358·10 ⁻⁴	0'0358·10 ⁻⁴	0'0358·10 ⁻⁴	9·10 ⁻¹⁶
	agua	0'0000	0'0000	0'0000	0'0000	0'0000
24	Qc	0'57·10 ⁻⁴	0'61·10 ⁻⁴	0'70·10 ⁻⁴	0'63·10 ⁻⁴	0'07·10 ⁻⁴
	SH1	2'2·10 ⁻⁴	2'6·10 ⁻⁴	2'5·10 ⁻⁴	2'4·10 ⁻⁴	0'2·10 ⁻⁴
	Qc+SH1	1'05·10 ⁻⁴	0'91·10 ⁻⁴	0'89·10 ⁻⁴	0'95·10 ⁻⁴	0'09·10 ⁻⁴
	SH2	2'59·10 ⁻⁴	2'71·10 ⁻⁴	2'78·10 ⁻⁴	2'69·10 ⁻⁴	0'09·10 ⁻⁴
	Qc+SH2	1'14·10 ⁻⁴	1'01·10 ⁻⁴	0'96·10 ⁻⁴	1'04·10 ⁻⁴	0'09·10 ⁻⁴
	agua	2'2·10 ⁻⁴	2'4·10 ⁻⁴	2'4·10 ⁻⁴	2'3·10 ⁻⁴	0'1·10 ⁻⁴
48	Qc	1'17·10 ⁻⁴	1'26·10 ⁻⁴	1'20·10 ⁻⁴	1'21·10 ⁻⁴	0'04·10 ⁻⁴
	SH1	2'4·10 ⁻⁴	2'2·10 ⁻⁴	2'5·10 ⁻⁴	2'3·10 ⁻⁴	0'1·10 ⁻⁴
	Qc+SH1	1'0·10 ⁻⁴	1'1·10 ⁻⁴	1'3·10 ⁻⁴	1'1·10 ⁻⁴	0'1·10 ⁻⁴
	SH2	3'0·10 ⁻⁴	2'7·10 ⁻⁴	2'2·10 ⁻⁴	2'7·10 ⁻⁴	0'4·10 ⁻⁴
	Qc+SH2	1'19·10 ⁻⁴	1'23·10 ⁻⁴	1'30·10 ⁻⁴	1'24·10 ⁻⁴	0'06·10 ⁻⁴
	agua	2'5·10 ⁻⁴	2'2·10 ⁻⁴	2'2·10 ⁻⁴	2'3·10 ⁻⁴	0'2·10 ⁻⁴
96	Qc	1'4·10 ⁻⁴	1'4·10 ⁻⁴	1'3·10 ⁻⁴	1'4·10 ⁻⁴	0'1·10 ⁻⁴
	SH1	2'8·10 ⁻⁴	3'1·10 ⁻⁴	2'2·10 ⁻⁴	2'7·10 ⁻⁴	0'5·10 ⁻⁴
	Qc+SH1	1'20·10 ⁻⁴	1'33·10 ⁻⁴	1'20·10 ⁻⁴	1'24·10 ⁻⁴	0'08·10 ⁻⁴
	SH2	3'45·10 ⁻⁴	3'40·10 ⁻⁴	3'44·10 ⁻⁴	3'43·10 ⁻⁴	0'03·10 ⁻⁴
	Qc+SH2	1'36·10 ⁻⁴	1'39·10 ⁻⁴	1'38·10 ⁻⁴	1'38·10 ⁻⁴	0'01·10 ⁻⁴
	agua	2'37·10 ⁻⁴	2'41·10 ⁻⁴	2'51·10 ⁻⁴	2'43·10 ⁻⁴	0'07·10 ⁻⁴
168	Qc	1'46·10 ⁻⁴	1'44·10 ⁻⁴	1'45·10 ⁻⁴	1'45·10 ⁻⁴	0'01·10 ⁻⁴
	SH1	2'8·10 ⁻⁴	2'8·10 ⁻⁴	3'9·10 ⁻⁴	3'1·10 ⁻⁴	0'6·10 ⁻⁴
	Qc+SH1	1'5·10 ⁻⁴	1'7·10 ⁻⁴	1'8·10 ⁻⁴	1'7·10 ⁻⁴	0'2·10 ⁻⁴
	SH2	2'8·10 ⁻⁴	3'6·10 ⁻⁴	3'3·10 ⁻⁴	3'2·10 ⁻⁴	0'4·10 ⁻⁴
	Qc+SH2	1'41·10 ⁻⁴	1'39·10 ⁻⁴	1'55·10 ⁻⁴	1'45·10 ⁻⁴	0'09·10 ⁻⁴
	agua	2'46·10 ⁻⁴	2'45·10 ⁻⁴	2'47·10 ⁻⁴	2'46·10 ⁻⁴	0'01·10 ⁻⁴
360	Qc	1'76·10 ⁻⁴	1'71·10 ⁻⁴	1'80·10 ⁻⁴	1'76·10 ⁻⁴	0'04·10 ⁻⁴
	SH1	3'3·10 ⁻⁴	3'0	3'1·10 ⁻⁴	3'1·10 ⁻⁴	0'2·10 ⁻⁴
	Qc+SH1	2'1·10 ⁻⁴	1'9·10 ⁻⁴	2'0·10 ⁻⁴	2'0·10 ⁻⁴	0'2·10 ⁻⁴
	SH2	3'59·10 ⁻⁴	3'57·10 ⁻⁴	3'54·10 ⁻⁴	3'57·10 ⁻⁴	0'02·10 ⁻⁴
	Qc+SH2	1'77·10 ⁻⁴	1'93·10 ⁻⁴	1'79·10 ⁻⁴	1'83·10 ⁻⁴	0'09·10 ⁻⁴
	agua	2'48·10 ⁻⁴	2'36·10 ⁻⁴	2'54·10 ⁻⁴	2'46·10 ⁻⁴	0'09·10 ⁻⁴

Tabla.IX.54. Concentración de Fe (o-EDDHA) que permanece en Qs, Qs+SH1 y Qs+SH2 tras la interacción con óxido de Mn.

Tiempo (horas)	Muestra	Concentración Fe (o-EDDHA) (M)			(Conc.) _{media} (M)	Desv. estándar
		1	2	3		
0	Qs	1'67·10 ⁻⁴	1'67·10 ⁻⁴	1'64·10 ⁻⁴	1'66·10 ⁻⁴	0'02·10 ⁻⁴
	Qs+SH1	1'61·10 ⁻⁴	1'72·10 ⁻⁴	1'60·10 ⁻⁴	1'64·10 ⁻⁴	0'06·10 ⁻⁴
	Qs+SH2	1'70·10 ⁻⁴	1'71·10 ⁻⁴	1'67·10 ⁻⁴	1'70·10 ⁻⁴	0'02·10 ⁻⁴
24	Qs	1'39·10 ⁻⁴	1'36·10 ⁻⁴	1'29·10 ⁻⁴	1'35·10 ⁻⁴	0'05·10 ⁻⁴
	Qs+SH1	1'2·10 ⁻⁴	1'4·10 ⁻⁴	--	1'3·10 ⁻⁴	0'1·10 ⁻⁴
	Qs+SH2	1'542·10 ⁻⁴	1'538·10 ⁻⁴	--	1'540·10 ⁻⁴	0'003·10 ⁻⁴
48	Qs	1'34·10 ⁻⁴	1'35·10 ⁻⁴	1'25·10 ⁻⁴	1'31·10 ⁻⁴	0'05·10 ⁻⁴
	Qs+SH1	0'99·10 ⁻⁴	1'03·10 ⁻⁴	--	1'01·10 ⁻⁴	0'03·10 ⁻⁴
	Qs+SH2	0'744	0'740	--	0'742·10 ⁻⁴	0'003·10 ⁻⁴
96	Qs	1'12·10 ⁻⁴	1'15·10 ⁻⁴	0'99·10 ⁻⁴	1'09·10 ⁻⁴	0'08·10 ⁻⁴
	Qs+SH1	0'86·10 ⁻⁴	0'90·10 ⁻⁴	--	0'88·10 ⁻⁴	0'03·10 ⁻⁴
	Qs+SH2	0'715·10 ⁻⁴	0'728·10 ⁻⁴	--	0'721·10 ⁻⁴	0'009·10 ⁻⁴
168	Qs	0'74·10 ⁻⁴	0'72·10 ⁻⁴	0'77·10 ⁻⁴	0'74·10 ⁻⁴	0'02·10 ⁻⁴
	Qs+SH1	0'72·10 ⁻⁴	0'78·10 ⁻⁴	--	0'75·10 ⁻⁴	0'04·10 ⁻⁴
	Qs+SH2	0'76·10 ⁻⁴	0'72·10 ⁻⁴	--	0'74·10 ⁻⁴	0'03·10 ⁻⁴
360	Qs	0'684·10 ⁻⁴	0'683·10 ⁻⁴	0'696·10 ⁻⁴	0'688·10 ⁻⁴	0'007·10 ⁻⁴
	Qs+SH1	0'648·10 ⁻⁴	0'656·10 ⁻⁴	--	0'652·10 ⁻⁴	0'006·10 ⁻⁴
	Qs+SH2	0'64·10 ⁻⁴	0'67·10 ⁻⁴	--	0'66·10 ⁻⁴	0'02·10 ⁻⁴

Tabla.IX.55 Concentración de Fe en forma de isómero meso y d,l-racémico que permanece en Qs, Qs+SH1 y Qs+SH2 tras la interacción con óxido de Mn.

Tiempo (horas)	Muestra	Isómeros	Concentración Fe(o-EDDHA) (M) x10 ⁵			(Conc) _{media} (M) x10 ⁵	Desv. Estándar X10 ⁵
			1	2	3		
0	Qs	Racémico	8'46	8'42	8'36	8'41	0'05
		Meso	8'27	8'25	8'03	8'19	0'1
	Qs+SH1	Racémico	8'94	8'99	8'81	8'91	0'09
		Meso	7'2	7'2	8'2	7'5	0'6
	Qs+SH2	Racémico	8'59	8'69	8'61	8'63	0'05
		Meso	8'5	8'4	8'1	8'3	0'2
24	Qs	Racémico	8'13	8'15	8'09	8'13	0'03
		Meso	5'7	5'5	4'8	5'3	0'5
	Qs+SH1	Racémico	7'7	8'6	--	8'1	0'6
		Meso	4'5	5'0	--	4'8	0'4
	Qs+SH2	Racémico	8'27	8'23	--	8'25	0'03
		Meso	7'1505	7'1502	--	7'1503	0'0003
48	Qs	Racémico	8'15	8'14	8'03	8'11	0'06
		Meso	5'2	5'3	4'5	5'0	0'5
	Qs+SH1	Racémico	8'7	8'4	--	8'6	0'3
		Meso	1'58	1'52	--	1'55	0'04
	Qs+SH2	Racémico	5'7	6'6	--	6'1	0'7
		Meso	1'8	0'8	--	1'3	0'7
96	Qs	Racémico	7'9	7'9	7'6	7'8	0'2
		Meso	3'3	3'6	2'4	3'1	0'6
	Qs+SH1	Racémico	7'7	8'0	--	7'9	0'3
		Meso	0'901	0'945	--	0'923	0'03
	Qs+SH2	Racémico	7'15	7'28	--	7'21	0'09
		Meso	0'0	0'0	0'0	0'0	0'0
168	Qs	Racémico	7'4	7'2	7'7	7'4	0'2
		Meso	0'0	0'0	0'0	0'0	0'0
	Qs+SH1	Racémico	7'2	7'8	--	7'5	0'4
		Meso					
	Qs+SH2	Racémico	7'6	7'2	--	7'4	0'3
		Meso	0'0	0'0	0'0	0'0	0'0
360	Qs	Racémico	6'84	6'83	6'96	6'88	0'07
		Meso	0'0	0'0	0'0	0'0	0'0
	Qs+SH1	Racémico	6'56	6'48	--	6'52	0'06
		Meso	0'0	0'0	0'0	0'0	0'0
	Qs+SH2	Racémico	6'5	6'7	--	6'6	0'2
		Meso	0'0	0'0	0'0	0'0	0'0

Tabla.IX.56. Concentración de Mn total solubilizada por Qs, SH1, Qs+SH1, SH2, Qs+SH2 y H₂O tras la interacción con óxido de Mn.

Tiempo (horas)	Muestra	Concentración Mn (M)			(Conc.) _{media} (M)	Desv. estándar
		1	2	3		
0	Qs	0'0	0'0	0'0	0'0	0'0
	SH1	0'0	0'0	0'0	0'0	0'0
	Qs+SH1	0'0	0'0	0'0	0'0	0'0
	SH2	0'44·10 ⁻⁵	0'34·10 ⁻⁵	0'33·10 ⁻⁵	0'36·10 ⁻⁵	0'07·10 ⁻⁵
	Qs+SH2	0'43·10 ⁻⁵	0'35·10 ⁻⁵	0'31·10 ⁻⁵	0'36·10 ⁻⁵	0'06·10 ⁻⁵
	agua	0'0	0'0	0'0	0'0	0'0
24	Qs	2'5·10 ⁻⁵	2'3·10 ⁻⁵	2'3·10 ⁻⁵	2'4·10 ⁻⁵	0'09·10 ⁻⁵
	SH1	0'61·10 ⁻⁵	0'45·10 ⁻⁵	0'58·10 ⁻⁵	0'55·10 ⁻⁵	0'1·10 ⁻⁵
	Qs+SH1	1'4·10 ⁻⁵	1'9·10 ⁻⁵	1'7·10 ⁻⁵	1'6·10 ⁻⁵	0'2·10 ⁻⁵
	SH2	0'7·10 ⁻⁵	0'5·10 ⁻⁵	0'4·10 ⁻⁵	0'5·10 ⁻⁵	0'1·10 ⁻⁵
	Qs+SH2	0'15·10 ⁻⁵	0'17·10 ⁻⁵	0'23·10 ⁻⁵	0'18·10 ⁻⁵	0'04·10 ⁻⁵
	agua	0'37·10 ⁻⁵	0'28·10 ⁻⁵	0'44·10 ⁻⁵	0'36·10 ⁻⁵	0'09·10 ⁻⁵
48	Qs	0'9·10 ⁻⁵	0'7·10 ⁻⁵	1'1·10 ⁻⁵	0'9·10 ⁻⁵	0'2·10 ⁻⁵
	SH1	0'31·10 ⁻⁵	0'37·10 ⁻⁵	0'41·10 ⁻⁵	0'36·10 ⁻⁵	0'05·10 ⁻⁵
	Qs+SH1	1'1·10 ⁻⁵	1'5·10 ⁻⁵	1'2·10 ⁻⁵	1'3·10 ⁻⁵	0'2·10 ⁻⁵
	SH2	0'39·10 ⁻⁵	0'34·10 ⁻⁵	0'36·10 ⁻⁵	0'36·10 ⁻⁵	0'03·10 ⁻⁵
	Qs+SH2	2'4·10 ⁻⁵	2'7·10 ⁻⁵	2'5·10 ⁻⁵	2'5·10 ⁻⁵	0'1·10 ⁻⁵
	agua	0'41·10 ⁻⁵	0'31·10 ⁻⁵	0'37·10 ⁻⁵	0'36·10 ⁻⁵	0'05·10 ⁻⁵
96	Qs	0'8·10 ⁻⁵	1'1·10 ⁻⁵	0'8·10 ⁻⁵	0'9·10 ⁻⁵	0'2·10 ⁻⁵
	SH1	0'46·10 ⁻⁵	0'30·10 ⁻⁵	0'33·10 ⁻⁵	0'36·10 ⁻⁵	0'09·10 ⁻⁵
	Qs+SH1	1'6·10 ⁻⁵	0'9·10 ⁻⁵	0'7·10 ⁻⁵	1'1·10 ⁻⁵	0'5·10 ⁻⁵
	SH2	0'4·10 ⁻⁵	0'2·10 ⁻⁵	0'4·10 ⁻⁵	0'4·10 ⁻⁵	0'1·10 ⁻⁵
	Qs+SH2	0'50·10 ⁻⁵	0'55·10 ⁻⁵	0'58·10 ⁻⁵	0'54·10 ⁻⁵	0'04·10 ⁻⁵
	agua	0'13·10 ⁻⁵	0'30·10 ⁻⁵	0'13·10 ⁻⁵	0'18·10 ⁻⁵	0'09·10 ⁻⁵
168	Qs	0'50·10 ⁻⁵	0'58·10 ⁻⁵	0'55·10 ⁻⁵	0'55·10 ⁻⁵	0'04·10 ⁻⁵
	SH1	0'14·10 ⁻⁵	0'26·10 ⁻⁵	0'14·10 ⁻⁵	0'18·10 ⁻⁵	0'06·10 ⁻⁵
	Qs+SH1	1'3·10 ⁻⁵	1'2·10 ⁻⁵	0'8·10 ⁻⁵	1'1·10 ⁻⁵	0'3·10 ⁻⁵
	SH2	0'15·10 ⁻⁵	0'23·10 ⁻⁵	0'17·10 ⁻⁵	0'18·10 ⁻⁵	0'04·10 ⁻⁵
	Qs+SH2	0'36·10 ⁻⁵	0'39·10 ⁻⁵	0'34·10 ⁻⁵	0'36·10 ⁻⁵	0'03·10 ⁻⁵
	agua	0'09·10 ⁻⁵	0'20·10 ⁻⁵	0'26·10 ⁻⁵	0'18·10 ⁻⁵	0'09·10 ⁻⁵
360	Qs	0'36·10 ⁻⁵	0'34·10 ⁻⁵	0'39·10 ⁻⁵	0'36·10 ⁻⁵	0'03·10 ⁻⁵
	SH1	0'28·10 ⁻⁵	0'14·10 ⁻⁵	0'13·10 ⁻⁵	0'18·10 ⁻⁵	0'08·10 ⁻⁵
	Qs+SH1	0'45·10 ⁻⁵	0'63·10 ⁻⁵	0'56·10 ⁻⁵	0'55·10 ⁻⁵	0'09·10 ⁻⁵
	SH2	0'15·10 ⁻⁵	0'20·10 ⁻⁵	0'20·10 ⁻⁵	0'18·10 ⁻⁵	0'03·10 ⁻⁵
	Qs+SH2	0'3·10 ⁻⁵	0'5·10 ⁻⁵	0'3·10 ⁻⁵	0'4·10 ⁻⁵	0'1·10 ⁻⁵
	agua	0'16·10 ⁻⁵	0'13·10 ⁻⁵	0'26·10 ⁻⁵	0'18·10 ⁻⁵	0'07·10 ⁻⁵

Tabla.IX.57. Concentración de Fe (o-EDDHA) que permanece en Qc, Qc+SH1 y Qc+SH2 tras la interacción con óxido de Mn.

Tiempo (horas)	Muestra	Concentración Fe (o-EDDHA) (M)		(Conc.) _{media} (M)	Desv. estándar
		1	2		
0	Qc	$6'7 \cdot 10^{-5}$	$7'6 \cdot 10^{-5}$	$7'2 \cdot 10^{-5}$	$0'6 \cdot 10^{-5}$
	Qc+SH1	$6'83 \cdot 10^{-5}$	$6'92 \cdot 10^{-5}$	$6'87 \cdot 10^{-5}$	$0'07 \cdot 10^{-5}$
	Qc+SH2	$7'29 \cdot 10^{-5}$	$7'38 \cdot 10^{-5}$	$7'33 \cdot 10^{-5}$	$0'07 \cdot 10^{-5}$
24	Qc	$6'1 \cdot 10^{-5}$	$5'6 \cdot 10^{-5}$	$5'8 \cdot 10^{-5}$	$0'3 \cdot 10^{-5}$
	Qc+SH1	$3'1 \cdot 10^{-5}$	$3'9 \cdot 10^{-5}$	$4'0 \cdot 10^{-5}$	$0'2 \cdot 10^{-5}$
	Qc+SH2	$5'91 \cdot 10^{-5}$	$6'03 \cdot 10^{-5}$	$5'97 \cdot 10^{-5}$	$0'09 \cdot 10^{-5}$
48	Qc	$5'2 \cdot 10^{-5}$	$4'9 \cdot 10^{-5}$	$5'1 \cdot 10^{-5}$	$0'2 \cdot 10^{-5}$
	Qc+SH1	$3'75 \cdot 10^{-5}$	$3'85 \cdot 10^{-5}$	$3'80 \cdot 10^{-5}$	$0'07 \cdot 10^{-5}$
	Qc+SH2	$5'0 \cdot 10^{-5}$	$5'6 \cdot 10^{-5}$	$5'3 \cdot 10^{-5}$	$0'4 \cdot 10^{-5}$
96	Qc	$0'07 \cdot 10^{-5}$	$0'03 \cdot 10^{-5}$	$0'05 \cdot 10^{-5}$	$0'03 \cdot 10^{-5}$
	Qc+SH1	$0'3 \cdot 10^{-5}$	$0'1 \cdot 10^{-5}$	$0'2 \cdot 10^{-5}$	$0'1 \cdot 10^{-5}$
	Qc+SH2	$0'10 \cdot 10^{-5}$	$0'09 \cdot 10^{-5}$	$0'10 \cdot 10^{-5}$	$0'01 \cdot 10^{-5}$
168	Qc	$0'0 \cdot 10^{-5}$	$0'0 \cdot 10^{-5}$	$0'0 \cdot 10^{-5}$	$0'0 \cdot 10^{-5}$
	Qc+SH1	$0'0 \cdot 10^{-5}$	$0'0 \cdot 10^{-5}$	$0'0 \cdot 10^{-5}$	$0'0 \cdot 10^{-5}$
	Qc+SH2	$0'0 \cdot 10^{-5}$	$0'0 \cdot 10^{-5}$	$0'0 \cdot 10^{-5}$	$0'0 \cdot 10^{-5}$
360	Qc	$0'0 \cdot 10^{-5}$	$0'0 \cdot 10^{-5}$	$0'0 \cdot 10^{-5}$	$0'0 \cdot 10^{-5}$
	Qc+SH1	$0'0 \cdot 10^{-5}$	$0'0 \cdot 10^{-5}$	$0'0 \cdot 10^{-5}$	$0'0 \cdot 10^{-5}$
	Qc+SH2	$0'0 \cdot 10^{-5}$	$0'0 \cdot 10^{-5}$	$0'0 \cdot 10^{-5}$	$0'0 \cdot 10^{-5}$

Tabla.IX.58. Concentración de Fe en forma de isómero meso y d,l-racémico que permanece en Qc, Qc+SH1 y Qc+SH2 tras la interacción con óxido de Mn.

Tiempo (horas)	Muestra	Isómeros	Concentración Fe (o-EDDHA) (M)		(Conc) _{media} (M)	Desv. estándar
			1	2		
0	Qc	Racémico	3'3·10 ⁻⁵	3'9·10 ⁻⁵	3'7·10 ⁻⁵	0'4·10 ⁻⁵
		Meso	3'4·10 ⁻⁵	3'7·10 ⁻⁵	3'5·10 ⁻⁵	0'2·10 ⁻⁵
	Qc+SH1	Racémico	3'87·10 ⁻⁵	3'81·10 ⁻⁵	3'84·10 ⁻⁵	0'04·10 ⁻⁵
		Meso	3'0·10 ⁻⁵	3'1·10 ⁻⁵	3'1·10 ⁻⁵	0'1·10 ⁻⁵
	Qc+SH2	Racémico	3'9·10 ⁻⁵	4'2·10 ⁻⁵	4'0·10 ⁻⁵	0'2·10 ⁻⁵
		Meso	3'4·10 ⁻⁵	3'2·10 ⁻⁵	3'3·10 ⁻⁵	0'1·10 ⁻⁵
24	Qc	Racémico	3'71·10 ⁻⁵	3'61·10 ⁻⁵	3'66·10 ⁻⁵	0'07·10 ⁻⁵
		Meso	2'4·10 ⁻⁵	2'0·10 ⁻⁵	2'2·10 ⁻⁵	0'3·10 ⁻⁵
	Qc+SH1	Racémico	2'40·10 ⁻⁵	2'48·10 ⁻⁵	2'44·10 ⁻⁵	0'06·10 ⁻⁵
		Meso	1'7·10 ⁻⁵	1'4·10 ⁻⁵	1'6·10 ⁻⁵	0'3·10 ⁻⁵
	Qc+SH2	Racémico	3'5·10 ⁻⁵	3'7·10 ⁻⁵	3'6·10 ⁻⁵	0'2·10 ⁻⁵
		Meso	2'39·10 ⁻⁵	2'29·10 ⁻⁵	2'34·10 ⁻⁵	0'07·10 ⁻⁵
48	Qc	Racémico	3'707·10 ⁻⁵	3'708·10 ⁻⁵	3'708·10 ⁻⁵	0'001·10 ⁻⁵
		Meso	1'5·10 ⁻⁵	1'2·10 ⁻⁵	1'4·10 ⁻⁵	0'2·10 ⁻⁵
	Qc+SH1	Racémico	2'36·10 ⁻⁵	2'48·10 ⁻⁵	2'42·10 ⁻⁵	0'09·10 ⁻⁵
		Meso	1'39·10 ⁻⁵	1'36·10 ⁻⁵	1'38·10 ⁻⁵	0'02·10 ⁻⁵
	Qc+SH2	Racémico	3'5·10 ⁻⁵	3'7·10 ⁻⁵	3'6·10 ⁻⁵	0'1·10 ⁻⁵
		Meso	1'5·10 ⁻⁵	1'9·10 ⁻⁵	1'7·10 ⁻⁵	0'3
96	Qc	Racémico	0'0	0'0	0'0	0'0
		Meso	0'07·10 ⁻⁵	0'03·10 ⁻⁵	0'05·10 ⁻⁵	0'03·10 ⁻⁵
	Qc+SH1	Racémico	0'0	0'0	0'0	0'0
		Meso	0'3·10 ⁻⁵	0'1·10 ⁻⁵	0'2·10 ⁻⁵	0'1·10 ⁻⁵
	Qc+SH2	Racémico	0'0	0'0	0'0	0'0
		Meso	0'1·10 ⁻⁵	0'08·10 ⁻⁵	0'09·10 ⁻⁵	0'01·10 ⁻⁵
168	Qc	Racémico	0'0	0'0	0'0	0'0
		Meso	0'0	0'0	0'0	0'0
	Qc+SH1	Racémico	0'0	0'0	0'0	0'0
		Meso	0'0	0'0	0'0	0'0
	Qc+SH2	Racémico	0'0	0'0	0'0	0'0
		Meso	0'0	0'0	0'0	0'0
360	Qc	Racémico	0'0	0'0	0'0	0'0
		Meso	0'0	0'0	0'0	0'0
	Qc+SH1	Racémico	0'0	0'0	0'0	0'0
		Meso	0'0	0'0	0'0	0'0
	Qc+SH2	Racémico	0'0	0'0	0'0	0'0
		Meso	0'0	0'0	0'0	0'0

Tabla.IX.59. Concentración de Fe total que permanece en Qc, Qc+SH1 y Qc+SH2 tras la interacción con óxido de Mn.

Tiempo (horas)	Muestra	Concentración Fe (M)			(Conc.) _{media} (M)	Desv. estándar
		1	2	3		
0	Qc	1'51·10 ⁻⁴	1'51·10 ⁻⁴	1'43·10 ⁻⁴	1'48·10 ⁻⁴	0'05·10 ⁻⁴
	Qc+SH1	1'46·10 ⁻⁴	1'46·10 ⁻⁴	1'42·10 ⁻⁴	1'45·10 ⁻⁴	0'02·10 ⁻⁴
	Qc+SH2	1'53·10 ⁻⁴	1'51·10 ⁻⁴	1'51·10 ⁻⁴	1'52·10 ⁻⁴	0'01·10 ⁻⁴
24	Qc	0'59·10 ⁻⁴	0'55·10 ⁻⁴	0'57·10 ⁻⁴	0'57·10 ⁻⁴	0'02·10 ⁻⁴
	Qc+SH1	0'61·10 ⁻⁴	0'64·10 ⁻⁴	0'74·10 ⁻⁴	0'66·10 ⁻⁴	0'06·10 ⁻⁴
	Qc+SH2	0'57·10 ⁻⁴	0'55·10 ⁻⁴	0'55·10 ⁻⁴	0'56·10 ⁻⁴	0'01·10 ⁻⁴
48	Qc	0'49·10 ⁻⁴	0'51·10 ⁻⁴	0'47·10 ⁻⁴	0'49·10 ⁻⁴	0'02·10 ⁻⁴
	Qc+SH1	0'58·10 ⁻⁴	0'61·10 ⁻⁴	0'61·10 ⁻⁴	0'60·10 ⁻⁴	0'02·10 ⁻⁴
	Qc+SH2	0'51·10 ⁻⁴	0'49·10 ⁻⁴	0'47·10 ⁻⁴	0'49·10 ⁻⁴	0'02·10 ⁻⁴
96	Qc	0'39·10 ⁻⁴	0'39·10 ⁻⁴	0'41·10 ⁻⁴	0'39·10 ⁻⁴	0'01·10 ⁻⁴
	Qc+SH1	0'46·10 ⁻⁴	0'49·10 ⁻⁴	0'46·10 ⁻⁴	0'47·10 ⁻⁴	0'02·10 ⁻⁴
	Qc+SH2	0'37·10 ⁻⁴	0'41·10 ⁻⁴	0'39·10 ⁻⁴	0'39·10 ⁻⁴	0'02·10 ⁻⁴
168	Qc	0'35·10 ⁻⁴	0'37·10 ⁻⁴	0'32·10 ⁻⁴	0'35·10 ⁻⁴	0'2·10 ⁻⁴
	Qc+SH1	0'46·10 ⁻⁴	0'42·10 ⁻⁴	0'42·10 ⁻⁴	0'44·10 ⁻⁴	0'02·10 ⁻⁴
	Qc+SH2	0'37·10 ⁻⁴	0'41·10 ⁻⁴	0'39·10 ⁻⁴	0'39·10 ⁻⁴	0'02·10 ⁻⁴
360	Qc	0'37·10 ⁻⁴	0'35·10 ⁻⁴	0'32·10 ⁻⁴	0'35·10 ⁻⁴	0'02·10 ⁻⁴
	Qc+SH1	0'42·10 ⁻⁴	0'46·10 ⁻⁴	0'39·10 ⁻⁴	0'42·10 ⁻⁴	0'03·10 ⁻⁴
	Qc+SH2	0'35·10 ⁻⁴	0'32·10 ⁻⁴	0'32·10 ⁻⁴	0'33·10 ⁻⁴	0'01·10 ⁻⁴

Tabla.IX.60. Concentración de Mn total solubilizada por Qc, SH1, Qc+SH1, SH2, Qc+SH2 y H₂O tras la interacción con óxido de Mn.

Tiempo (horas)	Muestra	Concentración Mn (M)			(Conc.) _{media} (M)	Desv. estándar
		1	2	3		
0	Qc	0'0·10 ⁻⁵	0'0·10 ⁻⁵	0'0·10 ⁻⁵	0'0·10 ⁻⁵	0'0·10 ⁻⁵
	SH1	0'0·10 ⁻⁵	0'0·10 ⁻⁵	0'0·10 ⁻⁵	0'0·10 ⁻⁵	0'0·10 ⁻⁵
	Qc+SH1	0'0·10 ⁻⁵	0'0·10 ⁻⁵	0'0·10 ⁻⁵	0'0·10 ⁻⁵	0'0·10 ⁻⁵
	SH2	0'44·10 ⁻⁵	0'34·10 ⁻⁵	0'33·10 ⁻⁵	0'36·10 ⁻⁵	0'07·10 ⁻⁵
	Qc+SH2	0'0·10 ⁻⁵	0'0·10 ⁻⁵	0'0·10 ⁻⁵	0'0·10 ⁻⁵	0'0·10 ⁻⁵
	agua	0'0·10 ⁻⁵	0'0·10 ⁻⁵	0'0·10 ⁻⁵	0'0·10 ⁻⁵	0'0·10 ⁻⁵
24	Qc	0'916·10 ⁻⁵	0'901·10 ⁻⁵	0'916·10 ⁻⁵	0'911·10 ⁻⁵	0'009·10 ⁻⁵
	SH1	0'61·10 ⁻⁵	0'45·10 ⁻⁵	0'58·10 ⁻⁵	0'55·10 ⁻⁵	0'1·10 ⁻⁵
	Qc+SH1	1'2·10 ⁻⁵	1'1·10 ⁻⁵	1'5·10 ⁻⁵	1'3·10 ⁻⁵	0'2·10 ⁻⁵
	SH2	0'7·10 ⁻⁵	0'5·10 ⁻⁵	0'4·10 ⁻⁵	0'5·10 ⁻⁵	0'1·10 ⁻⁵
	Qc+SH2	0'83·10 ⁻⁵	0'99·10 ⁻⁵	0'92·10 ⁻⁵	0'91·10 ⁻⁵	0'08·10 ⁻⁵
	agua	0'37·10 ⁻⁵	0'28·10 ⁻⁵	0'44·10 ⁻⁵	0'36·10 ⁻⁵	0'09·10 ⁻⁵
48	Qc	0'77·10 ⁻⁵	0'73·10 ⁻⁵	0'69·10 ⁻⁵	0'73·10 ⁻⁵	0'04·10 ⁻⁵
	SH1	0'31·10 ⁻⁵	0'37·10 ⁻⁵	0'41·10 ⁻⁵	0'36·10 ⁻⁵	0'05·10 ⁻⁵
	Qc+SH1	1'2·10 ⁻⁵	0'9·10 ⁻⁵	1'1·10 ⁻⁵	1'1·10 ⁻⁵	0'1·10 ⁻⁵
	SH2	0'39·10 ⁻⁵	0'34·10 ⁻⁵	0'36·10 ⁻⁵	0'36·10 ⁻⁵	0'03·10 ⁻⁵
	Qc+SH2	0'77·10 ⁻⁵	0'73·10 ⁻⁵	0'69·10 ⁻⁵	0'73·10 ⁻⁵	0'04·10 ⁻⁵
	agua	0'41·10 ⁻⁵	0'31·10 ⁻⁵	0'37·10 ⁻⁵	0'36·10 ⁻⁵	0'05·10 ⁻⁵
96	Qc	0'7·10 ⁻⁵	0'7·10 ⁻⁵	0'5·10 ⁻⁵	0'5·10 ⁻⁵	0'1·10 ⁻⁵
	SH1	0'46·10 ⁻⁵	0'30·10 ⁻⁵	0'33·10 ⁻⁵	0'36·10 ⁻⁵	0'09·10 ⁻⁵
	Qc+SH1	0'2·10 ⁻⁵	0'5·10 ⁻⁵	0'3·10 ⁻⁵	0'4·10 ⁻⁵	0'2·10 ⁻⁵
	SH2	0'4·10 ⁻⁵	0'2·10 ⁻⁵	0'4·10 ⁻⁵	0'4·10 ⁻⁵	0'1·10 ⁻⁵
	Qc+SH2	0'54·10 ⁻⁵	0'47·10 ⁻⁵	0'62·10 ⁻⁵	0'54·10 ⁻⁵	0'07·10 ⁻⁵
	agua	0'13·10 ⁻⁵	0'30·10 ⁻⁵	0'13·10 ⁻⁵	0'18·10 ⁻⁵	0'09·10 ⁻⁵
168	Qc	0'40·10 ⁻⁵	0'32·10 ⁻⁵	0'37·10 ⁻⁵	0'36·10 ⁻⁵	0'04·10 ⁻⁵
	SH1	0'14·10 ⁻⁵	0'26·10 ⁻⁵	0'14·10 ⁻⁵	0'18·10 ⁻⁵	0'06·10 ⁻⁵
	Qc+SH1	0'27·10 ⁻⁵	0'18·10 ⁻⁵	0'10·10 ⁻⁵	0'18·10 ⁻⁵	0'09·10 ⁻⁵
	SH2	0'15·10 ⁻⁵	0'23·10 ⁻⁵	0'17·10 ⁻⁵	0'18·10 ⁻⁵	0'04·10 ⁻⁵
	Qc+SH2	0'4·10 ⁻⁵	0'4·10 ⁻⁵	0'2·10 ⁻⁵	0'4·10 ⁻⁵	0'1·10 ⁻⁵
	agua	0'09·10 ⁻⁵	0'20·10 ⁻⁵	0'26·10 ⁻⁵	0'18·10 ⁻⁵	0'09·10 ⁻⁵
360	Qc	0'17·10 ⁻⁵	0'12·10 ⁻⁵	0'25·10 ⁻⁵	0'18·10 ⁻⁵	0'06·10 ⁻⁵
	SH1	0'28·10 ⁻⁵	0'14·10 ⁻⁵	0'13·10 ⁻⁵	0'18·10 ⁻⁵	0'08·10 ⁻⁵
	Qc+SH1	0'17·10 ⁻⁵	0'20·10 ⁻⁵	0'18·10 ⁻⁵	0'18·10 ⁻⁵	0'01·10 ⁻⁵
	SH2	0'15·10 ⁻⁵	0'20·10 ⁻⁵	0'20·10 ⁻⁵	0'18·10 ⁻⁵	0'03·10 ⁻⁵
	Qc+SH2	0'25·10 ⁻⁵	0'12·10 ⁻⁵	0'18·10 ⁻⁵	0'18·10 ⁻⁵	0'06·10 ⁻⁵
	agua	0'16·10 ⁻⁵	0'13·10 ⁻⁵	0'26·10 ⁻⁵	0'18·10 ⁻⁵	0'07·10 ⁻⁵

Tabla.IX.61. Concentración de Fe (o-EDDHA) que permanece en Qs, Qs+SH1 y Qs+SH2 tras la interacción con hidróxido de Al.

Tiempo (horas)	Muestra	Concentración Fe (o-EDDHA) (M)		(Concentración) _{media} (M)	Desv. estándar
		1	2		
0	Qs	1'70·10 ⁻⁴	1'73·10 ⁻⁴	1'72·10 ⁻⁴	0'02·10 ⁻⁴
	Qs+SH1	1'72·10 ⁻⁴	1'74·10 ⁻⁴	1'73·10 ⁻⁴	0'01·10 ⁻⁴
	Qs+SH2	1'702·10 ⁻⁴	1'708·10 ⁻⁴	1'705·10 ⁻⁴	0'005·10 ⁻⁴
24	Qs	1'658·10 ⁻⁴	1'670·10 ⁻⁴	1'664·10 ⁻⁴	0'008·10 ⁻⁴
	Qs+SH1	1'72·10 ⁻⁴	1'70·10 ⁻⁴	1'71·10 ⁻⁴	0'01·10 ⁻⁴
	Qs+SH2	1'70·10 ⁻⁴	1'67·10 ⁻⁴	1'68·10 ⁻⁴	0'02·10 ⁻⁴
48	Qs	1'687·10 ⁻⁴	1'690·10 ⁻⁴	1'689·10 ⁻⁴	0'002·10 ⁻⁴
	Qs+SH1	1'70·10 ⁻⁴	1'66·10 ⁻⁴	1'68·10 ⁻⁴	0'03·10 ⁻⁴
	Qs+SH2	1'713·10 ⁻⁴	1'709·10 ⁻⁴	1'711·10 ⁻⁴	0'003·10 ⁻⁴
96	Qs	1'670·10 ⁻⁴	1'666·10 ⁻⁴	1'668·10 ⁻⁴	0'002·10 ⁻⁴
	Qs+SH1	1'70·10 ⁻⁴	1'68·10 ⁻⁴	1'69·10 ⁻⁴	0'01·10 ⁻⁴
	Qs+SH2	1'66·10 ⁻⁴	1'74·10 ⁻⁴	1'70·10 ⁻⁴	0'06·10 ⁻⁴
168	Qs	1'720·10 ⁻⁴	1'729·10 ⁻⁴	1'725·10 ⁻⁴	0'007·10 ⁻⁴
	Qs+SH1	1'74·10 ⁻⁴	1'70·10 ⁻⁴	1'72·10 ⁻⁴	0'03·10 ⁻⁴
	Qs+SH2	1'67·10 ⁻⁴	1'70·10 ⁻⁴	1'69·10 ⁻⁴	0'02·10 ⁻⁴
360	Qs	1'72·10 ⁻⁴	1'70·10 ⁻⁴	1'71·10 ⁻⁴	0'01·10 ⁻⁴
	Qs+SH1	1'63·10 ⁻⁴	1'68·10 ⁻⁴	1'66·10 ⁻⁴	0'04·10 ⁻⁴
	Qs+SH2	1'68·10 ⁻⁴	1'70·10 ⁻⁴	1'69·10 ⁻⁴	0'01·10 ⁻⁴

Tabla.IX.62. Concentración de Fe (o-EDDHA) que permanece en Qc, Qc+SH1 y Qc+SH2 tras la interacción con hidróxido de Al.

Tiempo (horas)	Muestra	Concentración Fe (o-EDDHA) (M)		(Conc.) _{media} (M)	Desv. estándar
		1	2		
0	Qc	7'9·10 ⁻⁵	7'2·10 ⁻⁵	7'5·10 ⁻⁵	0'5·10 ⁻⁵
	Qc+SH1	7'4·10 ⁻⁵	7'9·10 ⁻⁵	7'6·10 ⁻⁵	0'4·10 ⁻⁵
	Qc+SH2	7'3·10 ⁻⁵	8'0·10 ⁻⁵	7'6·10 ⁻⁵	0'5·10 ⁻⁵
24	Qc	7'6·10 ⁻⁵	7'8·10 ⁻⁵	7'7·10 ⁻⁵	0'2·10 ⁻⁵
	Qc+SH1	7'91·10 ⁻⁵	7'85·10 ⁻⁵	7'88·10 ⁻⁵	0'04·10 ⁻⁵
	Qc+SH2	7'91·10 ⁻⁵	7'85·10 ⁻⁵	7'88·10 ⁻⁵	0'04·10 ⁻⁵
48	Qc	7'9789·10 ⁻⁵	7'9782·10 ⁻⁵	7'9786·10 ⁻⁵	0'0005·10 ⁻⁵
	Qc+SH1	8'2·10 ⁻⁵	7'8·10 ⁻⁵	8'0·10 ⁻⁵	0'2·10 ⁻⁵
	Qc+SH2	8'11·10 ⁻⁵	8'04·10 ⁻⁵	8'08·10 ⁻⁵	0'04·10 ⁻⁵
96	Qc	7'8·10 ⁻⁵	8'0·10 ⁻⁵	7'9·10 ⁻⁵	0'1·10 ⁻⁵
	Qc+SH1	8'01·10 ⁻⁵	7'92·10 ⁻⁵	7'97·10 ⁻⁵	0'07·10 ⁻⁵
	Qc+SH2	7'91·10 ⁻⁵	7'95·10 ⁻⁵	7'93·10 ⁻⁵	0'03·10 ⁻⁵
168	Qc	7'9·10 ⁻⁵	7'7·10 ⁻⁵	7'8·10 ⁻⁵	0'2·10 ⁻⁵
	Qc+SH1	7'8·10 ⁻⁵	8'0·10 ⁻⁵	7'9·10 ⁻⁵	0'1·10 ⁻⁵
	Qc+SH2	8'02·10 ⁻⁵	7'99·10 ⁻⁵	8'01·10 ⁻⁵	0'02·10 ⁻⁵
360	Qc	7'9·10 ⁻⁵	8'2·10 ⁻⁵	8'1·10 ⁻⁵	0'2·10 ⁻⁵
	Qc+SH1	8'11·10 ⁻⁵	8'06·10 ⁻⁵	8'09·10 ⁻⁵	0'04·10 ⁻⁵
	Qc+SH2	8'06·10 ⁻⁵	8'09·10 ⁻⁵	8'08·10 ⁻⁵	0'02·10 ⁻⁵

Tabla.IX.63. Concentración de Fe total que permanece en Qc, Qc+SH1 y Qc+SH2 tras la interacción con hidróxido de AL.

Tiempo (horas)	Muestra	Concentración Fe (M)			(Conc.) _{media} (M)	Desv. estándar
		1	2	3		
0	Qc	1'76·10 ⁻⁴	1'65·10 ⁻⁴	1'63·10 ⁻⁴	1'68·10 ⁻⁴	0'07·10 ⁻⁴
	Qc+SH1	1'55·10 ⁻⁴	1'57·10 ⁻⁴	1'57·10 ⁻⁴	1'56·10 ⁻⁴	0'01·10 ⁻⁴
	Qc+SH2	1'69·10 ⁻⁴	1'65·10 ⁻⁴	1'67·10 ⁻⁴	1'67·10 ⁻⁴	0'02·10 ⁻⁴
24	Qc	1'29·10 ⁻⁴	1'31·10 ⁻⁴	1'24·10 ⁻⁴	1'28·10 ⁻⁴	0'04·10 ⁻⁴
	Qc+SH1	1'295·10 ⁻⁴	1'307·10 ⁻⁴	1'295·10 ⁻⁴	1'299·10 ⁻⁴	0'007·10 ⁻⁴
	Qc+SH2	1'33·10 ⁻⁴	1'29·10 ⁻⁴	1'33·10 ⁻⁴	1'32·10 ⁻⁴	0'02·10 ⁻⁴
48	Qc	1'22·10 ⁻⁴	1'26·10 ⁻⁴	1'28·10 ⁻⁴	1'25·10 ⁻⁴	0'03·10 ⁻⁴
	Qc+SH1	1'24·10 ⁻⁴	1'29·10 ⁻⁴	1'18·10 ⁻⁴	1'20·10 ⁻⁴	0'03·10 ⁻⁴
	Qc+SH2	1'29·10 ⁻⁴	1'29·10 ⁻⁴	1'22·10 ⁻⁴	1'27·10 ⁻⁴	0'05·10 ⁻⁴
96	Qc	1'12·10 ⁻⁴	1'16·10 ⁻⁴	1'29·10 ⁻⁴	1'19·10 ⁻⁴	0'09·10 ⁻⁴
	Qc+SH1	1'08·10 ⁻⁴	1'04·10 ⁻⁴	1'16·10 ⁻⁴	1'09·10 ⁻⁴	0'06·10 ⁻⁴
	Qc+SH2	1'20·10 ⁻⁴	1'08·10 ⁻⁴	1'24·10 ⁻⁴	1'17·10 ⁻⁴	0'08·10 ⁻⁴
168	Qc	1'20·10 ⁻⁴	1'14·10 ⁻⁴	1'18·10 ⁻⁴	1'17·10 ⁻⁴	0'03·10 ⁻⁴
	Qc+SH1	1'12·10 ⁻⁴	1'12·10 ⁻⁴	1'14·10 ⁻⁴	1'12·10 ⁻⁴	0'01·10 ⁻⁴
	Qc+SH2	1'16·10 ⁻⁴	1'14·10 ⁻⁴	1'20·10 ⁻⁴	1'16·10 ⁻⁴	0'03·10 ⁻⁴
360	Qc	1'16·10 ⁻⁴	1'14·10 ⁻⁴	1'18·10 ⁻⁴	1'16·10 ⁻⁴	0'02·10 ⁻⁴
	Qc+SH1	1'118·10 ⁻⁴	1'130·10 ⁻⁴	1'118·10 ⁻⁴	1'122·10 ⁻⁴	0'06·10 ⁻⁴
	Qc+SH2	1'16·10 ⁻⁴	1'16·10 ⁻⁴	1'12·10 ⁻⁴	1'14·10 ⁻⁴	0'02·10 ⁻⁴

Tabla.IX.64. Concentración de Fe (o-EDDHA) que permanece en Qs, Qs+SH1 y Qs+SH2 tras la interacción con Turba.

Tiempo (horas)	Muestra	Concentración Fe (o-EDDHA) (M)			(Conc.) _{media} (M)	Desv. estándar
		1	2	3		
0	Qs	1'67·10 ⁻⁴	1'73·10 ⁻⁴	1'66·10 ⁻⁴	1'69·10 ⁻⁴	0'04·10 ⁻⁴
	Qs+SH1	1'5·10 ⁻⁴	1'6·10 ⁻⁴	1'7·10 ⁻⁴	1'6·10 ⁻⁴	0'1·10 ⁻⁴
	Qs+SH2	1'71·10 ⁻⁴	1'65·10 ⁻⁴	1'69·10 ⁻⁴	1'68·10 ⁻⁴	0'03·10 ⁻⁴
24	Qs	1'54·10 ⁻⁴	1'54·10 ⁻⁴	1'49·10 ⁻⁴	1'51·10 ⁻⁴	0'02·10 ⁻⁴
	Qs+SH1	1'468·10 ⁻⁴	1'477·10 ⁻⁴	--	1'473·10 ⁻⁴	0'006·10 ⁻⁴
	Qs+SH2	1'46·10 ⁻⁴	1'49·10 ⁻⁴	--	1'47·10 ⁻⁴	0'02·10 ⁻⁴
48	Qs	1'43·10 ⁻⁴	1'43·10 ⁻⁴	1'51·10 ⁻⁴	1'46·10 ⁻⁴	0'05·10 ⁻⁴
	Qs+SH1	1'45·10 ⁻⁴	1'49·10 ⁻⁴	--	1'47·10 ⁻⁴	0'03·10 ⁻⁴
	Qs+SH2	1'44·10 ⁻⁴	1'34·10 ⁻⁴	--	1'39·10 ⁻⁴	0'07·10 ⁻⁴
96	Qs	1'484·10 ⁻⁴	1'486·10 ⁻⁴	1'496·10 ⁻⁴	1'488·10 ⁻⁴	0'008·10 ⁻⁴
	Qs+SH1	1'51·10 ⁻⁴	1'43·10 ⁻⁴	--	1'47·10 ⁻⁴	0'06·10 ⁻⁴
	Qs+SH2	1'47·10 ⁻⁴	1'48·10 ⁻⁴	--	1'47·10 ⁻⁴	0'01·10 ⁻⁴
168	Qs	1'49·10 ⁻⁴	1'43·10 ⁻⁴	1'49·10 ⁻⁴	1'47·10 ⁻⁴	0'03·10 ⁻⁴
	Qs+SH1	1'42·10 ⁻⁴	1'47·10 ⁻⁴	--	1'45·10 ⁻⁴	0'03·10 ⁻⁴
	Qs+SH2	1'4040·10 ⁻⁴	1'4036·10 ⁻⁴	--	1'4038·10 ⁻⁴	0'0003·10 ⁻⁴
360	Qs	1'38·10 ⁻⁴	1'41·10 ⁻⁴	1'44·10 ⁻⁴	1'41·10 ⁻⁴	0'03·10 ⁻⁴
	Qs+SH1	1'38·10 ⁻⁴	1'44·10 ⁻⁴	--	1'41·10 ⁻⁴	0'04·10 ⁻⁴
	Qs+SH2	1'29·10 ⁻⁴	1'31·10 ⁻⁴	--	1'30·10 ⁻⁴	0'02·10 ⁻⁴

Tabla.IX.65. Concentración de Fe en forma de isómero meso y d,l-racémico que permanece en Qs, Qs+SH1 y Qs+SH2 tras la interacción con Turba.

Tiempo (horas)	Muestra	Isómeros	Concentración Fe o-EDDHA (M) x10 ⁵			(Conc) _{media} (M) x10 ⁵	Desv. Estándar X10 ⁵
			1	2	3		
0	Qs	Racémico	8'5	8'9	8'5	8'7	0'2
		Meso	8'2	8'4	8'1	8'2	0'2
	Qs+SH1	Racémico	8'2	8'9	9'0	8'7	0'4
		Meso	6'5	7'2	8'2	7'3	0'8
	Qs+SH2	Racémico	8'6	8'7	8'5	8'6	0'1
		Meso	8'3	8'3	8'0	8'2	0'2
24	Qs	Racémico	8'6	8'3	8'0	8'3	0'3
		Meso	6'77	6'79	6'92	6'83	0'08
	Qs+SH1	Racémico	7'81	7'86	--	7'83	0'03
		Meso	6'87	6'91	--	6'89	0'1
	Qs+SH2	Racémico	7'9	7'8	--	7'8	0'1
		Meso	6'97	6'85	--	6'91	0'08
48	Qs	Racémico	7'5	7'7	8'5	7'9	0'5
		Meso	6'73	6'66	6'60	6'66	0'07
	Qs+SH1	Racémico	7'7	7'9	--	7'8	0'2
		Meso	6'8	7'0	--	6'9	0'1
	Qs+SH2	Racémico	7'6	7'4	--	7'5	0'2
		Meso	6'8	6'1	--	6'4	0'6
96	Qs	Racémico	7'9	8'0	8'1	8'0	0'1
		Meso	6'95	6'84	6'86	6'88	0'06
	Qs+SH1	Racémico	8'8	7'8	--	8'0	0'3
		Meso	6'9	6'6	--	6'7	0'3
	Qs+SH2	Racémico	8'0	8'3	--	8'1	0'2
		Meso	6'66	6'54	--	6'60	0'08
168	Qs	Racémico	8'0	7'6	8'7	8'1	0'5
		Meso	6'9	6'7	6'1	6'5	0'4
	Qs+SH1	Racémico	7'8'0	8'3	--	8'1	0'2
		Meso	6'2	6'5	--	6'3	0'2
	Qs+SH2	Racémico	7'78	7'65	--	7'72	0'09
		Meso	6'26	6'38	--	6'32	0'09
360	Qs	Racémico	7'6	7'7	8'1	7'8	0'3
		Meso	6'25	6'36	6'37	6'33	0'07
	Qs+SH1	Racémico	7'6	8'0	--	7'8	0'2
		Meso	6'2	6'4	--	6'3	0'2
	Qs+SH2	Racémico	7'3	7'4	--	7'3	0'03
		Meso	5'6	5'8	--	5'7	0'1

Tabla.IX.66. Concentración de Zn total solubilizada por Qs, SH1, Qs+SH1, SH2, Qs+SH2 y H₂O tras la interacción con Turba.

Tiempo (horas)	Muestra	Concentración Zn (M)			(Conc.) _{media} (M)	Desv. estándar
		1	2	3		
0	Qs	0'0·10 ⁻⁵	0'0·10 ⁻⁵	0'0·10 ⁻⁵	0'0·10 ⁻⁵	0'0·10 ⁻⁵
	SH1	0'0·10 ⁻⁵	0'0·10 ⁻⁵	0'0·10 ⁻⁵	0'0·10 ⁻⁵	0'0·10 ⁻⁵
	Qs+SH1	0'0·10 ⁻⁵	0'0·10 ⁻⁵	0'0·10 ⁻⁵	0'0·10 ⁻⁵	0'0·10 ⁻⁵
	SH2	0'6·10 ⁻⁵	0'3·10 ⁻⁵	0'1·10 ⁻⁵	0'3·10 ⁻⁵	0'1·10 ⁻⁵
	Qs+SH2	0'40·10 ⁻⁵	0'26·10 ⁻⁵	0'26·10 ⁻⁵	0'31·10 ⁻⁵	0'09·10 ⁻⁵
	agua	0'0·10 ⁻⁵	0'0·10 ⁻⁵	0'0·10 ⁻⁵	0'0·10 ⁻⁵	0'0·10 ⁻⁵
24	Qs	0'6·10 ⁻⁵	1'1·10 ⁻⁵	0'6·10 ⁻⁵	0'8·10 ⁻⁵	0'3·10 ⁻⁵
	SH1	0'7·10 ⁻⁵	0'5·10 ⁻⁵	0'7·10 ⁻⁵	0'6·10 ⁻⁵	0'1·10 ⁻⁵
	Qs+SH1	0'82·10 ⁻⁵	0'68·10 ⁻⁵	0'79·10 ⁻⁵	0'76·10 ⁻⁵	0'08·10 ⁻⁵
	SH2	0'3·10 ⁻⁵	0'4·10 ⁻⁵	0'2·10 ⁻⁵	0'3·10 ⁻⁵	0'1·10 ⁻⁵
	Qs+SH2	0'26·10 ⁻⁵	0'33·10 ⁻⁵	0'33·10 ⁻⁵	0'31·10 ⁻⁵	0'04·10 ⁻⁵
	agua	0'48·10 ⁻⁵	0'52·10 ⁻⁵	0'37·10 ⁻⁵	0'46·10 ⁻⁵	0'08·10 ⁻⁵
48	Qs	0'8·10 ⁻⁵	1'1·10 ⁻⁵	0'8·10 ⁻⁵	0'9·10 ⁻⁵	0'2·10 ⁻⁵
	SH1	0'2·10 ⁻⁵	0'7·10 ⁻⁵	0'5·10 ⁻⁵	0'5·10 ⁻⁵	0'2·10 ⁻⁵
	Qs+SH1	1'13·10 ⁻⁵	0'96·10 ⁻⁵	1'13·10 ⁻⁵	1'07·10 ⁻⁵	0'09·10 ⁻⁵
	SH2	0'6·10 ⁻⁵	1'1·10 ⁻⁵	0'3·10 ⁻⁵	0'3·10 ⁻⁵	0'2·10 ⁻⁵
	Qs+SH2	0'7·10 ⁻⁵	0'6·10 ⁻⁵	1'0·10 ⁻⁵	0'8·10 ⁻⁵	0'2·10 ⁻⁵
	agua	0'4·10 ⁻⁵	0'7·10 ⁻⁵	0'2·10 ⁻⁵	0'5·10 ⁻⁵	0'2·10 ⁻⁵
96	Qs	1'4·10 ⁻⁵	1'7·10 ⁻⁵	1'6·10 ⁻⁵	1'5·10 ⁻⁵	0'2·10 ⁻⁵
	SH1	0'5·10 ⁻⁵	0'6·10 ⁻⁵	0'8·10 ⁻⁵	0'6·10 ⁻⁵	0'2·10 ⁻⁵
	Qs+SH1	1'2·10 ⁻⁵	1'8·10 ⁻⁵	2'0·10 ⁻⁵	1'7·10 ⁻⁵	0'4·10 ⁻⁵
	SH2	0'7·10 ⁻⁵	0'4·10 ⁻⁵	0'7·10 ⁻⁵	0'6·10 ⁻⁵	0'2·10 ⁻⁵
	Qs+SH2	0'66·10 ⁻⁵	0'63·10 ⁻⁵	0'55·10 ⁻⁵	0'61·10 ⁻⁵	0'05·10 ⁻⁵
	agua	0'3·10 ⁻⁵	0'4·10 ⁻⁵	0'6·10 ⁻⁵	0'5·10 ⁻⁵	0'2·10 ⁻⁵
168	Qs	1'59·10 ⁻⁵	1'59·10 ⁻⁵	1'44·10 ⁻⁵	1'54·10 ⁻⁵	0'09·10 ⁻⁵
	SH1	1'01·10 ⁻⁵	1'13·10 ⁻⁵	1'07·10 ⁻⁵	1'07·10 ⁻⁵	0'06·10 ⁻⁵
	Qs+SH1	1'80·10 ⁻⁵	1'80·10 ⁻⁵	1'91·10 ⁻⁵	1'84·10 ⁻⁵	0'07·10 ⁻⁵
	SH2	0'70·10 ⁻⁵	0'85·10 ⁻⁵	0'75·10 ⁻⁵	0'77·10 ⁻⁵	0'08·10 ⁻⁵
	Qs+SH2	0'85·10 ⁻⁵	0'98·10 ⁻⁵	0'92·10 ⁻⁵	0'92·10 ⁻⁵	0'07·10 ⁻⁵
	agua	0'4·10 ⁻⁵	0'9·10 ⁻⁵	0'5·10 ⁻⁵	0'6·10 ⁻⁵	0'2·10 ⁻⁵
360	Qs	1'4·10 ⁻⁵	1'2·10 ⁻⁵	1'1·10 ⁻⁵	1'2·10 ⁻⁵	0'2·10 ⁻⁵
	SH1	1'0·10 ⁻⁵	1'3·10 ⁻⁵	1'3·10 ⁻⁵	1'2·10 ⁻⁵	0'2·10 ⁻⁵
	Qs+SH1	1'6·10 ⁻⁵	1'4·10 ⁻⁵	1'7·10 ⁻⁵	1'5·10 ⁻⁵	0'2·10 ⁻⁵
	SH2	0'6·10 ⁻⁵	0'9·10 ⁻⁵	0'8·10 ⁻⁵	0'8·10 ⁻⁵	0'2·10 ⁻⁵
	Qs+SH2	0'7·10 ⁻⁵	1'1·10 ⁻⁵	1'4·10 ⁻⁵	1'1·10 ⁻⁵	0'3·10 ⁻⁵
	agua	0'9·10 ⁻⁵	0'6·10 ⁻⁵	0'8·10 ⁻⁵	0'8·10 ⁻⁵	0'2·10 ⁻⁵

Tabla.IX.67. Concentración de Fe (o-EDDHA) que permanece en Qc, Qc+SH1 y Qc+SH2 tras la interacción con Turba.

Tiempo (horas)	Muestra	Concentración Fe (o-EDDHA) (M)			(Conc.) _{media} (M)	Desv. estándar
		1	2	3		
0	Qc	7'1·10 ⁻⁵	8'1·10 ⁻⁵	6'0·10 ⁻⁵	7'1·10 ⁻⁵	0'9·10 ⁻⁵
	Qc+SH1	7'8·10 ⁻⁵	7'8·10 ⁻⁵	6'2·10 ⁻⁵	7'3·10 ⁻⁵	0'9·10 ⁻⁵
	Qc+SH2	7'0·10 ⁻⁵	7'7·10 ⁻⁵	7'9·10 ⁻⁵	7'5·10 ⁻⁵	0'5·10 ⁻⁵
24	Qc	4'3·10 ⁻⁵	4'2·10 ⁻⁵	--	4'2·10 ⁻⁵	0'1·10 ⁻⁵
	Qc+SH1	4'39·10 ⁻⁵	4'32·10 ⁻⁵	--	4'35·10 ⁻⁵	0'05·10 ⁻⁵
	Qc+SH2	4'3·10 ⁻⁵	4'1·10 ⁻⁵	--	4'2·10 ⁻⁵	0'1·10 ⁻⁵
48	Qc	3'7·10 ⁻⁵	3'7·10 ⁻⁵	3'8·10 ⁻⁵	3'8·10 ⁻⁵	0'1·10 ⁻⁵
	Qc+SH1	4'1·10 ⁻⁵	4'3·10 ⁻⁵	--	4'2·10 ⁻⁵	0'2·10 ⁻⁵
	Qc+SH2	4'3·10 ⁻⁵	3'6·10 ⁻⁵	--	4'0·10 ⁻⁵	0'5·10 ⁻⁵
96	Qc	3'9·10 ⁻⁵	3'7·10 ⁻⁵	3'7·10 ⁻⁵	3'8·10 ⁻⁵	0'1·10 ⁻⁵
	Qc+SH1	4'6·10 ⁻⁵	3'9·10 ⁻⁵	--	4'2·10 ⁻⁵	0'5·10 ⁻⁵
	Qc+SH2	3'7·10 ⁻⁵	4'0·10 ⁻⁵	--	3'8·10 ⁻⁵	0'2·10 ⁻⁵
168	Qc	3'3·10 ⁻⁵	4'8·10 ⁻⁵	3'7·10 ⁻⁵	3'9·10 ⁻⁵	0'7·10 ⁻⁵
	Qc+SH1	3'5·10 ⁻⁵	4'4·10 ⁻⁵	--	3'9·10 ⁻⁵	0'7·10 ⁻⁵
	Qc+SH2	3'84·10 ⁻⁵	3'87·10 ⁻⁵	--	3'85·10 ⁻⁵	0'02·10 ⁻⁵
360	Qc	4'0·10 ⁻⁵	3'7·10 ⁻⁵	--	3'9·10 ⁻⁵	0'2·10 ⁻⁵
	Qc+SH1	3'5·10 ⁻⁵	4'1·10 ⁻⁵	--	3'8·10 ⁻⁵	0'4·10 ⁻⁵
	Qc+SH2	3'4·10 ⁻⁵	3'7·10 ⁻⁵	--	3'5·10 ⁻⁵	0'2·10 ⁻⁵

Tabla.IX.68. Concentración de Fe en forma de isómero meso y d,l-racémico que permanece en Qc, Qc+SH1 y Qc+SH2 tras la interacción con Turba.

Tiempo (horas)	Muestra	Isómeros	Concentración Fe (o-EDDHA) (M) x10 ⁵			(Conc) _{media} (M) x10 ⁵	Desv. Estándar X10 ⁵
			1	2	3		
0	Qc	Racémico	3'6	4'0	3'3	3'6	0'4
		Meso	3'5	4'1	2'7	3'4	0'7
	Qc+SH1	Racémico	4'1	2'9	4'2	3'7	0'7
		Meso	3'7	3'3	3'6	3'5	0'2
	Qc+SH2	Racémico	3'6	4'0	4'2	3'9	0'3
		Meso	3'4	3'7	3'7	3'6	0'2
24	Qc	Racémico	2'46	2'57	--	2'51	0'08
		Meso	1'9	1'6	--	1'7	0'2
	Qc+SH1	Racémico	2'60	2'61	--	2'61	0'02
		Meso	1'79	1'70	--	1'74	0'07
	Qc+SH2	Racémico	2'58	2'51	--	2'55	0'05
		Meso	1'66	1'58	--	1'62	0'06
48	Qc	Racémico	2'1	2'4	2'3	2'2	0'1
		Meso	1'6	1'3	1'6	1'5	0'1
	Qc+SH1	Racémico	2'4	2'7	--	2'5	0'2
		Meso	1'71	1'67	--	1'69	0'03
	Qc+SH2	Racémico	2'7	2'1	--	2'4	0'4
		Meso	1'66	1'54	--	1'60	0'08
96	Qc	Racémico	2'7	2'3	2'1	2'4	0'3
		Meso	1'3	1'5	1'7	1'5	
	Qc+SH1	Racémico	2'7	2'2	--	2'5	0'4
		Meso	1'8	1'7	--	1'8	0'1
	Qc+SH2	Racémico	2'4	1'9	--	2'1	0'3
		Meso	1'7	2'1	--	1'9	0'2
168	Qc	Racémico	1'8	3'0	2'2	2'3	0'6
		Meso	1'5	1'7	1'4	1'5	0'2
	Qc+SH1	Racémico	2'1	2'6	--	2'4	0'3
		Meso	1'3	1'8	--	1'6	0'3
	Qc+SH2	Racémico	2'37	2'34	--	2'35	0'02
		Meso	1'47	1'53	--	1'50	0'04
360	Qc	Racémico	2'24	2'31	--	2'27	0'04
		Meso	1'7	1'3	--	1'5	0'2
	Qc+SH1	Racémico	2'1	2'4	--	2'2	0'2
		Meso	1'4	1'7	--	1'5	0'2
	Qc+SH2	Racémico	2'2	2'5	--	2'4	0'2
		Meso	1'13	1'22	--	1'17	0'06

Tabla.IX.69. Concentración de Fe total que permanece en Qc, Qc+SH1 y Qc+SH2 tras la interacción con Turba.

Tiempo (horas)	Muestra	Concentración Fe (M)			(Conc.) _{media} (M)	Desv. estándar
		1	2	3		
0	Qc	1'53·10 ⁻⁴	1'62·10 ⁻⁴	1'62·10 ⁻⁴	1'59·10 ⁻⁴	0'05·10 ⁻⁴
	Qc+SH1	1'62·10 ⁻⁴	1'69·10 ⁻⁴	1'79·10 ⁻⁴	1'70·10 ⁻⁴	0'08·10 ⁻⁴
	Qc+SH2	1'59·10 ⁻⁴	1'56·10 ⁻⁴	1'65·10 ⁻⁴	1'60·10 ⁻⁴	0'04·10 ⁻⁴
24	Qc	0'65·10 ⁻⁴	0'68·10 ⁻⁴	0'55·10 ⁻⁴	0'63·10 ⁻⁴	0'07·10 ⁻⁴
	Qc+SH1	0'70·10 ⁻⁴	0'59·10 ⁻⁴	0'68·10 ⁻⁴	0'66·10 ⁻⁴	0'06·10 ⁻⁴
	Qc+SH2	0'68·10 ⁻⁴	0'61·10 ⁻⁴	0'68·10 ⁻⁴	0'66·10 ⁻⁴	0'5·10 ⁻⁴
48	Qc	0'59·10 ⁻⁴	0'43·10 ⁻⁴	0'56·10 ⁻⁴	0'53·10 ⁻⁴	0'08·10 ⁻⁴
	Qc+SH1	0'58·10 ⁻⁴	0'59·10 ⁻⁴	0'65·10 ⁻⁴	0'61·10 ⁻⁴	0'04·10 ⁻⁴
	Qc+SH2	0'46·10 ⁻⁴	0'53·10 ⁻⁴	0'56·10 ⁻⁴	0'52·10 ⁻⁴	0'05·10 ⁻⁴
96	Qc	0'53·10 ⁻⁴	0'53·10 ⁻⁴	0'48·10 ⁻⁴	0'51·10 ⁻⁴	0'03·10 ⁻⁴
	Qc+SH1	0'50·10 ⁻⁴	0'56·10 ⁻⁴	0'53·10 ⁻⁴	0'53·10 ⁻⁴	0'03·10 ⁻⁴
	Qc+SH2	0'53·10 ⁻⁴	0'56·10 ⁻⁴	0'53·10 ⁻⁴	0'54·10 ⁻⁴	0'02·10 ⁻⁴
168	Qc	0'53·10 ⁻⁴	0'62·10 ⁻⁴	0'56·10 ⁻⁴	0'57·10 ⁻⁴	0'5·10 ⁻⁴
	Qc+SH1	0'62·10 ⁻⁴	0'58·10 ⁻⁴	0'59·10 ⁻⁴	0'60·10 ⁻⁴	0'02·10 ⁻⁴
	Qc+SH2	0'53·10 ⁻⁴	0'56·10 ⁻⁴	0'53·10 ⁻⁴	0'54·10 ⁻⁴	0'02·10 ⁻⁴
360	Qc	0'56·10 ⁻⁴	0'56·10 ⁻⁴	0'50·10 ⁻⁴	0'54·10 ⁻⁴	0'04·10 ⁻⁴
	Qc+SH1	0'60·10 ⁻⁴	0'58·10 ⁻⁴	0'53·10 ⁻⁴	0'57·10 ⁻⁴	0'03·10 ⁻⁴
	Qc+SH2	0'53·10 ⁻⁴	0'46·10 ⁻⁴	0'50·10 ⁻⁴	0'50·10 ⁻⁴	0'03·10 ⁻⁴

Tabla.IX.70. Concentración de Zn total solubilizada por Qc, SH1, Qc+SH1, SH2, Qc+SH2 y H₂O tras la interacción con Turba.

Tiempo (horas)	Muestra	Concentración Zn (M)			(Conc.) _{media} (M)	Desv. estándar
		1	2	3		
0	Qc	0'06·10 ⁻⁵	0'22·10 ⁻⁵	0'14·10 ⁻⁵	0'14·10 ⁻⁵	0'08·10 ⁻⁵
	SH1	0'0·10 ⁻⁵	0'0·10 ⁻⁵	0'0·10 ⁻⁵	0'0·10 ⁻⁵	0'0·10 ⁻⁵
	Qc+SH1	0'22·10 ⁻⁵	0'14·10 ⁻⁵	0'14·10 ⁻⁵	0'17·10 ⁻⁵	0'05·10 ⁻⁵
	SH2	0'6·10 ⁻⁵	0'3·10 ⁻⁵	0'1·10 ⁻⁵	0'3·10 ⁻⁵	0'1·10 ⁻⁵
	Qc+SH2	0'13·10 ⁻⁵	0'13·10 ⁻⁵	0'05·10 ⁻⁵	0'11·10 ⁻⁵	0'05·10 ⁻⁵
	agua	0'0·10 ⁻⁵	0'0·10 ⁻⁵	0'0·10 ⁻⁵	0'0·10 ⁻⁵	0'0·10 ⁻⁵
24	Qc	0'39·10 ⁻⁵	0'30·10 ⁻⁵	0'39·10 ⁻⁵	0'36·10 ⁻⁵	0'05·10 ⁻⁵
	SH1	0'7·10 ⁻⁵	0'5·10 ⁻⁵	0'7·10 ⁻⁵	0'6·10 ⁻⁵	0'1·10 ⁻⁵
	Qc+SH1	0'39·10 ⁻⁵	0'53·10 ⁻⁵	0'47·10 ⁻⁵	0'46·10 ⁻⁵	0'07·10 ⁻⁵
	SH2	0'3·10 ⁻⁵	0'4·10 ⁻⁵	0'2·10 ⁻⁵	0'3·10 ⁻⁵	0'1·10 ⁻⁵
	Qc+SH2	0'29·10 ⁻⁵	0'43·10 ⁻⁵	0'29·10 ⁻⁵	0'34·10 ⁻⁵	0'08·10 ⁻⁵
	agua	0'48·10 ⁻⁵	0'52·10 ⁻⁵	0'37·10 ⁻⁵	0'46·10 ⁻⁵	0'08·10 ⁻⁵
48	Qc	0'4·10 ⁻⁵	0'2·10 ⁻⁵	0'5·10 ⁻⁵	0'4·10 ⁻⁵	0'1·10 ⁻⁵
	SH1	0'2·10 ⁻⁵	0'7·10 ⁻⁵	0'5·10 ⁻⁵	0'5·10 ⁻⁵	0'2·10 ⁻⁵
	Qc+SH1	0'66·10 ⁻⁵	0'71·10 ⁻⁵	0'63·10 ⁻⁵	0'67·10 ⁻⁵	0'04·10 ⁻⁵
	SH2	0'6·10 ⁻⁵	1'1·10 ⁻⁵	0'3·10 ⁻⁵	0'3·10 ⁻⁵	0'2·10 ⁻⁵
	Qc+SH2	0'53·10 ⁻⁵	0'53·10 ⁻⁵	0'45·10 ⁻⁵	0'50·10 ⁻⁵	0'05·10 ⁻⁵
	agua	0'4·10 ⁻⁵	0'7·10 ⁻⁵	0'2·10 ⁻⁵	0'5·10 ⁻⁵	0'2·10 ⁻⁵
96	Qc	0'5·10 ⁻⁵	0'9·10 ⁻⁵	0'8·10 ⁻⁵	0'7·10 ⁻⁵	0'2·10 ⁻⁵
	SH1	0'5·10 ⁻⁵	0'6·10 ⁻⁵	0'8·10 ⁻⁵	0'6·10 ⁻⁵	0'2·10 ⁻⁵
	Qc+SH1	0'80·10 ⁻⁵	0'96·10 ⁻⁵	0'92·10 ⁻⁵	0'89·10 ⁻⁵	0'08·10 ⁻⁵
	SH2	0'7·10 ⁻⁵	0'4·10 ⁻⁵	0'7·10 ⁻⁵	0'6·10 ⁻⁵	0'2·10 ⁻⁵
	Qc+SH2	0'76·10 ⁻⁵	0'84·10 ⁻⁵	0'74·10 ⁻⁵	0'78·10 ⁻⁵	0'05·10 ⁻⁵
	agua	0'3·10 ⁻⁵	0'4·10 ⁻⁵	0'6·10 ⁻⁵	0'5·10 ⁻⁵	0'2·10 ⁻⁵
168	Qc	1'0·10 ⁻⁵	1'4·10 ⁻⁵	1'2·10 ⁻⁵	1'2·10 ⁻⁵	0'2·10 ⁻⁵
	SH1	1'01·10 ⁻⁵	1'13·10 ⁻⁵	1'07·10 ⁻⁵	1'07·10 ⁻⁵	0'06·10 ⁻⁵
	Qc+SH1	1'3·10 ⁻⁵	1'2·10 ⁻⁵	1'5·10 ⁻⁵	1'3·10 ⁻⁵	0'2·10 ⁻⁵
	SH2	0'70·10 ⁻⁵	0'85·10 ⁻⁵	0'75·10 ⁻⁵	0'77·10 ⁻⁵	0'08·10 ⁻⁵
	Qc+SH2	1'55·10 ⁻⁵	1'39·10 ⁻⁵	1'47·10 ⁻⁵	1'47·10 ⁻⁵	0'08·10 ⁻⁵
	agua	0'4·10 ⁻⁵	0'9·10 ⁻⁵	0'5·10 ⁻⁵	0'6·10 ⁻⁵	0'2·10 ⁻⁵
360	Qc	1'45·10 ⁻⁵	1'45·10 ⁻⁵	1'29·10 ⁻⁵	1'40·10 ⁻⁵	0'09·10 ⁻⁵
	SH1	1'0·10 ⁻⁵	1'3·10 ⁻⁵	1'3·10 ⁻⁵	1'2·10 ⁻⁵	0'2·10 ⁻⁵
	Qc+SH1	1'4·10 ⁻⁵	1'5·10 ⁻⁵	1'3·10 ⁻⁵	1'4·10 ⁻⁵	0'1·10 ⁻⁵
	SH2	0'6·10 ⁻⁵	0'9·10 ⁻⁵	0'8·10 ⁻⁵	0'8·10 ⁻⁵	0'2·10 ⁻⁵
	Qc+SH2	1'55·10 ⁻⁵	1'39·10 ⁻⁵	1'55·10 ⁻⁵	1'50·10 ⁻⁵	0'09·10 ⁻⁵
	agua	0'9·10 ⁻⁵	0'6·10 ⁻⁵	0'8·10 ⁻⁵	0'8·10 ⁻⁵	0'2·10 ⁻⁵

Tabla.IX.71. Concentración de Fe (o-EDDHA) que permanece en Qs, Qs+SH1 y Qs+SH2 tras la interacción con suelo de vid (SV).

Tiempo (horas)	Muestra	Concentración Fe (o-EDDHA) (M)		(Conc.) _{media} (M)	Desv. estándar
		1	2		
0	Qs	1'70·10 ⁻⁴	1'67·10 ⁻⁴	1'69·10 ⁻⁴	0'02·10 ⁻⁴
	Qs+SH1	1'75·10 ⁻⁴	1'65·10 ⁻⁴	1'70·10 ⁻⁴	0'06·10 ⁻⁴
	Qs+SH2	1'75·10 ⁻⁴	1'66·10 ⁻⁴	1'71·10 ⁻⁴	0'06·10 ⁻⁴
24	Qs	1'63·10 ⁻⁴	1'65·10 ⁻⁴	1'64·10 ⁻⁴	0'02·10 ⁻⁴
	Qs+SH1	1'66·10 ⁻⁴	1'68·10 ⁻⁴	1'67·10 ⁻⁴	0'02·10 ⁻⁴
	Qs+SH2	1'68·10 ⁻⁴	1'72·10 ⁻⁴	1'70·10 ⁻⁴	0'03·10 ⁻⁴
48	Qs	1'73·10 ⁻⁴	1'70·10 ⁻⁴	1'71·10 ⁻⁴	0'02·10 ⁻⁴
	Qs+SH1	1'66·10 ⁻⁴	1'67·10 ⁻⁴	1'67·10 ⁻⁴	0'01·10 ⁻⁴
	Qs+SH2	1'67·10 ⁻⁴	1'72·10 ⁻⁴	1'69·10 ⁻⁴	0'04·10 ⁻⁴
96	Qs	1'64·10 ⁻⁴	1'66·10 ⁻⁴	1'65·10 ⁻⁴	0'01·10 ⁻⁴
	Qs+SH1	1'697·10 ⁻⁴	1'692·10 ⁻⁴	1'695·10 ⁻⁴	0'003·10 ⁻⁴
	Qs+SH2	1'64·10 ⁻⁴	1'67	1'65·10 ⁻⁴	0'02·10 ⁻⁴
168	Qs	1'65·10 ⁻⁴	1'69·10 ⁻⁴	1'67·10 ⁻⁴	0'03·10 ⁻⁴
	Qs+SH1	1'71·10 ⁻⁴	1'63·10 ⁻⁴	1'67·10 ⁻⁴	0'06·10 ⁻⁴
	Qs+SH2	1'6·10 ⁻⁴	1'8·10 ⁻⁴	1'7·10 ⁻⁴	0'1·10 ⁻⁴
360	Qs	1'68·10 ⁻⁴	1'66·10 ⁻⁴	1'67·10 ⁻⁴	0'01·10 ⁻⁴
	Qs+SH1	1'68·10 ⁻⁴	1'67·10 ⁻⁴	1'67·10 ⁻⁴	0'01·10 ⁻⁴
	Qs+SH2	1'68·10 ⁻⁴	1'70·10 ⁻⁴	1'69·10 ⁻⁴	0'01·10 ⁻⁴

Tabla.IX.72. Concentración de Fe total en Qs, SH1, Qs+SH1, SH2, Qs+SH2 y H₂O tras la interacción con suelo de vid (SV).

Tiempo (horas)	Muestra	Concentración Fe (M)			(Conc.) _{media} (M)	Desv. estándar
		1	2	3		
0	Qs	1'76·10 ⁻⁴	1'71·10 ⁻⁴	1'59·10 ⁻⁴	1'69·10 ⁻⁴	0'09·10 ⁻⁴
	SH1	0'06·10 ⁻⁴	0'01·10 ⁻⁴	0'01·10 ⁻⁴	0'03·10 ⁻⁴	0'03·10 ⁻⁴
	Qs+SH1	1'78·10 ⁻⁴	1'71·10 ⁻⁴	1'63·10 ⁻⁴	1'70·10 ⁻⁴	0'08·10 ⁻⁴
	SH2	0'04·10 ⁻⁴	0'06·10 ⁻⁴	0'07·10 ⁻⁴	0'05·10 ⁻⁴	0'03·10 ⁻⁴
	Qs+SH2	1'8·10 ⁻⁴	1'6·10 ⁻⁴	1'7·10 ⁻⁴	1'7·10 ⁻⁴	0'1·10 ⁻⁴
	agua	0'00	0'00	0'00	0'00	0'00
24	Qs	1'71·10 ⁻⁴	1'64·10 ⁻⁴	1'62·10 ⁻⁴	1'65·10 ⁻⁴	0'04·10 ⁻⁴
	SH1	0'00·10 ⁻⁴	0'00·10 ⁻⁴	0'03·10 ⁻⁴	0'01·10 ⁻⁴	0'02·10 ⁻⁴
	Qs+SH1	1'65·10 ⁻⁴	1'68·10 ⁻⁴	1'72·10 ⁻⁴	1'68·10 ⁻⁴	0'04·10 ⁻⁴
	SH2	0'04·10 ⁻⁴	0'06·10 ⁻⁴	0'07·10 ⁻⁴	0'05·10 ⁻⁴	0'03·10 ⁻⁴
	Qs+SH2	1'7·10 ⁻⁴	1'8·10 ⁻⁴	1'6·10 ⁻⁴	1'7·10 ⁻⁴	0'1·10 ⁻⁴
	agua	0'00	0'00	0'00	0'00	0'00
48	Qs	1'69·10 ⁻⁴	1'73·10 ⁻⁴	1'72·10 ⁻⁴	1'72·10 ⁻⁴	0'02·10 ⁻⁴
	SH1	0'00·10 ⁻⁴	0'00·10 ⁻⁴	0'03·10 ⁻⁴	0'01·10 ⁻⁴	0'02·10 ⁻⁴
	Qs+SH1	1'678·10 ⁻⁴	1'664·10 ⁻⁴	1'664·10 ⁻⁴	1'669·10 ⁻⁴	0'008·10 ⁻⁴
	SH2	0'02·10 ⁻⁴	0'07·10 ⁻⁴	0'02·10 ⁻⁴	0'04·10 ⁻⁴	0'03·10 ⁻⁴
	Qs+SH2	1'74·10 ⁻⁴	1'66·10 ⁻⁴	1'68·10 ⁻⁴	1'70·10 ⁻⁴	0'04·10 ⁻⁴
	agua	0'00	0'00	0'00	0'00	0'00
96	Qs	1'65·10 ⁻⁴	1'68·10 ⁻⁴	1'62·10 ⁻⁴	1'65·10 ⁻⁴	0'03·10 ⁻⁴
	SH1	0'03·10 ⁻⁴	0'03·10 ⁻⁴	0'00·10 ⁻⁴	0'02·10 ⁻⁴	0'02·10 ⁻⁴
	Qs+SH1	1'68·10 ⁻⁴	1'64·10 ⁻⁴	1'73·10 ⁻⁴	1'68·10 ⁻⁴	0'05·10 ⁻⁴
	SH2	0'02·10 ⁻⁴	0'04·10 ⁻⁴	0'02·10 ⁻⁴	0'03·10 ⁻⁴	0'01·10 ⁻⁴
	Qs+SH2	1'63·10 ⁻⁴	1'65·10 ⁻⁴	1'68·10 ⁻⁴	1'65·10 ⁻⁴	0'03·10 ⁻⁴
	agua	0'00	0'00	0'00	0'00	0'00
168	Qs	1'66·10 ⁻⁴	1'75·10 ⁻⁴	1'63·10 ⁻⁴	1'68·10 ⁻⁴	0'06·10 ⁻⁴
	SH1	0'00	0'000	0'0	0'00	0'00
	Qs+SH1	1'66·10 ⁻⁴	1'65·10 ⁻⁴	1'69·10 ⁻⁴	1'67·10 ⁻⁴	0'02·10 ⁻⁴
	SH2	0'00	0'00	0'00	0'00	0'00
	Qs+SH2	1'74·10 ⁻⁴	1'70·10 ⁻⁴	1'59·10 ⁻⁴	1'68·10 ⁻⁴	0'08·10 ⁻⁴
	agua	0'00	0'00	0'00	0'00	0'00
360	Qs	1'67·10 ⁻⁴	1'66·10 ⁻⁴	1'71·10 ⁻⁴	1'68·10 ⁻⁴	0'03·10 ⁻⁴
	SH1	0'00	0'00	0'00	0'00	0'00
	Qs+SH1	1'66·10 ⁻⁴	1'69·10 ⁻⁴	1'72·10 ⁻⁴	1'69·10 ⁻⁴	0'03·10 ⁻⁴
	SH2	0'00	0'00	0'00	0'00	0'00
	Qs+SH2	1'68·10 ⁻⁴	1'74·10 ⁻⁴	1'72·10 ⁻⁴	1'71·10 ⁻⁴	0'03·10 ⁻⁴
	agua	0'00	0'00	0'00	0'00	0'00

Tabla.IX.73. Concentración de Fe (o-EDDHA) que permanece en Qs, Qs+SH1 y Qs+SH2 tras la interacción con suelo de cítricos (SC).

Tiempo (horas)	Muestra	Concentración Fe (o-EDDHA) (M)		(Conc.) _{media} (M)	Desv. estándar
		1	2		
0	Qs	1'681·10 ⁻⁴	1'670·10 ⁻⁴	1'675·10 ⁻⁴	0'008·10 ⁻⁴
	Qs+SH1	1'67·10 ⁻⁴	1'75·10 ⁻⁴	1'70·10 ⁻⁴	0'06·10 ⁻⁴
	Qs+SH2	1'75·10 ⁻⁴	1'66·10 ⁻⁴	1'71·10 ⁻⁴	0'06·10 ⁻⁴
24	Qs	1'63·10 ⁻⁴	1'67·10 ⁻⁴	1'65·10 ⁻⁴	0'03·10 ⁻⁴
	Qs+SH1	1'68·10 ⁻⁴	1'66·10 ⁻⁴	1'67·10 ⁻⁴	0'01·10 ⁻⁴
	Qs+SH2	1'68·10 ⁻⁴	1'59·10 ⁻⁴	1'63·10 ⁻⁴	0'06·10 ⁻⁴
48	Qs	1'68·10 ⁻⁴	1'57·10 ⁻⁴	1'63·10 ⁻⁴	0'08·10 ⁻⁴
	Qs+SH1	1'66·10 ⁻⁴	1'68·10 ⁻⁴	1'67·10 ⁻⁴	0'01·10 ⁻⁴
	Qs+SH2	1'62·10 ⁻⁴	1'65·10 ⁻⁴	1'63·10 ⁻⁴	0'02·10 ⁻⁴
96	Qs	1'74·10 ⁻⁴	1'63·10 ⁻⁴	1'68·10 ⁻⁴	0'08·10 ⁻⁴
	Qs+SH1	1'68·10 ⁻⁴	1'64·10 ⁻⁴	1'66·10 ⁻⁴	0'02·10 ⁻⁴
	Qs+SH2	1'666·10 ⁻⁴	1'670·10 ⁻⁴	1'668·10 ⁻⁴	0'003·10 ⁻⁴
168	Qs	1'672·10 ⁻⁴	1'680·10 ⁻⁴	1'676·10 ⁻⁴	0'005·10 ⁻⁴
	Qs+SH1	1'67·10 ⁻⁴	1'69·10 ⁻⁴	1'68·10 ⁻⁴	0'01·10 ⁻⁴
	Qs+SH2	1'70·10 ⁻⁴	1'65·10 ⁻⁴	1'67·10 ⁻⁴	0'04·10 ⁻⁴
360	Qs	1'67·10 ⁻⁴	1'65·10 ⁻⁴	1'66·10 ⁻⁴	0'01·10 ⁻⁴
	Qs+SH1	1'71·10 ⁻⁴	1'69·10 ⁻⁴	1'70·10 ⁻⁴	0'02·10 ⁻⁴
	Qs+SH2	1'64·10 ⁻⁴	1'67·10 ⁻⁴	1'66·10 ⁻⁴	0'03·10 ⁻⁴

Tabla.IX.74. Concentración de Fe total en Qs, SH1, Qs+SH1, SH2, Qs+SH2 y H₂O tras la interacción con suelo de cítricos (SC).

Tiempo (horas)	Muestra	Concentración Fe (M)			(Conc.) _{media} (M)	Desv. estándar
		1	2	3		
0	Qs	1'79·10 ⁻⁴	1'66·10 ⁻⁴	1'70·10 ⁻⁴	1'71·10 ⁻⁴	0'07·10 ⁻⁴
	SH1	0'06·10 ⁻⁴	0'01·10 ⁻⁴	0'01·10 ⁻⁴	0'03·10 ⁻⁴	0'03·10 ⁻⁴
	Qs+SH1	1'74·10 ⁻⁴	1'67·10 ⁻⁴	1'71·10 ⁻⁴	1'71·10 ⁻⁴	0'03·10 ⁻⁴
	SH2	0'04·10 ⁻⁴	0'06·10 ⁻⁴	0'07·10 ⁻⁴	0'05·10 ⁻⁴	0'03·10 ⁻⁴
	Qs+SH2	1'78·10 ⁻⁴	1'59·10 ⁻⁴	1'72·10 ⁻⁴	1'70·10 ⁻⁴	0'09·10 ⁻⁴
	agua	0'00·10 ⁻⁴	0'00·10 ⁻⁴	0'00·10 ⁻⁴	0'00·10 ⁻⁴	0'00·10 ⁻⁴
24	Qs	1'66·10 ⁻⁴	1'68·10 ⁻⁴	1'66·10 ⁻⁴	1'67·10 ⁻⁴	0'01·10 ⁻⁴
	SH1	0'04·10 ⁻⁴	0'00·10 ⁻⁴	0'00·10 ⁻⁴	0'02·10 ⁻⁴	0'02·10 ⁻⁴
	Qs+SH1	1'68·10 ⁻⁴	1'66·10 ⁻⁴	1'72·10 ⁻⁴	1'69·10 ⁻⁴	0'03·10 ⁻⁴
	SH2	0'02·10 ⁻⁴	0'08·10 ⁻⁴	0'04·10 ⁻⁴	0'05·10 ⁻⁴	0'03·10 ⁻⁴
	Qs+SH2	1'59·10 ⁻⁴	1'70·10 ⁻⁴	1'66·10 ⁻⁴	1'67·10 ⁻⁴	0'01·10 ⁻⁴
	agua	0'00·10 ⁻⁴	0'00·10 ⁻⁴	0'00·10 ⁻⁴	0'00·10 ⁻⁴	0'00·10 ⁻⁴
48	Qs	1'72·10 ⁻⁴	1'65·10 ⁻⁴	1'67·10 ⁻⁴	1'68·10 ⁻⁴	0'04·10 ⁻⁴
	SH1	0'00·10 ⁻⁴	0'00·10 ⁻⁴	0'00·10 ⁻⁴	0'00·10 ⁻⁴	0'02·10 ⁻⁴
	Qs+SH1	1'66·10 ⁻⁴	1'68·10 ⁻⁴	1'66·10 ⁻⁴	1'67·10 ⁻⁴	0'01·10 ⁻⁴
	SH2	0'02·10 ⁻⁴	0'02·10 ⁻⁴	0'06·10 ⁻⁴	0'05·10 ⁻⁴	0'02·10 ⁻⁴
	Qs+SH2	1'67·10 ⁻⁴	1'67·10 ⁻⁴	1'63·10 ⁻⁴	1'66·10 ⁻⁴	0'03·10 ⁻⁴
	agua	0'00·10 ⁻⁴	0'00·10 ⁻⁴	0'00·10 ⁻⁴	0'00·10 ⁻⁴	0'01·10 ⁻⁴
96	Qs	1'68·10 ⁻⁴	1'66·10 ⁻⁴	1'66·10 ⁻⁴	1'67·10 ⁻⁴	0'01·10 ⁻⁴
	SH1	0'00·10 ⁻⁴	0'01·10 ⁻⁴	0'00·10 ⁻⁴	0'00·10 ⁻⁴	0'01·10 ⁻⁴
	Qs+SH1	1'68·10 ⁻⁴	1'66·10 ⁻⁴	1'68·10 ⁻⁴	1'68·10 ⁻⁴	0'01·10 ⁻⁴
	SH2	0'02·10 ⁻⁴	0'04·10 ⁻⁴	0'06·10 ⁻⁴	0'04·10 ⁻⁴	0'02·10 ⁻⁴
	Qs+SH2	1'66·10 ⁻⁴	1'67·10 ⁻⁴	1'68·10 ⁻⁴	1'67·10 ⁻⁴	0'01·10 ⁻⁴
	agua	0'00·10 ⁻⁴	0'00·10 ⁻⁴	0'00·10 ⁻⁴	0'00·10 ⁻⁴	0'01·10 ⁻⁴
168	Qs	1'63·10 ⁻⁴	1'70·10 ⁻⁴	1'76·10 ⁻⁴	1'70·10 ⁻⁴	0'07·10 ⁻⁴
	SH1	0'00·10 ⁻⁴	0'00·10 ⁻⁴	0'00·10 ⁻⁴	0'00·10 ⁻⁴	0'01·10 ⁻⁴
	Qs+SH1	1'70·10 ⁻⁴	1'68·10 ⁻⁴	1'72·10 ⁻⁴	1'70·10 ⁻⁴	0'01·10 ⁻⁴
	SH2	0'04·10 ⁻⁴	0'02·10 ⁻⁴	0'02·10 ⁻⁴	0'03·10 ⁻⁴	0'01·10 ⁻⁴
	Qs+SH2	1'687·10 ⁻⁴	1'675·10 ⁻⁴	1'675·10 ⁻⁴	1'679·10 ⁻⁴	0'007·10 ⁻⁴
	agua	0'00·10 ⁻⁴	0'00·10 ⁻⁴	0'00·10 ⁻⁴	0'00·10 ⁻⁴	0'01·10 ⁻⁴
360	Qs	1'663·10 ⁻⁴	1'675·10 ⁻⁴	1'675·10 ⁻⁴	1'671·10 ⁻⁴	0'007·10 ⁻⁴
	SH1	0'00·10 ⁻⁴	0'00·10 ⁻⁴	0'00·10 ⁻⁴	0'00·10 ⁻⁴	0'01·10 ⁻⁴
	Qs+SH1	1'78·10 ⁻⁴	1'70·10 ⁻⁴	1'66·10 ⁻⁴	1'71·10 ⁻⁴	0'06·10 ⁻⁴
	SH2	0'02·10 ⁻⁴	0'04·10 ⁻⁴	0'02·10 ⁻⁴	0'03·10 ⁻⁴	0'01·10 ⁻⁴
	Qs+SH2	1'69·10 ⁻⁴	1'67·10 ⁻⁴	1'63·10 ⁻⁴	1'66·10 ⁻⁴	0'03·10 ⁻⁴
	agua	0'00·10 ⁻⁴	0'00·10 ⁻⁴	0'00·10 ⁻⁴	0'00·10 ⁻⁴	0'01·10 ⁻⁴

Tabla.IX.75. Concentración de Fe (o-EDDHA) que permanece en Qs, Qs+SH1 y Qs+SH2 tras la interacción con suelo de melocotonero (SM).

Tiempo (horas)	Muestra	Concentración Fe (o-EDDHA) (M)		(Conc.) _{media} (M)	Desv. estándar
		1	2		
0	Qs	1'71·10 ⁻⁴	1'61·10 ⁻⁴	1'66·10 ⁻⁴	0'07·10 ⁻⁴
	Qs+SH1	1'67·10 ⁻⁴	1'75·10 ⁻⁴	1'71·10 ⁻⁴	0'07·10 ⁻⁴
	Qs+SH2	1'74·10 ⁻⁴	1'70·10 ⁻⁴	1'72·10 ⁻⁴	0'03·10 ⁻⁴
24	Qs	1'67·10 ⁻⁴	1'70·10 ⁻⁴	1'68·10 ⁻⁴	0'02·10 ⁻⁴
	Qs+SH1	1'69·10 ⁻⁴	1'68·10 ⁻⁴	1'68·10 ⁻⁴	0'01·10 ⁻⁴
	Qs+SH2	1'64·10 ⁻⁴	1'62·10 ⁻⁴	1'63·10 ⁻⁴	0'02·10 ⁻⁴
48	Qs	1'651·10 ⁻⁴	1'656·10 ⁻⁴	1'653·10 ⁻⁴	0'004·10 ⁻⁴
	Qs+SH1	1'74·10 ⁻⁴	1'69·10 ⁻⁴	1'71·10 ⁻⁴	0'04·10 ⁻⁴
	Qs+SH2	1'593·10 ⁻⁴	1'599·10 ⁻⁴	1'596·10 ⁻⁴	0'004·10 ⁻⁴
96	Qs	1'67·10 ⁻⁴	1'64·10 ⁻⁴	1'66·10 ⁻⁴	0'02·10 ⁻⁴
	Qs+SH1	1'62·10 ⁻⁴	1'70·10 ⁻⁴	1'66·10 ⁻⁴	0'05·10 ⁻⁴
	Qs+SH2	1'64·10 ⁻⁴	1'70·10 ⁻⁴	1'67·10 ⁻⁴	0'04·10 ⁻⁴
168	Qs	1'68·10 ⁻⁴	1'66·10 ⁻⁴	1'67·10 ⁻⁴	0'01·10 ⁻⁴
	Qs+SH1	1'67·10 ⁻⁴	1'65·10 ⁻⁴	1'66·10 ⁻⁴	0'02·10 ⁻⁴
	Qs+SH2	1'66·10 ⁻⁴	1'63·10 ⁻⁴	1'65·10 ⁻⁴	0'02·10 ⁻⁴
360	Qs	1'58·10 ⁻⁴	1'72·10 ⁻⁴	1'65·10 ⁻⁴	0'09·10 ⁻⁴
	Qs+SH1	1'72·10 ⁻⁴	1'65·10 ⁻⁴	1'69·10 ⁻⁴	0'05·10 ⁻⁴
	Qs+SH2	1'70·10 ⁻⁴	1'67·10 ⁻⁴	1'68·10 ⁻⁴	0'03·10 ⁻⁴

Tabla.IX.76. Concentración de Fe total en Qs, SH1, Qs+SH1, SH2, Qs+SH2 y H₂O tras la interacción con suelo de melocotonero (SM).

Tiempo (horas)	Muestra	Concentración Fe (M)			(Conc.) _{media} (M)	Desv. estándar
		1	2	3		
0	Qs	1'72·10 ⁻⁴	1'69·10 ⁻⁴	1'66·10 ⁻⁴	1'69·10 ⁻⁴	0'03·10 ⁻⁴
	SH1	0'06·10 ⁻⁴	0'01·10 ⁻⁴	0'01·10 ⁻⁴	0'03·10 ⁻⁴	0'03·10 ⁻⁴
	Qs+SH1	1'78·10 ⁻⁴	1'71·10 ⁻⁴	1'70·10 ⁻⁴	1'73·10 ⁻⁴	0'04·10 ⁻⁴
	SH2	0'04·10 ⁻⁴	0'06·10 ⁻⁴	0'07·10 ⁻⁴	0'05·10 ⁻⁴	0'03·10 ⁻⁴
	Qs+SH2	1'68·10 ⁻⁴	1'65·10 ⁻⁴	1'74·10 ⁻⁴	1'69·10 ⁻⁴	0'05·10 ⁻⁴
	agua	0'00·10 ⁻⁴	0'00·10 ⁻⁴	0'00·10 ⁻⁴	0'00·10 ⁻⁴	0'00·10 ⁻⁴
24	Qs	1'76·10 ⁻⁴	1'65·10 ⁻⁴	1'69·10 ⁻⁴	1'70·10 ⁻⁴	0'06·10 ⁻⁴
	SH1	0'03·10 ⁻⁴	0'00·10 ⁻⁴	0'03·10 ⁻⁴	0'02·10 ⁻⁴	0'02·10 ⁻⁴
	Qs+SH1	1'692·10 ⁻⁴	1'706·10 ⁻⁴	1'692·10 ⁻⁴	1'697·10 ⁻⁴	0'008·10 ⁻⁴
	SH2	0'04·10 ⁻⁴	0'04·10 ⁻⁴	0'08·10 ⁻⁴	0'05·10 ⁻⁴	0'02·10 ⁻⁴
	Qs+SH2	1'65·10 ⁻⁴	1'68·10 ⁻⁴	1'65·10 ⁻⁴	1'66·10 ⁻⁴	0'02·10 ⁻⁴
	agua	0'00·10 ⁻⁴	0'00·10 ⁻⁴	0'00·10 ⁻⁴	0'00·10 ⁻⁴	0'00·10 ⁻⁴
48	Qs	1'66·10 ⁻⁴	1'72·10 ⁻⁴	1'69·10 ⁻⁴	1'69·10 ⁻⁴	0'03·10 ⁻⁴
	SH1	0'014·10 ⁻⁴	0'014·10 ⁻⁴	0'000·10 ⁻⁴	0'009·10 ⁻⁴	0'008·10 ⁻⁴
	Qs+SH1	1'73·10 ⁻⁴	1'71·10 ⁻⁴	1'68·10 ⁻⁴	1'71·10 ⁻⁴	0'03·10 ⁻⁴
	SH2	0'08·10 ⁻⁴	0'02·10 ⁻⁴	0'04·10 ⁻⁴	0'05·10 ⁻⁴	0'03·10 ⁻⁴
	Qs+SH2	1'59·10 ⁻⁴	1'68·10 ⁻⁴	1'70·10 ⁻⁴	1'66·10 ⁻⁴	0'06·10 ⁻⁴
	agua	0'00·10 ⁻⁴	0'00·10 ⁻⁴	0'00·10 ⁻⁴	0'00·10 ⁻⁴	0'00·10 ⁻⁴
96	Qs	1'71·10 ⁻⁴	1'66·10 ⁻⁴	1'66·10 ⁻⁴	1'68·10 ⁻⁴	0'02·10 ⁻⁴
	SH1	0'00·10 ⁻⁴	0'04·10 ⁻⁴	0'00·10 ⁻⁴	0'01·10 ⁻⁴	0'02·10 ⁻⁴
	Qs+SH1	1'62·10 ⁻⁴	1'69·10 ⁻⁴	1'69·10 ⁻⁴	1'68·10 ⁻⁴	0'04·10 ⁻⁴
	SH2	0'04·10 ⁻⁴	0'02·10 ⁻⁴	0'06·10 ⁻⁴	0'04·10 ⁻⁴	0'02·10 ⁻⁴
	Qs+SH2	1'68·10 ⁻⁴	1'70·10 ⁻⁴	1'68·10 ⁻⁴	1'69·10 ⁻⁴	0'01·10 ⁻⁴
	agua	0'00·10 ⁻⁴	0'00·10 ⁻⁴	0'00·10 ⁻⁴	0'00·10 ⁻⁴	0'01·10 ⁻⁴
168	Qs	1'70·10 ⁻⁴	1'71·10 ⁻⁴	1'68·10 ⁻⁴	1'70·10 ⁻⁴	0'01·10 ⁻⁴
	SH1	0'000·10 ⁻⁴	0'000·10 ⁻⁴	0'000·10 ⁻⁴	0'000·10 ⁻⁴	0'001·10 ⁻⁴
	Qs+SH1	1'72·10 ⁻⁴	1'68·10 ⁻⁴	1'66·10 ⁻⁴	1'70·10 ⁻⁴	0'02·10 ⁻⁴
	SH2	0'04·10 ⁻⁴	0'02·10 ⁻⁴	0'06·10 ⁻⁴	0'04·10 ⁻⁴	0'02·10 ⁻⁴
	Qs+SH2	1'68·10 ⁻⁴	1'65·10 ⁻⁴	1'68·10 ⁻⁴	1'67·10 ⁻⁴	0'02·10 ⁻⁴
	agua	0'00·10 ⁻⁴	0'00·10 ⁻⁴	0'00·10 ⁻⁴	0'00·10 ⁻⁴	0'01·10 ⁻⁴
360	Qs	1'63·10 ⁻⁴	1'66·10 ⁻⁴	1'70·10 ⁻⁴	1'66·10 ⁻⁴	0'03·10 ⁻⁴
	SH1	0'000·10 ⁻⁴	0'000·10 ⁻⁴	0'000·10 ⁻⁴	0'000·10 ⁻⁴	0'007·10 ⁻⁴
	Qs+SH1	1'682·10 ⁻⁴	1'682·10 ⁻⁴	1'695·10 ⁻⁴	1'686·10 ⁻⁴	0'007·10 ⁻⁴
	SH2	0'02·10 ⁻⁴	0'04·10 ⁻⁴	0'02·10 ⁻⁴	0'03·10 ⁻⁴	0'01·10 ⁻⁴
	Qs+SH2	1'70·10 ⁻⁴	1'67·10 ⁻⁴	1'67·10 ⁻⁴	1'68·10 ⁻⁴	0'02·10 ⁻⁴
	agua	0'00·10 ⁻⁴	0'00·10 ⁻⁴	0'00·10 ⁻⁴	0'00·10 ⁻⁴	0'01·10 ⁻⁴

Tabla.IX.77. Concentración de Fe (o-EDDHA) que permanece en Qc, Qc+SH1 y Qc+SH2 tras la interacción con suelo de vid (SV).

Tiempo (horas)	Muestra	Concentración Fe (o-EDDHA) (M)			(Conc.) _{media} (M)	Desv. estándar
		1	2	3		
0	Qc	$7'5 \cdot 10^{-5}$	$8'3 \cdot 10^{-5}$	$7'9 \cdot 10^{-5}$	$7'9 \cdot 10^{-5}$	$0'4 \cdot 10^{-5}$
	Qc+SH1	$8'1 \cdot 10^{-5}$	$8'2 \cdot 10^{-5}$	$7'9 \cdot 10^{-5}$	$8'1 \cdot 10^{-5}$	$0'2 \cdot 10^{-5}$
	Qc+SH2	$7'6 \cdot 10^{-5}$	$8'5 \cdot 10^{-5}$	$7'9 \cdot 10^{-5}$	$8'0 \cdot 10^{-5}$	$0'5 \cdot 10^{-5}$
24	Qc	$7'71 \cdot 10^{-5}$	$7'68 \cdot 10^{-5}$	$7'71 \cdot 10^{-5}$	$7'70 \cdot 10^{-5}$	$0'02 \cdot 10^{-5}$
	Qc+SH1	$7'1 \cdot 10^{-5}$	$8'0 \cdot 10^{-5}$	$7'8 \cdot 10^{-5}$	$7'6 \cdot 10^{-5}$	$0'5 \cdot 10^{-5}$
	Qc+SH2	$7'8 \cdot 10^{-5}$	$7'7 \cdot 10^{-5}$	$7'4 \cdot 10^{-5}$	$7'6 \cdot 10^{-5}$	$0'2 \cdot 10^{-5}$
48	Qc	$7'2 \cdot 10^{-5}$	$7'5 \cdot 10^{-5}$	$7'7 \cdot 10^{-5}$	$7'6 \cdot 10^{-5}$	$0'1 \cdot 10^{-5}$
	Qc+SH1	$7'80 \cdot 10^{-5}$	$7'75 \cdot 10^{-5}$	$7'75 \cdot 10^{-5}$	$7'75 \cdot 10^{-5}$	$0'04 \cdot 10^{-5}$
	Qc+SH2	$7'75 \cdot 10^{-5}$	$7'82 \cdot 10^{-5}$	$7'63 \cdot 10^{-5}$	$7'74 \cdot 10^{-5}$	$0'09 \cdot 10^{-5}$
96	Qc	$8'2 \cdot 10^{-5}$	$8'2 \cdot 10^{-5}$	$8'4 \cdot 10^{-5}$	$8'3 \cdot 10^{-5}$	$0'1 \cdot 10^{-5}$
	Qc+SH1	$8'5 \cdot 10^{-5}$	$8'2 \cdot 10^{-5}$	$7'1 \cdot 10^{-5}$	$7'9 \cdot 10^{-5}$	$0'7 \cdot 10^{-5}$
	Qc+SH2	$8'3 \cdot 10^{-5}$	$8'2 \cdot 10^{-5}$	$8'1 \cdot 10^{-5}$	$8'2 \cdot 10^{-5}$	$0'2 \cdot 10^{-5}$
168	Qc	$8'0 \cdot 10^{-5}$	$7'7 \cdot 10^{-5}$	$7'8 \cdot 10^{-5}$	$7'8 \cdot 10^{-5}$	$0'4 \cdot 10^{-5}$
	Qc+SH1	$8'4 \cdot 10^{-5}$	$8'0 \cdot 10^{-5}$	$7'9 \cdot 10^{-5}$	$8'1 \cdot 10^{-5}$	$0'3 \cdot 10^{-5}$
	Qc+SH2	$8'2 \cdot 10^{-5}$	$7'7 \cdot 10^{-5}$	$7'3 \cdot 10^{-5}$	$7'7 \cdot 10^{-5}$	$0'4 \cdot 10^{-5}$
360	Qc	$8'1 \cdot 10^{-5}$	$8'4 \cdot 10^{-5}$	$8'0 \cdot 10^{-5}$	$8'2 \cdot 10^{-5}$	$0'2 \cdot 10^{-5}$
	Qc+SH1	$7'9 \cdot 10^{-5}$	$7'7 \cdot 10^{-5}$	$8'1 \cdot 10^{-5}$	$7'9 \cdot 10^{-5}$	$0'2 \cdot 10^{-5}$
	Qc+SH2	$8'4 \cdot 10^{-5}$	$7'9 \cdot 10^{-5}$	$8'0 \cdot 10^{-5}$	$8'1 \cdot 10^{-5}$	$0'3 \cdot 10^{-5}$

Tabla.IX.78. Concentración de Fe total en Qc, SH1, Qc+SH1, SH2, Qc+SH2 y H₂O tras la interacción con suelo de vid (SV).

Tiempo (horas)	Muestra	Concentración Fe (M)			(Conc.) _{media} (M)	Desv. estándar
		1	2	3		
0	Qc	1'58·10 ⁻⁴	1'48·10 ⁻⁴	1'51·10 ⁻⁴	1'52·10 ⁻⁴	0'05·10 ⁻⁴
	SH1	0'06·10 ⁻⁴	0'01·10 ⁻⁴	0'01·10 ⁻⁴	0'03·10 ⁻⁴	0'03·10 ⁻⁴
	Qc+SH1	1'58·10 ⁻⁴	1'62·10 ⁻⁴	1'55·10 ⁻⁴	1'58·10 ⁻⁴	0'04·10 ⁻⁴
	SH2	0'04·10 ⁻⁴	0'06·10 ⁻⁴	0'07·10 ⁻⁴	0'05·10 ⁻⁴	0'03·10 ⁻⁴
	Qc+SH2	1'66·10 ⁻⁴	1'66·10 ⁻⁴	1'60·10 ⁻⁴	1'64·10 ⁻⁴	0'04·10 ⁻⁴
	agua	0'00·10 ⁻⁴	0'00·10 ⁻⁴	0'00·10 ⁻⁴	0'00·10 ⁻⁴	0'00·10 ⁻⁴
24	Qc	1'35·10 ⁻⁴	1'35·10 ⁻⁴	1'33·10 ⁻⁴	1'34·10 ⁻⁴	0'01·10 ⁻⁴
	SH1	0'00·10 ⁻⁴	0'00·10 ⁻⁴	0'03·10 ⁻⁴	0'01·10 ⁻⁴	0'02·10 ⁻⁴
	Qc+SH1	1'28·10 ⁻⁴	1'31·10 ⁻⁴	1'26·10 ⁻⁴	1'28·10 ⁻⁴	0'02·10 ⁻⁴
	SH2	0'04·10 ⁻⁴	0'06·10 ⁻⁴	0'07·10 ⁻⁴	0'05·10 ⁻⁴	0'03·10 ⁻⁴
	Qc+SH2	1'62·10 ⁻⁴	1'66·10 ⁻⁴	1'55·10 ⁻⁴	1'58·10 ⁻⁴	0'04·10 ⁻⁴
	agua	0'00·10 ⁻⁴	0'00·10 ⁻⁴	0'00·10 ⁻⁴	0'00·10 ⁻⁴	0'00·10 ⁻⁴
48	Qc	1'20·10 ⁻⁴	1'22·10 ⁻⁴	1'09·10 ⁻⁴	1'17·10 ⁻⁴	0'07·10 ⁻⁴
	SH1	0'00·10 ⁻⁴	0'00·10 ⁻⁴	0'03·10 ⁻⁴	0'01·10 ⁻⁴	0'02·10 ⁻⁴
	Qc+SH1	1'22·10 ⁻⁴	1'20·10 ⁻⁴	1'11·10 ⁻⁴	1'18·10 ⁻⁴	0'06·10 ⁻⁴
	SH2	0'02·10 ⁻⁴	0'07·10 ⁻⁴	0'02·10 ⁻⁴	0'04·10 ⁻⁴	0'03·10 ⁻⁴
	Qc+SH2	1'52·10 ⁻⁴	1'53·10 ⁻⁴	1'59·10 ⁻⁴	1'54·10 ⁻⁴	0'05·10 ⁻⁴
	agua	0'00·10 ⁻⁴	0'00·10 ⁻⁴	0'00·10 ⁻⁴	0'00·10 ⁻⁴	0'00·10 ⁻⁴
96	Qc	1'15·10 ⁻⁴	1'17·10 ⁻⁴	1'16·10 ⁻⁴	1'14·10 ⁻⁴	0'01·10 ⁻⁴
	SH1	0'03·10 ⁻⁴	0'03·10 ⁻⁴	0'00·10 ⁻⁴	0'02·10 ⁻⁴	0'02·10 ⁻⁴
	Qc+SH1	1'05·10 ⁻⁴	1'09·10 ⁻⁴	1'08·10 ⁻⁴	1'07·10 ⁻⁴	0'02·10 ⁻⁴
	SH2	0'02·10 ⁻⁴	0'04·10 ⁻⁴	0'02·10 ⁻⁴	0'03·10 ⁻⁴	0'01·10 ⁻⁴
	Qc+SH2	1'30·10 ⁻⁴	1'33·10 ⁻⁴	1'28·10 ⁻⁴	1'30·10 ⁻⁴	0'03·10 ⁻⁴
	agua	0'00·10 ⁻⁴	0'00·10 ⁻⁴	0'00·10 ⁻⁴	0'00·10 ⁻⁴	0'00·10 ⁻⁴
168	Qc	1'04·10 ⁻⁴	1'00·10 ⁻⁴	0'96·10 ⁻⁴	1'00·10 ⁻⁴	0'04·10 ⁻⁴
	SH1	0'00·10 ⁻⁴	0'00·10 ⁻⁴	0'00·10 ⁻⁴	0'00·10 ⁻⁴	0'00·10 ⁻⁴
	Qc+SH1	1'03·10 ⁻⁴	1'02·10 ⁻⁴	1'00·10 ⁻⁴	1'01·10 ⁻⁴	0'02·10 ⁻⁴
	SH2	0'00·10 ⁻⁴	0'00·10 ⁻⁴	0'00·10 ⁻⁴	0'00·10 ⁻⁴	0'00·10 ⁻⁴
	Qc+SH2	1'08·10 ⁻⁴	1'12·10 ⁻⁴	1'13·10 ⁻⁴	1'11·10 ⁻⁴	0'03·10 ⁻⁴
	agua	0'00·10 ⁻⁴	0'00·10 ⁻⁴	0'00·10 ⁻⁴	0'00·10 ⁻⁴	0'00·10 ⁻⁴
360	Qc	1'01·10 ⁻⁴	0'97·10 ⁻⁴	0'98·10 ⁻⁴	0'99·10 ⁻⁴	0'02·10 ⁻⁴
	SH1	0'00·10 ⁻⁴	0'00·10 ⁻⁴	0'00·10 ⁻⁴	0'00·10 ⁻⁴	0'00·10 ⁻⁴
	Qc+SH1	0'96·10 ⁻⁴	0'93·10 ⁻⁴	0'91·10 ⁻⁴	0'93·10 ⁻⁴	0'02·10 ⁻⁴
	SH2	0'00·10 ⁻⁴	0'00·10 ⁻⁴	0'00·10 ⁻⁴	0'00·10 ⁻⁴	0'00·10 ⁻⁴
	Qc+SH2	0'97·10 ⁻⁴	0'94·10 ⁻⁴	0'90·10 ⁻⁴	0'93·10 ⁻⁴	0'03·10 ⁻⁴
	agua	0'00·10 ⁻⁴	0'00·10 ⁻⁴	0'00·10 ⁻⁴	0'00·10 ⁻⁴	0'00·10 ⁻⁴

Tabla.IX.79. Concentración de Fe (o-EDDHA) que permanece en Qc, Qc+SH1 y Qc+SH2 tras la interacción con suelo de cítricos (SC).

Tiempo (horas)	Muestra	Concentración Fe (o-EDDHA) (M)			(Conc.) _{media} (M)	Desv. estándar
		1	2	3		
0	Qc	7'7·10 ⁻⁵	8'2·10 ⁻⁵	9'2·10 ⁻⁵	8'3·10 ⁻⁵	0'8·10 ⁻⁵
	Qc+SH1	7·10 ⁻⁵	8·10 ⁻⁵	10·10 ⁻⁵	9·10 ⁻⁵	2·10 ⁻⁵
	Qc+SH2	8'49·10 ⁻⁵	8'40·10 ⁻⁵	8'2·10 ⁻⁵	8'4·10 ⁻⁵	0'07·10 ⁻⁵
24	Qc	7'6·10 ⁻⁵	7'8·10 ⁻⁵	8'0·10 ⁻⁵	7'8·10 ⁻⁵	0'2·10 ⁻⁵
	Qc+SH1	8'1·10 ⁻⁵	7'5·10 ⁻⁵	7'3·10 ⁻⁵	7'6·10 ⁻⁵	0'4·10 ⁻⁵
	Qc+SH2	8'08·10 ⁻⁵	7'99·10 ⁻⁵	7'96·10 ⁻⁵	0'81·10 ⁻⁵	0'06·10 ⁻⁵
48	Qc	7'6·10 ⁻⁵	7'2·10 ⁻⁵	7'7·10 ⁻⁵	7'5·10 ⁻⁵	0'3·10 ⁻⁵
	Qc+SH1	7'6·10 ⁻⁵	7'3·10 ⁻⁵	7'5·10 ⁻⁵	7'5·10 ⁻⁵	0'1·10 ⁻⁵
	Qc+SH2	7'8·10 ⁻⁵	7'7·10 ⁻⁵	7'5·10 ⁻⁵	7'7·10 ⁻⁵	0'1·10 ⁻⁵
96	Qc	7'98·10 ⁻⁵	8'09·10 ⁻⁵	7'98·10 ⁻⁵	8'02·10 ⁻⁵	0'06·10 ⁻⁵
	Qc+SH1	8'6·10 ⁻⁵	8'3·10 ⁻⁵	8'1·10 ⁻⁵	8'4·10 ⁻⁵	0'2·10 ⁻⁵
	Qc+SH2	8'3·10 ⁻⁵	8'0·10 ⁻⁵	8'1·10 ⁻⁵	8'1·10 ⁻⁵	0'1·10 ⁻⁵
168	Qc	8'6·10 ⁻⁵	8'1·10 ⁻⁵	8'7·10 ⁻⁵	8'5·10 ⁻⁵	0'3·10 ⁻⁵
	Qc+SH1	7'9·10 ⁻⁵	8'6·10 ⁻⁵	8'6·10 ⁻⁵	8'4·10 ⁻⁵	0'4·10 ⁻⁵
	Qc+SH2	8'2·10 ⁻⁵	8'0·10 ⁻⁵	8'3·10 ⁻⁵	8'2·10 ⁻⁵	0'1·10 ⁻⁵
360	Qc	7'7·10 ⁻⁵	7'8·10 ⁻⁵	8'5·10 ⁻⁵	8'0·10 ⁻⁵	0'4·10 ⁻⁵
	Qc+SH1	7'8·10 ⁻⁵	8'1·10 ⁻⁵	8'3·10 ⁻⁵	8'1·10 ⁻⁵	0'2·10 ⁻⁵
	Qc+SH2	8'1·10 ⁻⁵	8'1·10 ⁻⁵	8'3·10 ⁻⁵	8'2·10 ⁻⁵	0'1

Tabla.IX.80. Concentración de Fe total en Qc, SH1, Qc+SH1, SH2, Qc+SH2 y H₂O tras la interacción con suelo de cítricos (SC).

Tiempo (horas)	Muestra	Concentración Fe (M)			(Conc.) _{media} (M)	Desv. estándar
		1	2	3		
0	Qc	1'75·10 ⁻⁴	1'77·10 ⁻⁴	1'73·10 ⁻⁴	1'75·10 ⁻⁴	0'02·10 ⁻⁴
	SH1	0'06·10 ⁻⁴	0'01·10 ⁻⁴	0'01·10 ⁻⁴	0'03·10 ⁻⁴	0'03·10 ⁻⁴
	Qc+SH1	1'9·10 ⁻⁴	1'7·10 ⁻⁴	1'8·10 ⁻⁴	1'8·10 ⁻⁴	0'1·10 ⁻⁴
	SH2	0'04·10 ⁻⁴	0'06·10 ⁻⁴	0'07·10 ⁻⁴	0'05·10 ⁻⁴	0'03·10 ⁻⁴
	Qc+SH2	1'87·10 ⁻⁴	1'87·10 ⁻⁴	1'82·10 ⁻⁴	1'86·10 ⁻⁴	0'05·10 ⁻⁴
	agua	0'00·10 ⁻⁴	0'00·10 ⁻⁴	0'00·10 ⁻⁴	0'00·10 ⁻⁴	0'00·10 ⁻⁴
24	Qc	1'20·10 ⁻⁴	1'37·10 ⁻⁴	1'35·10 ⁻⁴	1'31·10 ⁻⁴	0'09·10 ⁻⁴
	SH1	0'04·10 ⁻⁴	0'00·10 ⁻⁴	0'00·10 ⁻⁴	0'02·10 ⁻⁴	0'02·10 ⁻⁴
	Qc+SH1	1'35·10 ⁻⁴	1'37·10 ⁻⁴	1'20·10 ⁻⁴	1'31·10 ⁻⁴	0'09·10 ⁻⁴
	SH2	0'02·10 ⁻⁴	0'08·10 ⁻⁴	0'04·10 ⁻⁴	0'05·10 ⁻⁴	0'03·10 ⁻⁴
	Qc+SH2	1'42·10 ⁻⁴	1'46·10 ⁻⁴	1'38·10 ⁻⁴	1'42·10 ⁻⁴	0'04·10 ⁻⁴
	agua	0'00·10 ⁻⁴	0'00·10 ⁻⁴	0'00·10 ⁻⁴	0'00·10 ⁻⁴	0'00·10 ⁻⁴
48	Qc	1'15·10 ⁻⁴	1'17·10 ⁻⁴	1'22·10 ⁻⁴	1'18·10 ⁻⁴	0'04·10 ⁻⁴
	SH1	0'00·10 ⁻⁴	0'00·10 ⁻⁴	0'00·10 ⁻⁴	0'00·10 ⁻⁴	0'02·10 ⁻⁴
	Qc+SH1	1'17·10 ⁻⁴	1'26·10 ⁻⁴	1'20·10 ⁻⁴	1'21·10 ⁻⁴	0'05·10 ⁻⁴
	SH2	0'02·10 ⁻⁴	0'02·10 ⁻⁴	0'06·10 ⁻⁴	0'05·10 ⁻⁴	0'02·10 ⁻⁴
	Qc+SH2	1'29·10 ⁻⁴	1'17·10 ⁻⁴	1'20·10 ⁻⁴	1'22·10 ⁻⁴	0'07·10 ⁻⁴
	agua	0'00·10 ⁻⁴	0'00·10 ⁻⁴	0'00·10 ⁻⁴	0'00·10 ⁻⁴	0'01·10 ⁻⁴
96	Qc	1'11·10 ⁻⁴	1'20·10 ⁻⁴	1'11·10 ⁻⁴	1'14·10 ⁻⁴	0'05·10 ⁻⁴
	SH1	0'00·10 ⁻⁴	0'01·10 ⁻⁴	0'00·10 ⁻⁴	0'00·10 ⁻⁴	0'01·10 ⁻⁴
	Qc+SH1	1'11·10 ⁻⁴	1'15·10 ⁻⁴	1'20·10 ⁻⁴	1'15·10 ⁻⁴	0'05·10 ⁻⁴
	SH2	0'02·10 ⁻⁴	0'04·10 ⁻⁴	0'06·10 ⁻⁴	0'04·10 ⁻⁴	0'02·10 ⁻⁴
	Qc+SH2	1'11·10 ⁻⁴	1'09·10 ⁻⁴	1'19·10 ⁻⁴	1'13·10 ⁻⁴	0'05·10 ⁻⁴
	agua	0'00·10 ⁻⁴	0'00·10 ⁻⁴	0'00·10 ⁻⁴	0'00·10 ⁻⁴	0'01·10 ⁻⁴
168	Qc	1'24·10 ⁻⁴	1'11·10 ⁻⁴	1'15·10 ⁻⁴	1'17·10 ⁻⁴	0'06·10 ⁻⁴
	SH1	0'00·10 ⁻⁴	0'00·10 ⁻⁴	0'00·10 ⁻⁴	0'00·10 ⁻⁴	0'01·10 ⁻⁴
	Qc+SH1	1'15·10 ⁻⁴	1'09·10 ⁻⁴	1'08·10 ⁻⁴	1'11·10 ⁻⁴	0'04·10 ⁻⁴
	SH2	0'04·10 ⁻⁴	0'02·10 ⁻⁴	0'02·10 ⁻⁴	0'03·10 ⁻⁴	0'01·10 ⁻⁴
	Qc+SH2	1'20·10 ⁻⁴	1'13·10 ⁻⁴	1'11·10 ⁻⁴	1'15·10 ⁻⁴	0'05·10 ⁻⁴
	agua	0'00·10 ⁻⁴	0'00·10 ⁻⁴	0'00·10 ⁻⁴	0'00·10 ⁻⁴	0'01·10 ⁻⁴
360	Qc	1'12·10 ⁻⁴	1'18·10 ⁻⁴	1'28·10 ⁻⁴	1'19·10 ⁻⁴	0'08·10 ⁻⁴
	SH1	0'00·10 ⁻⁴	0'00·10 ⁻⁴	0'00·10 ⁻⁴	0'00·10 ⁻⁴	0'01·10 ⁻⁴
	Qc+SH1	1'20·10 ⁻⁴	1'18·10 ⁻⁴	1'15·10 ⁻⁴	1'18·10 ⁻⁴	0'03·10 ⁻⁴
	SH2	0'02·10 ⁻⁴	0'04·10 ⁻⁴	0'02·10 ⁻⁴	0'03·10 ⁻⁴	0'01·10 ⁻⁴
	Qc+SH2	1'17·10 ⁻⁴	1'18·10 ⁻⁴	1'19·10 ⁻⁴	1'18·10 ⁻⁴	0'01·10 ⁻⁴
	agua	0'00·10 ⁻⁴	0'00·10 ⁻⁴	0'00·10 ⁻⁴	0'00·10 ⁻⁴	0'01·10 ⁻⁴

Tabla.IX.81. Concentración de Fe (o-EDDHA) que permanece en Qc, Qc+SH1 y Qc+SH2 tras la interacción con suelo de melocotonero (SM).

Tiempo (horas)	Muestra	Concentración Fe (o-EDDHA) (M)			(Conc.) _{media} (M)	Desv. estándar
		1	2	3		
0	Qc	8'1·10 ⁻⁵	7'7·10 ⁻⁵	7'9·10 ⁻⁵	7'9·10 ⁻⁵	0'2·10 ⁻⁵
	Qc+SH1	8'03·10 ⁻⁵	7'89·10 ⁻⁵	7'91·10 ⁻⁵	7'95·10 ⁻⁵	0'08·10 ⁻⁵
	Qc+SH2	8'1·10 ⁻⁵	8'2·10 ⁻⁵	7'9·10 ⁻⁵	8'1·10 ⁻⁵	0'4·10 ⁻⁵
24	Qc	7'4·10 ⁻⁵	7'6·10 ⁻⁵	7'8·10 ⁻⁵	7'6·10 ⁻⁵	0'2·10 ⁻⁵
	Qc+SH1	7'79·10 ⁻⁵	7'76·10 ⁻⁵	7'71·10 ⁻⁵	7'75·10 ⁻⁵	0'04·10 ⁻⁵
	Qc+SH2	7'7·10 ⁻⁵	7'5·10 ⁻⁵	7'7·10 ⁻⁵	7'6·10 ⁻⁵	0'1·10 ⁻⁵
48	Qc	8'3·10 ⁻⁵	7'6·10 ⁻⁵	7'6·10 ⁻⁵	7'9·10 ⁻⁵	0'4·10 ⁻⁵
	Qc+SH1	7'7·10 ⁻⁵	7'7·10 ⁻⁵	8'0·10 ⁻⁵	7'8·10 ⁻⁵	0'2·10 ⁻⁵
	Qc+SH2	7'83·10 ⁻⁵	7'87·10 ⁻⁵	7'86·10 ⁻⁵	7'86·10 ⁻⁵	0'02·10 ⁻⁵
96	Qc	7'83·10 ⁻⁵	7'81·10 ⁻⁵	7'87·10 ⁻⁵	7'84·10 ⁻⁵	0'03·10 ⁻⁵
	Qc+SH1	7'7·10 ⁻⁵	8'2·10 ⁻⁵	7'7·10 ⁻⁵	7'9·10 ⁻⁵	0'3·10 ⁻⁵
	Qc+SH2	7'8·10 ⁻⁵	7'7·10 ⁻⁵	8'2·10 ⁻⁵	7'9·10 ⁻⁵	0'3·10 ⁻⁵
168	Qc	7'9·10 ⁻⁵	8'1·10 ⁻⁵	7'8·10 ⁻⁵	7'9·10 ⁻⁵	0'1·10 ⁻⁵
	Qc+SH1	7'80·10 ⁻⁵	7'69·10 ⁻⁵	7'66·10 ⁻⁵	7'71·10 ⁻⁵	0'07·10 ⁻⁵
	Qc+SH2	7'9·10 ⁻⁵	7'7·10 ⁻⁵	8'0·10 ⁻⁵	7'9·10 ⁻⁵	0'2·10 ⁻⁵
360	Qc	7'75·10 ⁻⁵	7'83·10 ⁻⁵	7'89·10 ⁻⁵	7'82·10 ⁻⁵	0'07·10 ⁻⁵
	Qc+SH1	7'78·10 ⁻⁵	7'74·10 ⁻⁵	7'80·10 ⁻⁵	7'7·10 ⁻⁵	0'03·10 ⁻⁵
	Qc+SH2	7'2·10 ⁻⁵	8'2·10 ⁻⁵	7'9·10 ⁻⁵	7'9·10 ⁻⁵	0'2·10 ⁻⁵

Tabla.IX.82. Concentración de Fe total en Qc, SH1, Qc+SH1, SH2, Qc+SH2 y H₂O tras la interacción con suelo de melocotonero (SM).

Tiempo (horas)	Muestra	Concentración Fe (M)			(Conc.) _{media} (M)	Desv. estándar
		1	2	3		
0	Qc	1'78·10 ⁻⁴	1'78·10 ⁻⁴	1'76·10 ⁻⁴	1'78·10 ⁻⁴	0'01·10 ⁻⁴
	SH1	0'06·10 ⁻⁴	0'01·10 ⁻⁴	0'01·10 ⁻⁴	0'03·10 ⁻⁴	0'03·10 ⁻⁴
	Qc+SH1	1'90·10 ⁻⁴	1'90·10 ⁻⁴	1'85·10 ⁻⁴	1'88·10 ⁻⁴	0'03·10 ⁻⁴
	SH2	0'04·10 ⁻⁴	0'06·10 ⁻⁴	0'07·10 ⁻⁴	0'05·10 ⁻⁴	0'03·10 ⁻⁴
	Qc+SH2	1'88·10 ⁻⁴	1'91·10 ⁻⁴	1'87·10 ⁻⁴	1'89·10 ⁻⁴	0'02·10 ⁻⁴
	agua	0'00·10 ⁻⁴	0'00·10 ⁻⁴	0'00·10 ⁻⁴	0'00·10 ⁻⁴	0'00·10 ⁻⁴
24	Qc	1'35·10 ⁻⁴	1'33·10 ⁻⁴	1'32·10 ⁻⁴	1'33·10 ⁻⁴	0'01·10 ⁻⁴
	SH1	0'03·10 ⁻⁴	0'00·10 ⁻⁴	0'03·10 ⁻⁴	0'02·10 ⁻⁴	0'02·10 ⁻⁴
	Qc+SH1	1'41·10 ⁻⁴	1'35·10 ⁻⁴	1'35·10 ⁻⁴	1'37·10 ⁻⁴	0'04·10 ⁻⁴
	SH2	0'04·10 ⁻⁴	0'04·10 ⁻⁴	0'08·10 ⁻⁴	0'05·10 ⁻⁴	0'02·10 ⁻⁴
	Qc+SH2	1'411·10 ⁻⁴	1'399·10 ⁻⁴	1'399·10 ⁻⁴	1'403·10 ⁻⁴	0'007·10 ⁻⁴
	agua	0'00·10 ⁻⁴	0'00·10 ⁻⁴	0'00·10 ⁻⁴	0'00·10 ⁻⁴	0'00·10 ⁻⁴
48	Qc	1'243·10 ⁻⁴	1'256·10 ⁻⁴	1'256·10 ⁻⁴	1'251·10 ⁻⁴	0'007·10 ⁻⁴
	SH1	0'014·10 ⁻⁴	0'014·10 ⁻⁴	0'000·10 ⁻⁴	0'009·10 ⁻⁴	0'008·10 ⁻⁴
	Qc+SH1	1'31·10 ⁻⁴	1'33·10 ⁻⁴	1'29·10 ⁻⁴	1'31·10 ⁻⁴	0'02·10 ⁻⁴
	SH2	0'08·10 ⁻⁴	0'02·10 ⁻⁴	0'04·10 ⁻⁴	0'05·10 ⁻⁴	0'03·10 ⁻⁴
	Qc+SH2	1'27·10 ⁻⁴	1'30·10 ⁻⁴	1'23·10 ⁻⁴	1'27·10 ⁻⁴	0'04·10 ⁻⁴
	agua	0'00·10 ⁻⁴	0'00·10 ⁻⁴	0'00·10 ⁻⁴	0'00·10 ⁻⁴	0'00·10 ⁻⁴
96	Qc	1'18·10 ⁻⁴	1'19·10 ⁻⁴	1'20·10 ⁻⁴	1'19·10 ⁻⁴	0'01·10 ⁻⁴
	SH1	0'00·10 ⁻⁴	0'04·10 ⁻⁴	0'00·10 ⁻⁴	0'01·10 ⁻⁴	0'02·10 ⁻⁴
	Qc+SH1	1'179·10 ⁻⁴	1'191·10 ⁻⁴	1'191·10 ⁻⁴	1'187·10 ⁻⁴	0'007·10 ⁻⁴
	SH2	0'04·10 ⁻⁴	0'02·10 ⁻⁴	0'06·10 ⁻⁴	0'04·10 ⁻⁴	0'02·10 ⁻⁴
	Qc+SH2	1'19·10 ⁻⁴	1'18·10 ⁻⁴	1'16·10 ⁻⁴	1'18·10 ⁻⁴	0'02·10 ⁻⁴
	agua	0'00·10 ⁻⁴	0'00·10 ⁻⁴	0'00·10 ⁻⁴	0'00·10 ⁻⁴	0'01·10 ⁻⁴
168	Qc	1'13·10 ⁻⁴	1'13·10 ⁻⁴	1'17·10 ⁻⁴	1'14·10 ⁻⁴	0'02·10 ⁻⁴
	SH1	0'000·10 ⁻⁴	0'000·10 ⁻⁴	0'000·10 ⁻⁴	0'000·10 ⁻⁴	0'001·10 ⁻⁴
	Qc+SH1	1'114·10 ⁻⁴	1'127·10 ⁻⁴	1'127·10 ⁻⁴	1'123·10 ⁻⁴	0'007·10 ⁻⁴
	SH2	0'04·10 ⁻⁴	0'02·10 ⁻⁴	0'06·10 ⁻⁴	0'04·10 ⁻⁴	0'02·10 ⁻⁴
	Qc+SH2	1'16·10 ⁻⁴	1'12·10 ⁻⁴	1'15·10 ⁻⁴	1'14·10 ⁻⁴	0'02·10 ⁻⁴
	agua	0'00·10 ⁻⁴	0'00·10 ⁻⁴	0'00·10 ⁻⁴	0'00·10 ⁻⁴	0'01·10 ⁻⁴
360	Qc	1'14·10 ⁻⁴	1'08·10 ⁻⁴	1'09·10 ⁻⁴	1'10·10 ⁻⁴	0'03·10 ⁻⁴
	SH1	0'000·10 ⁻⁴	0'000·10 ⁻⁴	0'000·10 ⁻⁴	0'000·10 ⁻⁴	0'007·10 ⁻⁴
	Qc+SH1	1'11·10 ⁻⁴	1'13·10 ⁻⁴	1'06·10 ⁻⁴	1'10·10 ⁻⁴	0'03·10 ⁻⁴
	SH2	0'02·10 ⁻⁴	0'04·10 ⁻⁴	0'02·10 ⁻⁴	0'03·10 ⁻⁴	0'01·10 ⁻⁴
	Qc+SH2	1'12·10 ⁻⁴	1'15·10 ⁻⁴	1'07·10 ⁻⁴	1'11·10 ⁻⁴	0'04·10 ⁻⁴
	agua	0'00·10 ⁻⁴	0'00·10 ⁻⁴	0'00·10 ⁻⁴	0'00·10 ⁻⁴	0'01·10 ⁻⁴